

АКАДЕМИЯ
НАУК СССР
♦
УРАЛЬСКИЙ
НАУЧНЫЙ
ЦЕНТР

МЕТАСОМАТИЧЕСКИЕ
ЖЕЛЕЗИСТЫЕ
КВАРЦИТЫ



АКАДЕМИЯ НАУК СССР
УРАЛЬСКИЙ НАУЧНЫЙ ЦЕНТР

Вып. 142

ТРУДЫ ИНСТИТУТА ГЕОЛОГИИ И ГЕОХИМИИ

1979

МЕТАСОМАТИЧЕСКИЕ
ЖЕЛЕЗИСТЫЕ
КВАРЦИТЫ

СВЕРДЛОВСК

УДК 553.31:553.22

Метасоматические железистые кварциты. Сб. статей.
Свердловск, 1979 (УНЦ АН СССР).

В сборнике на примере Урала и других регионов рассматриваются вопросы геологии и генезиса месторождений метасоматических железистых кварцитов, развитых в высоко- и низкометаморфизованных комплексах пород. Показано, что месторождения такого типа формируются при железисто-кремнистом метасоматозе и пространственно часто связаны с пироксенитами и другими породами фемического профиля. Приводятся примеры метасоматической зональности. Рассматривается соотношение метасоматических железистых кварцитов с процессами гранитизации.

Сборник предназначен для специалистов в области метаморфогенного рудогенеза и металлогении.

Ответственные редакторы
Ю. Д. Панков, В. М. Нечеухин

© УНЦ АН СССР, 1979.

M 20803-931
055(02)7 29-1979.

ПРЕДИСЛОВИЕ

Долгое время считалось общепризнанным, что железистые кварциты, являющиеся главным промышленным типом железорудных месторождений, в зависимости от приуроченности их к осадочным или вулканогенно-осадочным комплексам имеют соответственно осадочную или вулканогенно-осадочную природу. Между тем в последние годы при детальном изучении контактовых взаимоотношений железистых кварцитов с вмещающими породами, а также при изучении истории минералообразования на месторождениях во многих районах СССР и за рубежом установлено существование принципиально нового — метасоматического — типа месторождений железистых кварцитов. Особенностью этого типа является замещение вмещающих пород железистыми кварцитами и участие последних в формировании метасоматической зональности.

Выделение класса месторождений метасоматических железистых кварцитов, формирование которых обусловлено не конседиментационными, а более поздними разрывными структурами, имеет не только важное научное, но и большое практическое значение, так как помогает рационально направлять поисково-разведочные работы в районах развития оруденения такого типа. В то же время само выделение метасоматических железистых кварцитов выдвигает дополнительное требование к изучению осадочных и вулканогенно-осадочных месторождений рассматриваемых полезных ископаемых. Оба указанных генетических типа могут быть достоверно выделены лишь при условии изученности контактов железистых кварцитов и при отсутствии при этом явлений замещения ими вмещающих пород.

В предлагаемом сборнике приведены новые данные, доказывающие метасоматическую природу различных месторождений и рудопроявлений железистых кварцитов, развитых как в высоко-, так и низкометаморфизованных комплексах эвгеосинклинальных образований разного возраста. Ранее все эти месторождения считались осадочными или вулканогенно-осадочными. Авторы надеются, что материалы сборника будут способствовать более глубокому и правильному пониманию механизмов формирования и генезиса месторождений железистых кварцитов.



П 97027

В. М. НЕЧЕУХИН, Ю. Д. ПАНКОВ

ФОРМАЦИИ МЕТАСОМАТИЧЕСКИХ ЖЕЛЕЗИСТЫХ КВАРЦИТОВ

Термин железистый кварцит, ранее широко применявшийся для выделения осадочных образований, в настоящее время не имеет генетического значения. Под ним объединяются существенно кремнистые (чаще всего кварцевые) породы и руды разного генезиса, обогащенные окислами железа — магнетитом и гематитом. Различными авторами минерало-петрографические разновидности железистых кварцитов выделяются как магнетитовые и гематитовые кварциты, джеспилиты, итабириты, такониты, роговики, железистые роговики. Особенностью всех этих образований является их древний, преимущественно докембрийский возраст и слабое развитие в фанерозое.

Железистые кварциты и их громадные запасы играют все большую роль в общем балансе добываемых железных руд как в СССР, так и за рубежом, что требует не только всестороннего изучения геологии месторождений, но и их генезиса, без чего невозможно рациональное направление поисково-разведочных работ.

К сожалению, железистые кварциты и вмещающие их породы очень часто подвергнуты интенсивным многоэтапным метаморфическим изменениям и гранитизации, что сильно затрудняет изучение природы этих пород и является причиной существования различных точек зрения на генезис одних и тех же месторождений.

Для лучшего понимания природы различных генетических типов месторождений железистых кварцитов необходимо прежде всего обратиться к неметаморфизованным или слабо метаморфизованным месторождениям, при метаморфизме которых могли бы образоваться высокометаморфизованные месторождения железистых кварцитов. Среди таких месторождений уже давно выделяются вулканогенно-осадочная (Winchell, 1893) и осадочная (Grout, 1919) группы. В осадочной группе установлены терригенно-хемогенные и терригенные месторождения. Примером первых может быть крупное субплатформенное месторождение Морро до Урукум в Бразилии (Шатский, 1954). Примером вторых —rudопроявления в миогеосинклинальных рифейских (айская и зильмердакская свиты) и платформенных (Сигов, 1969) палеогеновых (чаграйская свита) отложениях Урала.

Характерная особенность осадочных железисто-кремнистых месторождений — их приуроченность к миогеосинклинальным или платформенным отложениям разного возраста и как следствие этого — почти полное отсутствие проявлений метаморфизма. Поэтому установление генезиса таких месторождений не представляет особого труда. Руды этих месторождений, строго говоря, нельзя относить к железистым

кварцитам. Подобные платформенные и миогеосинклинальные месторождения не могут быть эталонами для сравнения с месторождениями железистых кварцитов эвгеосинклиналей по принципу актуализма.

В группе вулканогенно-осадочных месторождений также устанавливается два типа. Для первого характерна тесная связь железистых кварцитов с основными вулканитами океанической стадии и малое количество осадочных пород в разрезе. К этому типу месторождений, известному как киватинский (Марков, 1959), относятся крупнейшие месторождения фундамента Канадского щита (Гудвин, 1972; Формозова, 1973), некоторые месторождения Кривого Рога (Белевцев, 1969), Карсакпайского синклинория Казахстана (Половинкин, 1952; Марков, 1959), многие месторождения Сибири и Дальнего Востока (Дымкин, Сараев, 1974).

Для второго типа вулканогенно-осадочных месторождений, имеющих подчиненное развитие, характерна связь железных руд с кислыми вулканитами. Интересно отметить, что этот тип месторождений встречается не только в докембрии (Швеция, Канада), но и в палеозое. К ним, в частности, относятся девонские месторождения Алтая (Калугин, 1969), где они связаны с отложениями переходной стадии развития палеозойской эвгеосинклиналии.

Говоря о генезисе вулканогенно-осадочных месторождений, следует отметить различный механизм формирования кремнистой и железистой составляющих руд. Первая, как это установлено исследованиями Н. М. Страхова (1966), имеет биогенную природу, вторая, по-видимому, — хемогенную. Биогенное происхождение кремнистой составляющей установлено в современных кремнисто-железистых осадках вулканической кальдеры Эгейского моря (Бутузова, 1968). Работами Н. М. Страхова (1966) показана также невозможность хемогенной садки кремнезема, а следовательно, и существования хемогенных вулканогенно-осадочных месторождений, выделяемых многими исследователями.

Кроме указанных групп железисто-кремнистых образований, давно выделялись (Танатар, 1940), а в последнее время достоверно установлены метасоматические месторождения железистых кварцитов, причем объем информации, подтверждающий широкое распространение кварцитов этого типа, быстро растет. Они установлены в Кривом Роге (Князев и др., 1969; Головенок, 1975), Приазовье (Скляр, 1974), КМА (Гусельников, 1972), на Кольском полуострове (Козлов, 1969; Жданов, Малкова, 1974), во всех структурно-формационных зонах Урала (Белковский, Локтина, 1977; Панков, 1977; Панков и др., 1974; Михайлов, 1977; Болтыров, 1977), на Алдане (Шахов, 1969), в Омоловском массиве Дальнего Востока (Фадеев, 1977) и в других местах. Аналогичные месторождения установлены и за рубежом (Кондаков, Перунов, 1973).

Метасоматическая природа рассматриваемых железистых кварцитов доказывается приуроченностью их к протяженным секущим зонам, выделяемым при картировании, замещением ими пород различного состава (ультрабазитов, габброидов, двупироксеновых кристаллических сланцев, плагио- и гранито-гнейсов и кали-натриевых гранитондов). Наиболее веское доказательство метасоматического происхождения железистых кварцитов — наличие около них метасоматической зональности (Жданов, Малкова, 1974; Панков, 1977; Ройзенман и др., 1977; и др.). Контакты между зонами характеризуются реак-

ционными взаимоотношениями, свидетельствующими о разрастании внутренних зон за счет внешних.

Имеющиеся к настоящему времени данные указывают на значительное разнообразие месторождений метасоматических железистых кварцитов в отношении их возраста, состава метасоматитов, времени формирования внутри тектономагматического цикла, возрастных взаимоотношений с натриевой и более поздней кали-натриевой гранитизациями, степени метаморфизма вмещающих толщ, по которым эти кварциты развиваются. Все это создает определенные трудности, неизбежные на ранних стадиях изучения таких образований, и приводит к появлению различных мнений об истории формирования метасоматических железистых кварцитов.

Наиболее просты по истории формирования и строению линейные зональные тела метасоматитов, несогласно секущие полосчатость и кристаллизационную сланцеватость слабо метаморфизованных (до фации эпидотовых амфиболитов), не гранитизированных эвгесинклинальных отложений (Ройзенман и др., 1977; Фадеев, 1977; Болтыров, 1977). В таких телах от периферии к центру выделяются обычно следующие последовательно накладывающиеся друг на друга зоны: 1) зона базификации, обогащенная темноцветными минералами, чаще всего роговой обманкой; 2) зона нормальной кали-натриевой гранитизации; 3) зона железистых кварцитов.

Нетрудно видеть, что указанная зональность является результатом единого процесса кали-натриевой гранитизации, а образование самих железистых кварцитов связано с заключительной стадией этого процесса — стадией кислотного выщелачивания (Ройзенман и др., 1977). В качестве генотипа таких месторождений могут быть прияты месторождения Вороньих тундр (Ройзенман и др., 1977), где метасоматическая зональность проявлена наиболее полно.

Аналогичная картина наблюдается в некоторых мигматитовых комплексах амфиболитовой и гранулитовой фаций метаморфизма, где железистые кварциты в виде протяженных линейных зон секут (Козлов, 1969) гранитные мигматиты.

Третий, наиболее сложный тип метасоматических месторождений железистых кварцитов, также приуроченный к мигматитовым комплексам, связан, по-видимому, не с гранитным, а с плагиогранитным этапом мигматизации и плагиогранитизации в таких комплексах. Это устанавливается, с одной стороны, по замещению плагиогнейсов и плагиомигматитов железистыми кварцитами (см. статьи М. Н. Дэви, Ю. Д. Панкова и др. в настоящем сборнике), а с другой — по наложению на эти кварциты кали-натриевой гранитизации и мигматизации с образованием мигматитов и гранито-гнейсов (Вертушкин, 1960; Панков и др., 1974). При этом процессе происходит разубоживание и уничтожение части рудных тел.

В тараташском мигматитовом комплексе Урала, железистые кварциты которого могут служить генотипом месторождений, рудные тела представлены линзами магнетитовых кварцитов, ассоциирующих с ортопироксенитами. И те и другие локализуются вдоль серии линейных зон. При этом кварциты определенно развиваются по пироксенитам и реже — по другим вмещающим породам. Около кварцитов часто наблюдается метасоматическая зональность. От центра к периферии выделяются следующие зоны: магнетитовые кварциты, магнетитовые железистые ортопироксениты, железистые ортопироксениты без маг-

нетита и магнезиальные ортопироксениты. Установлено замещение внешних зон внутренними.

Эта зональность подчеркивается распределением золота и серебра, содержание которых увеличивается к центру метасоматической колонки, а также зональным же распределением кобальта, никеля, хрома, концентрации которых увеличиваются к периферии колонки и в магнезиальных ортопироксенитах достигают содержаний, близких к содержанию этих элементов в альпинотипных гипербазитах. Все сказанное дает основание предположить аналогичную природу тараташских ортопироксенитов. Они, по всей вероятности, внедрились вдоль тех же самых тектонических зон, которые впоследствии контролировали железисто-кремнистый метасоматоз. Такая же природа ультраосновных пород и для некоторых других районов развития железистых кварцитов (Князев, и др., 1969; Кондаков, Перунов, 1973).

В локализации железистых кварцитов тараташского типа ультраосновные породы играли, по-видимому, важную роль, заключающуюся в нейтрализующем влиянии их основной среды на кремниевые растворы. Этим объясняется, вероятно, постоянная приуроченность железистых кварцитов к ультрабазитам.

Метасоматические железистые кварциты тараташского типа развиты, по-видимому, в Приазовье (Скляр, 1974), в Уфалейском комплексе Урала (Белковский, Локтина, 1977), на Алданском щите (см. статью М. Н. Дэви в настоящем сборнике).

Общим для всех трех рассмотренных типов месторождений метасоматических железистых кварцитов является тесная связь их с процессами натриевой и кали-натриевой гранитизации и замещение соответствующими продуктами этих гранитизаций железо-кремниевыми метасоматитами. Все это дает основание говорить, что при образовании рассмотренных типов железистых кварцитов мы имеем дело с процессом кислотного выщелачивания оснований (Кориковский, 1963), характерного для мигматитовых и других метаморфических комплексов и приводящего к образованию безрудных кварцитов. Часто такие кварциты обогащены золотом и серебром. Специфика этого процесса при образовании железистых кварцитов в том, что, кроме золота и серебра, кремниевые растворы способны переносить большие массы железа и отлагать его в виде магнетита и гематита. Поставщик железа здесь, по-видимому, вмещающие породы, среди которых широко развиты богатые этим элементом базитовые разности. Вероятно, такую же природу имеют золото и серебро.

Кроме перечисленных типов метасоматических железистых кварцитов, которые можно связать с кислотным выщелачиванием при гранитизации, в настоящее время выделяется еще два типа метасоматических железистых кварцитов. Один из них, установленный В. В. Ждановым и Т. П. Малковой (1974) на севере Кольского полуострова, связан с линейными зонами протяженностью до 180 км, секущими по отношению к гнейсам и другим кристаллическим сланцам. Внутри зон наиболее ранние образования — клинопироксениты, которые затем замещаются железистыми кварцитами; позже те и другие подвергаются гранитной пегматитизации. Клинопироксениты и железистые кварциты авторы рассматривают как базификаты, комплементарные с процессом гранитизации.

Принципиально другой тип метасоматических железистых кварцитов выделен В. Н. Гусельниковым (1972) на месторождениях КМА и

связывается им с постмагматическими процессами в базитовых вулкано-плутонических комплексах.

Говоря о механизме формирования метасоматических железистых кварцитов, необходимо подробнее рассмотреть и тектонический аспект проблемы. Как уже отмечалось, многие месторождения этого типа локализованы вдоль зон разломов. Наблюдения над текстурами и структурами руд вмещающих пород однозначно свидетельствуют о том, что формировались месторождения в условиях интенсивного стресса, приводящего к образованию кливажа раскола, согласного с границами тектонических зон. Именно этот процесс контролировал минералообразование на всех стадиях становления месторождений и обусловил возникновение в рудах кристаллизационной сланцеватости и полосчатых текстур, которые так часто априорно приводятся в качестве доказательств осадочной природы железистых кварцитов. Между тем в приконтактовых частях кварцитов, уцелевших от воздействия пострудных метаморфических процессов, хорошо видно, как кварц и магнетит (вместе и порознь) выполняют субпараллельные трещины кливажа раскола, рассекающие различно ориентированные крупные зерна минералов вмещающих пород. Впоследствии при диафторезе, также осуществляющемся обычно в условиях стресса, часто происходит дезинтеграция и перекристаллизация как рудных, так и нерудных минералов и уничтожение ранних текстур и структур, раскрывающих генезис руд.

В этом отношении у метасоматических железистых кварцитов очень много общего с вмещающими их кристаллическими сланцами, также имеющими тектоно-метасоматическую природу. Именно стресс является тем фактором, который и в кристаллических сланцах, и в метасоматических железистых кварцитах приводит к образованию псевдо-слоистых текстур, сильно затрудняющих изучение их генезиса и часто направляющих это изучение по ложному пути.

Из сказанного можно сделать вывод, что изучение природы метасоматических железистых кварцитов невозможно без изучения взаимоотношений их с вмещающими породами и выяснения истории формирования минеральных парагенезисов как в самих кварцитах, так и во вмещающих метаморфитах. Более того, в настоящее время в связи с установлением метасоматических железистых кварцитов генезис многих вулканогенно-осадочных и особенно «осадочных» месторождений железистых кварцитов в областях развития метаморфических пород, несмотря на обширную литературу по этим месторождениям, не может считаться обоснованным. Выделены эти месторождения часто лишь по внешним поверхностным признакам (тонкая полосчатость руд, их тонкозернистость, выдержанность по простираннию и падению, химический состав вмещающих пород и т. п.), не отражающим глубинных природных связей. В то же время для неметасоматических железистых кварцитов даже таких крупнейших месторождений, как Кривой Рог и КМА, нет детальных описаний взаимоотношений руд с вмещающими породами.

Совершенно ясно, что для обоснования генезиса неметасоматических железистых кварцитов, так же, как и для метасоматических, обязательно изучение контактов руд и вмещающих пород «на реакционность». Вероятно, что некоторые вулканогенно-осадочные и «осадочные» месторождения железистых кварцитов при дальнейшем их изучении окажутся метасоматическими. В пользу этого, в частности,

говорят геолого-геохимическое тождество многих таких месторождений с достоверно установленными метасоматическими месторождениями (ассоциация железистых кварцитов с ультрабазитами, обилие в рудах ксенокристаллов пироксена и других железо-магнезиальных силикатов, обогащенность руд золотом и серебром — типоморфными элементами гидротермально-метасоматических кварцевых месторождений).

Следствием неправильного методического подхода к изучению железистых кварцитов оказывается широко распространенное, но не обоснованное мнение, что большими запасами обладают только «осадочные» и вулканогенно-осадочные месторождения. Доказательством ошибочности такой точки зрения могут служить метасоматические месторождения Кольского полуострова.

Таким образом, в эвгесинклинальных зонах, в том числе подвергшихся высокотемпературному метаморфизму и гранитизации, обоснованно выделяются лишь вулканогенно-осадочная и метасоматическая группы месторождений железистых кварцитов. Однако для уверенной диагностики их природы нужна разработка геологических, минералого-петрографических и geoхимических критериев на достоверно выделенных и хорошо изученных месторождениях различных генетических типов, которые можно принять за генотипы. В настоящее время такие критерии разработаны недостаточно.

Имеющийся фактический материал позволяет говорить об определяющей, если не единственной, роли эндогенных факторов (магматических и метасоматических) в образовании месторождений железистых кварцитов различных генетических типов в эвгесинклиналях, где они закономерно возникают на различных стадиях тектоно-магматических циклов.

Максимальное развитие как вулканогенно-осадочных, так и метасоматических месторождений железистых кварцитов приурочено к докембрию, а внутри него — к протерозою. В более позднее время происходит резкое уменьшение масштабов месторождений и обеднение их железом, что, вероятно, связано с необратимостью эволюции земной коры. Так, в палеозое аналогами вулканогенно-осадочных месторождений киватинского типа, по-видимому, являются мощные толщи раннеэвгесинклинальных радиоляритов и фтанитов, часто обогащенных (до 2—5%) магнетитом. Дальнейшее изучение вулканических и метасоматических процессов и определение их роли в формировании железистых кварцитов, несомненно, выявит новые закономерности происхождения и размещения этих важных полезных ископаемых.

ЛИТЕРАТУРА

- Белевцев Я. Н. Современные проблемы эндогенного рудообразования. — Проблемы метаморфогенного рудообразования. Киев, «Наукова думка», 1969.
Белковский А. И., Локтина И. Н. Генетические типы железорудных месторождений Уфалейского эклогит-гнейсо-сланцевого комплекса. — Геология, тектонический режим и металлогения метаморфизма, ч. II. Свердловск, 1977.
Болтыров В. Б. Метаморфогенная минерализация палеозойской эвгесинклинали Урала. — Геология и металлогения метаморфических комплексов. Свердловск, 1977.
Бутузова Г. Ю. Современные осадки в кальдере острова Санторин и влияние вулканизма на их образование. — Геохимия осадочных пород и руд. М., «Наука», 1968.
Вертушков Г. Н. Гранитизация железистых кварцитов из восточной контактной зоны Уфалейского гранитного массива. — Магматизм и связь с ним полезных ископаемых. М., Госгеолтехиздат, 1960.

- Головенок В. К. Железистые кварциты раннего докембria и проблема их происхождения.—Металлогения докембria. Л., «Наука», 1975.
- Гудвил А. М. Вулканогенные железистые формации архея Канадского щита.—Геология и генезис докембрийских железокремнистых и марганцевых формаций мира. Киев, «Наукова думка», 1972.
- Гусельников В. А. Генетические проблемы железорудных формаций КМА. М., «Наука», 1972.
- Дымкин А. М., Сараев С. В. Железооруденение в породах гранулитовой фации метаморфизма.—Проблема метаморфогенного рудообразования. Киев, «Наукова думка», 1974.
- Жданов В. В., Малкова Т. П. Железорудные месторождения зон региональной базификации. Л., «Недра», 1974.
- Калугин А. С. Формация полосчатых вулканогенно-осадочных железных руд в девонских отложениях Алтая.—Проблемы образования железистых пород докембria. Киев, «Наукова думка», 1969.
- Князев Г. И., Решитко В. А., Федоровская Л. И. О генезисе железистых кварцитов.—Изв. АН СССР, сер. геол., 1969, № 12.
- Козлов М. Т. Метасоматические железистые кварциты Кольского полуострова.—Проблемы образования железистых пород докембria. Киев, «Наукова думка», 1969.
- Кондаков Л. А., Перунов В. И. К вопросу о генезисе железистых кварцитов Тайзании.—Изв. АН СССР, сер. геол., 1973, № 12.
- Кориковский С. П. Кварц-силиманитовая фация кислотного выщелачивания в гранито-гнейсовых комплексах.—Докл. АН СССР, 1963, т. 152, № 1.
- Марков М. С. Джеспилитовая формация вулканогенно-кремнистого ряда в Карсакпайском синклиниории.—Закономерности размещения полезных ископаемых, т. II. М., Изд-во АН СССР, 1959.
- Михайлов Д. А. Роль регионального метаморфизма в образовании железистых кварцитов Уфалейского и Тараташского комплексов.—Геология, тектонический режим и металлогенез метаморфизма. Тезисы докладов, ч. II. Свердловск, 1977.
- Панков Ю. Д. Метасоматические магнетитовые кварциты Тараташского комплекса на Южном Урале.—Геология, тектонический режим и металлогенез метаморфизма. Тезисы докладов, ч. II. Свердловск, 1977.
- Панков Ю. Д., Петров В. И., Гогулан А. М. О генезисе магнетитовых кварцитов Тараташского комплекса.—Магматизм, метаморфизм и оруденение в геологической истории Урала. Тезисы докладов, ч. II. Свердловск, 1974.
- Половинкина Ю. Ир. Основные и ультраосновные породы Карсакпай. М., Госгеолтехиздат, 1952.
- Ройзман Ф. М., Рождественская В. А., Андronов В. В. Формация региональных метасоматитов района Вороных туид (Кольский п-ов).—Геология, тектонический режим и металлогенез метаморфизма. Тезисы докладов, ч. II. Свердловск, 1977.
- Сигов А. П. Палеогеновая система.—Геология СССР, т. XII, ч. I. М., «Недра», 1969.
- Склляр П. В. О роли диафтореза и ультраметаморфизма в рудообразовании.—Проблема метаморфогенного рудообразования. Киев, «Наукова думка», 1974.
- Страхов Н. М. О некоторых вопросах геохимии кремнезема.—Геохимия кремнезема. М., «Наука», 1966.
- Танатар И. И. Петрографическая и геохимическая характеристика пород Кривого Рога в связи с вопросами их корреляции.—Уч. зап. Днепропетровского гос. ун-та, 1940, т. XVII, вып. 1.
- Фадеев А. П. О метасоматической природе железистых кварцитов Омоловского массива.—Геология, тектонический режим и металлогенез метаморфизма. Тезисы докладов, ч. II. Свердловск, 1977.
- Формозова Л. Н. Формационные типы железных руд докембria и их эволюция. М., «Наука», 1973.
- Шатский Н. С. О марганцевосодержащих формациях и о металлогении марганца.—Изв. АН СССР, сер. геол., 1954, № 4.
- Шахов Г. П. Магнетитовые руды хр. Кодар, их вещественный состав, генезис и структурное положение.—Изв. вузов, Геология и разведка, 1969, № 6.
- Groot F. F. Nature and origin of the Biwabik ironbearing formation of the Mesabi district Minnesota.—Econ. Geol., 1919, N 14.
- Winchell H. V. The Mesabi iron range.—Minnesota Geol. Surv. Annual Rept., 1893, 20.

Д. А. МИХАИЛОВ

О ПРОИСХОЖДЕНИИ ЖЕЛЕЗИСТЫХ КВАРЦИТОВ ДОКЕМБРИЯ

Проблема образования железистых кварцитов, характерных преимущественно для кристаллических толщ докембria, остается нерешенной, несмотря на широкое и, казалось бы, общепринятое представление об осадочно-метаморфической природе данной рудоносной формации. Об этом свидетельствует не только появление в последние годы работ, трактующих условия образования железистых кварцитов с различных генетических позиций (Князев и др., 1969; Жданов, Малкова, 1974; Гусельников, 1972; Петров и др., 1971), но и отсутствие убедительных объяснений как в отечественной, так и в зарубежной литературе некоторых главных особенностей геологии, состава и строения этих рудоносных пород. Важность правильного решения вопросов происхождения железистых кварцитов определяется не только локализацией в них главных мировых запасов железных руд, но и использованием железорудных толщ для различных моделей расшифровки стратиграфии, процессов литогенеза, эволюции земной коры, океанов и атмосферы.

Железистые кварциты обладают рядом особенностей, устойчиво повторяющихся во всех регионах распространения независимо от возраста толщ, в которых они залегают, и их фациальной принадлежности. Главные из этих особенностей выражаются в следующем. Повсеместно отмечается пространственная приуроченность железистых кварцитов к породам основного или ультраосновного состава. Железистые кварциты обладают полосчатостью, обусловленной послойной перемежаемостью кварцевых и магнетитовых (гематитовых) слойков; они обычно слагают тела линзовидной, пластообразной формы, согласно залегающие среди разнообразных по составу кристаллических сланцев и гнейсов. В телах железистых кварцитов часто располагаются участки массивных пород, сложенные теми же минералами, что и окружающие полосчатые разновидности. Морфология и размеры таких полостей, обычно обогащенных рудным минералом, разнообразны. Тела железистых кварцитов обладают зональным строением, выраженным в последовательной смене пород, различающихся особенностями минерального состава, а также частой приуроченностью к периферическим частям тел крупнокристаллических скарноподобных пород, резко отличающихся по минеральному составу и текстурам от железистых кварцитов.

По геолого-тектоническому положению железистые кварциты докембria можно подразделить на две группы. Одна из них характеризуется залеганием среди глубокометаморфизованных толщ раннего

докембрия, слагающих части щитов или блоки, окруженные более молодыми складчатыми системами, а другая приурочена к протерозийским межблоковым прогибам, сложенным обычно метаморфизованными вулканогенно-осадочными толщами, образующими зелено-каменные пояса или залегающими среди пород консолидированного фундамента в виде тектонических блоков.

Перечисленные особенности железистых кварцитов отмечаются почти всеми исследователями и используются для различных генетических выводов. Пластовая форма тел и их полосчатость служат доводом в пользу осадочной природы этих пород. Локализация железистых кварцитов вблизи гипербазитов является основанием для выводов о вулканогенной природе осадочного материала. Наличие скариоподобных пород, а также полостей массивных руд свидетельствует о проявлении метасоматических процессов в становлении тел железистых кварцитов.

Рассмотрим на основе полученного нами в ряде регионов докембрия фактического материала, как отмеченные особенности железистых кварцитов могут быть использованы для генетических выводов о природе этих пород.

Пространственная связь железистых кварцитов с породами основного состава нами отмечается также повсеместно. Следует обратить внимание на большое петрографическое и генетическое разнообразие пород: амфиболиты, пироксениты, дуниты, габбро, базальты. Если бы образование железистых кварцитов было связано непосредственно с формированием этих пород, будь то подводный вулканизм или интрузивная деятельность, то это был бы широко распространенный и универсальный процесс, приводящий всегда к появлению около тел гипербазитов железистых кварцитов. Но этого в природе нет. Образование железистых кварцитов, несмотря на значительные в ряде регионов по мощности и протяженности пачки, явление более эпизодическое по сравнению с толщами амфиболитов или телами пироксенитов, габбро и других, в которых чаще всего вообще нет проявлений железистых кварцитов. Следовательно, имели место дополнительные условия, независимые от процессов кристаллизации основных пород, но ведущие к образованию железистых кварцитов. Чтобы выявить эти условия, необходимо прежде всего определить временные соотношения процессов формирования железистых кварцитов не только с кристаллизацией основных или ультраосновных пород, с которыми они ассоциируют, но и с другими геологическими явлениями. Рассмотрим это на ряде примеров.

На Урале на всей площади распространения тараташского докембрийского комплекса известны месторождения и рудопроявления железистых кварцитов. Это Лысогорско-Куватальская, Шигирская, Ушат-Тахтинская и Радостная группы. Повсеместно железистые кварциты приурочены к телам пироксенитов и перидотитов, залегающих в виде различных по величине линзовидных тел в глубокометаморфизованных толщах, состоящих из двупироксеновых кристаллических сланцев, биотит-гранатовых, силлиманитовых, кордиеритовых гнейсов и кварцитогнейсов, в различной степени гранитизированных и мигматизированных. В истории геологического развития тараташского комплекса выделяется четыре этапа (Ленных, Петров, 1974). Первый, включающий региональный метаморфизм и ультраметаморфизм в условиях гранулитовой фации, протекал древнее 2200—2100 млн. лет. Во время



Рис. 1. Зональное строение тел железистых кварцитов, развитых в краевых частях рассланцованных гиперстенитов.

1 — гиперстениты, 2 — грубополосчатые, участками плойчатые окварцованные гиперстениты с магнетитом, 3 — тонкополосчатые магнетитовые кварциты с реликтами гиперстенитов и прожилками мономинерального магнетита, 4 — биотит-гранатовые метасоматиты с участками кварца, 5 — грубополосчатые сильно окварцованные гнейсы с вкрапленностью сульфидов, 6 — биотит-гранатовые гнейсы, 7 — граниты, 8 — прожилки магнетита, рудник Радостный.

второго этапа (2100—1700 млн. лет) метаморфические толщи претерпели повторные складчатые дислокации, интенсивный ультраметаморфизм и диафторез в условиях амфиболитовой фации. Третий этап (1100—1000 млн. лет) характеризуется жесткими дислокациями с развитием зон бластомилонитов в условиях эпидот-амфиболитовой фации, внедрением даек диабазов и формированием кварц-полевошпатовых жил. Четвертый этап (600—400 млн. лет) характеризуется образованием зеленосланцевых диафторитов в зонах надвигов по контактам тараташского комплекса.

Изучение взаимоотношений железистых кварцитов с телами пироксенитов показало, что последние, залегая в виде буднированных тел среди мигматизированных кристаллических сланцев и гнейсов, окружены зонами грубо- и тонкополосчатых магнетитовых кварцитов (рис. 1). Центральные части тел пироксенитов представлены крупнокристаллическими массивными гиперстенитами, лишенными магнетита. В краевых частях тел гиперстенитов появляется грубая полосчатость вследствие их рассланцевания и замещения гиперстена роговой обманкой. Характерная особенность грубополосчатых гиперстенитов — появление в них кварца, развивающегося на месте кристаллов гиперстена и амфиболя, что также подчеркивает полосчатость этих пород. Новообразование кварца сопровождается появлением каемок граната вокруг гиперстена. В участках окварцевания обычен магнетит. Грубополосчатые окварцованные гиперстены с магнетитом постепенно сменяются более тонкополосчатыми разновидностями, в которых количество гиперстена резко падает. Среди тонкополосчатых магнетитовых кварцитов с примесью гиперстена встречаются линзы грубополосчатых окварцованных гиперстенитов, обтекающих тонкорассланцованием массой кварцитов.



Рис. 2. Реликты деформированных прожилков гранита в железистом кварците.
1 — полосчатые гематитовые кварциты, метасоматически замещающие амфиболиты тонко-полосчатые и грубополосчатые; 2 — биотитовые сланцы; 3 — прожилки гранитов, сохранившиеся в гематитовых кварцитах в виде незамещенных реликтов, месторождение Маук.

В контактах магнетитовых кварцитов с мигматизированными кристаллическими сланцами и гнейсами располагается зона массивных крупнокристаллических биотит-гранатовых пород со своеобразной пятнистой текстурой, а также участки интенсивно окварцованных гнейсов со значительной вкрапленностью сульфидов. Характерно, что инъекции прожилков гранитов в гиперстенитах, образованные в стадию гранитизации и повторного метаморфизма амфиболитовой фации, сохраняются в магнетитовых кварцитах и в биотит-гранатовых скарново-подобных породах в виде реликтов, в контактах которых устанавливается резорбция полевых шпатов гранитов кварцем и магнетитом.

Такие взаимоотношения магнетитовых кварцитов с вмещающими породами свидетельствуют о том, что их образование вызывалось метасоматическим замещением гиперстенитов и во времени было связано с процессами их рассланцевания при повторных процессах регионального метаморфизма и ультраметаморфизма. Окварцеванию и оруднению подвергались только пироксениты, тогда как прожилки гранитов, пересекавшие пироксениты и их рассланцованные разновидности, сохранялись в массе новообразованного магнетитового кварцита, унаследовавшего полосчатость рассланцованных пироксенитов в виде незамещенных реликтов, создавая иллюзию пересечения кварцитов гранитами.

Подобные взаимоотношения гранитов с железистыми кварцитами устанавливаются и в уфалейском комплексе, где известен ряд небольших железорудных месторождений (Маукское, Теплогорское, Уфимское и др.). Здесь линзообразные тела магнетит-гематитовых кварцитов избирательно замещают прослон амфиболитов, залегающих среди лейкократовых мигматизированных биотитовых гнейсов и кристаллических сланцев. Для этого комплекса установлено два этапа регионального метаморфизма — ранний — в условиях гранулитовой фации — и более поздний, связанный с формированием палеозойского сланцевого обрамления вокруг консолидированных докембрийских блоков — в условиях амфиболитовой фации (Кейльман и др., 1970). Метасоматическая природа тел железистых кварцитов доказывается извилистыми контактами, пересекающими направления кристаллизационной сланцеватости вмещающих пород и полосчатость самих железистых кварцитов. Кроме того, в телах железистых кварцитов наблюдаются многочисленные реликты деформированных прожилков гранита, которые в контактах резорбированы кварцем и рудными минералами (рис. 2).

Метасоматическая природа железистых кварцитов была установлена нами и в других регионах докембра, в частности, в Восточном Саяне, где они известны на площадях развития шарыжалгайской серии архея и в протерозойских свитах (камчадальская и соснового байца),

залегающих в виде тектонических грабенов среди архейских пород. Для этой территории выделяются два главных этапа династрофизма: архейский и нижнепротерозойский (Никитина, Хильтова, 1971). В архее осадочные геосинклинальные толщи претерпели складчатость, региональный метаморфизм и ультраметаморфизм в условиях гранулитовой фации. В нижнепротерозойский этап формирование на архейском фундаменте осадочно-метаморфических толщ в условиях амфиболитовой фации привело к дифторическим преобразованиям пород субстрата, проявлению в них повторной складчатости и внедрению гранитоидов.

В шарыжалгайской серии железистые кварциты слагают ряд месторождений (Юбилейное, Дугуйский, Китайский Жидой, Шурунское и др.), объединяемых под названием Байкальская группа. Железистые кварциты здесь слагают линзовидные тела различной мощности, залегающие согласно в сложных складчатых структурах, образуемых двулироксеновыми и амфибол-пироксеновыми кристаллическими сланцами, биотит-амфиболовыми гранат-биотитовыми гнейсами с прослоями мраморов, кварцитов и пироксенитов. Для всех месторождений характерна пространственная приуроченность железистых кварцитов к пироксенитам, в которых обычно наблюдаются зоны рассланцевания с интенсивной амфиболизацией и окварцеванием. Зоны окварцевания внутри тел пироксенитов сложены грубополосчатыми магнетитовыми кварцитами с участками плойчатости, многочисленными включениями окварцованных линз пироксенитов, обтекающих полосчатостью кварцита, и мономинеральными гнездами магнетита. Более мощные тела магнетитовых кварцитов, залегающие обычно в краевых частях тел пироксенитов, обладают зональным строением. Их внешние части, примыкающие к гранитизированным гнейсам или кристаллическим сланцам, сложены массивными или грубополосчатыми пироксен-гранатовыми породами с линзовидными прослоями кварца. Это так называемые скарноиды, отмечающиеся в ассоциации с железистыми кварцитами во многих регионах докембра. Их крупнокристаллическая, участками массивная, текстура, зональность граната, реликты сильно окварцованных гнейсов и гранитов указывают на метасоматическую природу этих пород, которые через сильно окварцованные разновидности переходят в тонкополосчатые магнетитовые кварциты. С приближением к телам пироксенитов полосчатость магнетитовых кварцитов становится более грубой; в породе помимо кварца и магнетита появляются пироксен, амфибол, а также многочисленные линзы массивных пироксенитов, содержащих включения магнетита. Характерно, что среди полосчатых магнетитовых кварцитов повсеместно встречаются включения гранитов в виде линз, обтекающих полосчатостью, или в виде секущих прожилков, с нерезкими контактами вследствие резорбции кварцем и магнетитом массы гранита. Включения гранитов являются незамещенными реликтами ранних гранитоидов, разлинованных в период повторной складчатости, сопровождавшей наложенный метаморфизм амфиболитовой фации, и гранитоидов, образованных во второй период династрофизма.

В протерозойских толщах Восточного Саяна также отчетливо устанавливается генетическая связь железистых кварцитов с вторичными преобразованиями пород основного состава. На месторождении Сосновый байц пачки магнетит-гематитовых кварцитов различной мощности переслаиваются с амфиболитами, амфибол-биотит-гранатовыми кристал-

Рис. 3. Замещение железистыми кварцитами габбро.



части месторождения в обнажениях по р. Оюту среди кристаллических сланцев залегает массивное габбро, которое через зоны рассланцевания и амфиболизации постепенно переходит в пачки амфиболитов, переслаивающиеся с железистыми кварцитами. Внутри массива габбро располагаются многочисленные зоны рассланцевания мощностью от нескольких сантиметров до 2–3 м, сложенные тонкополосчатыми, нередко плойчатыми амфиболитами. Переход от массивного габбро к амфиболитам постепенный. И габбро и амфиболиты инъецированы жилами протерозойских гранитов. Центральные части зон рассланцевания в габбро сложены тонкополосчатыми гематитовыми кварцитами (рис. 3).

Зоны тонкополосчатых гематитовых кварцитов пересекают жилы гранитов, внедренные в габбро после его кристаллизации и амфиболизации. Внутри гематитовых кварцитов нередко располагаются линзы амфиболитов, обтекаемые полосчатостью кварцитов. Осевые части зон гематитовых кварцитов обычно обладают мелкой плойчатостью, затухающей к красным частям.

Из рассмотренных примеров геологического положения железистых кварцитов вытекают следующие выводы. Устанавливаясь повсеместно пространственная связь железистых кварцитов с породами основного состава носит генетический характер и объясняется метасоматическим замещением рассланцованных частей тел пироксенитов, габбро, амфиболитов магнетитовыми и гематитовыми кварцитами в регressiveную стадию повторного регионального метаморфизма. Полосчатость железистых кварцитов является отражением не процессов седimentации, а повторного рассланцевания основных пород, текстуры которых унаследованы железистыми кварцитами. Этот вывод согласуется с данными многих исследователей, изучавших железистые кварциты в других регионах. Так, для Омоловской железорудной провинции в архейских толщах М. Л. Гельманом и др. (1974) отмечается метасоматическое замещение железистыми кварцитами основных пород, происходившее после процессов ультраметаморфизма. В Северном Прибайкалье, по данным Ю. Г. Попова и др. (1976), залегание железистых кварцитов контролируется зонами тектонических нарушений, секущими складчатые структуры протерозойских толщ, а сами железистые кварциты метасоматически замещают зеленые и черные углистые сланцы. К выводу о метасоматическом происхождении железистых кварцитов Чарской глыбы пришел Г. П. Шахов (1969). Железистые кварциты Тараташского комплекса на Урале рассматриваются как метасоматические образования В. К. Ермаковым (1968) и Ю. Д. Панковым и др. (1974). На Колском полуострове М. Т. Козловым (1969) описаны железистые кварциты, развитые в зонах тектонических нарушений в архейских породах и образованные после процессов ультра-

метаморфизма; отмечаются также железистые кварциты, замещающие габбро-пориты. На месторождении имени проф. Баумана В. В. Ждановым и Т. В. Малковой (1974), а также В. К. Головенком (1975) отмечается резко секущее положение тел железистых кварцитов по отношению к метаморфическим породам оленегорской свиты. На месторождениях Кривого Рога Г. И. Князевым и др. (1969) показано замещение железистыми кварцитами пород основного состава, которые, наряду с зонами тектонических нарушений, контролируют размещение тел железистых кварцитов в стратиграфическом разрезе.

Эти факты и лежат в основе метасоматической гипотезы, которая была высказана в более ранних исследованиях для месторождений Кривого Рога И. И. Танатаром (1940) и для железистых кварцитов ряда районов Колского полуострова А. А. Полкановым (1935). Все это говорит о том, что идеи о метасоматическом образовании железистых кварцитов базируются на многих фактах, устойчиво повторяющихся во многих регионах, игнорировать которые невозможно при объективном подходе к этой проблеме. Однако до сих пор метасоматическая гипотеза не нашла широкого обсуждения в сводных работах, посвященных проблеме железистых кварцитов (Геология и генезис докембрийских железисто-кремнистых и марганцевых формаций мира, 1972; Докембрийские железорудные формации мира, 1975).

Большинство исследователей, следуя традиционной гипотезе об осадочном происхождении пород и руд, опираются, главным образом, на пластообразную форму тел железистых кварцитов и их полосчатость, полагая, что эти особенности не могут быть следствием других геологических процессов, в частности, вторичного рассланцевания и метасоматоза. Метасоматические же явления, которые в телах железистых кварцитов наиболее отчетливо выражены в образовании скариоподобных пород, без достаточных оснований обычно относят к более поздним процессам, не имеющим, по мнению исследователей, прямого отношения к формированию самих тел железистых кварцитов. Другие исследователи метасоматические железистые кварциты выделяют в особую группу, не имеющую якобы широкого распространения и противопоставляемую железистым кварцитам осадочного происхождения (Точилин, 1963). Помимо этих причин, установление фактов, лежащих в основе метасоматической гипотезы, о которых говорилось выше, с большей достоверностью можно получить на небольших и хорошо вскрытых месторождениях железистых кварцитов, где отчетливо выявляются все особенности их геологии. Большинство же исследований относится к крупным месторождениям, таким как Криворожские, КМА и другим, которые при плохой обнаженности и громадном объеме геологоразведочных работ требуют очень кропотливых исследований для выявления всех особенностей геологического положения, строения и состава тел железистых кварцитов. И, наконец, последняя причина заключается в том, что у исследователей, относящих железистые кварциты к метасоматическим образованиям, пока нет единого мнения о причинах метасоматоза, ведущего к появлению этой рудной формации, и его места в истории геологического развития толщ, в которых залегают железистые кварциты. Предположения о том, что метасоматоз вызван влиянием гранитов или является следствием фронта базификации, либо не подтверждаются геологическими фактами, либо не имеют петрологического обоснования. Другие исследователи вообще отрицают роль метасоматоза как главного фактора, ведущего к формирова-

1797027

Центральный научный
БИБЛИОТЕКА
Академии наук Кирг. ССР
О. Э.

нию тел железистых кварцитов. Между тем устанавливающийся отрыв во времени процессов формирования железистых кварцитов от процессов седиментации и выявляемые особенности взаимоотношений железистых кварцитов с породами основного состава, с которыми они ассоциируют, невозможно интерпретировать иначе, как проявление процессов метасоматоза в породах основного состава в более поздние периоды диастрофизма при их метаморфической и структурной переработке.

Рассмотрим, как метасоматическая гипотеза объясняет другие особенности, характерные для железистых кварцитов.

Выше было отмечено, что среди полосчатых железистых кварцитов, как правило, встречаются участки крупнокристаллических агрегатов магнетита (гематита) и кварца в виде изолированных полостей или жил. Благодаря резкому преобладанию рудного минерала над кварцем, такие участки оказываются вместе с тем наименее богатых руд, от масштабов развития которых во многом зависит перспективность того или иного месторождения или региона, где развиты железистые кварциты. Устанавливается прямая зависимость размеров полостей богатых железных руд от мощности тел железистых кварцитов, в которых они залегают, располагаясь преимущественно в центральных частях. Линзовидные полости или жилы часто имеют кососекущее положение внутри тел железистых кварцитов, но никогда не выходят за их пределы, т. е. имеют слепые окончания, не доходя до контактов железистых кварцитов с вмещающими породами. На продолжении таких линз или жил ни в кварцитах, ни во вмещающих породах не наблюдается каких-либо тектонических нарушений. Внутри полостей богатых руд, отличающихся массивной текстурой, и особенно в их краевых частях, обычно наблюдается реликтовая полосчатость, совпадающая с полосчатостью железистых кварцитов. Помимо приуроченности богатых железных руд к центральным частям тел железистых кварцитов выявляется влияние структурного контроля, т. е. развитие богатых руд чаще всего отмечается в участках сложной складчатости, межбудинных пространств, в зонах продольных и поперечных разрывов и др. Наиболее полная систематизация рудных полостей, контролирующихся различными структурными элементами в телах железистых кварцитов, дана Г. В. Тохтуевым (1972) для месторождений Кривого Рога.

Полости богатых руд в тела полосчатых железистых кварцитов принято считать метасоматическими образованиями (Белевцев, 1972; Брандт и др., 1972). Проявление метасоматических процессов Я. Н. Белевцев (1972) связывает с динамотермальным метаморфизмом, проявленным в толщах пород, содержащих прослои осадочных железистых кварцитов; по Р. Т. Брандту и др. (1972), они являются результатом влияния гипогенных растворов, отделявшихся от глубинных изверженных пород. При таких трактовках формирование полостей богатых руд во времени отделено от образования пластовых тел железистых кварцитов, поскольку последние этими исследователями рассматриваются как осадочные образования. По нашему мнению, нет никаких оснований для временного отрыва процессов образования полосчатых и богатых массивных руд не только потому, что по рассмотренным данным полосчатые руды также являются метасоматитами, но и потому, что особенности строения полостей богатых руд и их локализацию в определенных частях тел железистых кварцитов трудно объяснить влиянием более поздних процессов, при которых

гидротермальные растворы оказывались в изолированных друг от друга участках уже сформированных железистых кварцитов, претерпевших складчатость и региональный метаморфизм. Если бы богатые руды были следствием динамотермального метаморфизма осадочных железистых кварцитов, то для всех сложно дислоцированных прослоев независимо от их мощности были бы характерны полости богатых руд, приуроченные скорей всего к контактным частям пластов. Но этого не наблюдается. Появление полостей богатых руд характерно прежде всего для центральных частей тел железистых кварцитов значительной мощности.

Унаследованный характер полосчатости железистых кварцитов и наблюдающийся обычно постепенный переход тонкополосчатых разновидностей, состоящих только из кварца и магнетита (гематита), в грубополосчатые с примесью ряда алюмосиликатных минералов и даже в частично оруденелые породы основного состава, свидетельствует о том, что интенсивность метасоматических преобразований основных пород определялась степенью их рассланцевания. В сильно рассланцованных участках породы основного состава претерпели наиболее полное метасоматическое замещение вследствие равномерного проникновения растворов по всей массе породы. Образование мощных зон метасоматических железистых кварцитов приводило к проявлению в них контракционных трещин, вдоль которых происходила интенсивная перекристаллизация рудных минералов и кварца с образованием массивных мономинеральных масс этих минералов. Участки сложной складчатости, межбудинных пространств в зонах рассланцевания становились местами наибольшего нагнетания растворов, которые не только производили метасоматические преобразования основных пород, но и в заключительные стадии процесса — собирательную перекристаллизацию вокруг контракционных трещин в образующихся железистых кварцитах, формируя полости богатых руд. Увеличение содержания магнетита в таких полостях свидетельствует о том, что при собирательной перекристаллизации происходило растворение и вынос кремнезема. Именно этим и можно объяснить постепенные переходы богатых массивных крупнозернистых руд через участки с реликтовой полосчатостью в слоистые более мелкозернистые железистые кварциты. О единстве генезиса магнетита полосчатых и массивных руд свидетельствует также идентичность его химического состава, отвечающего магнетиту гидротермально-метасоматического происхождения, отличающегося от магнетита осадочно-метаморфического происхождения (Михайлов, Крылова, 1976).

Таким образом, процесс формирования богатых руд является заключительной стадией единого метасоматического процесса, приведшего к образованию полосчатых железистых кварцитов на месте рассланцованных пород основного состава.

Карбонатные породы, встречающиеся в краевых частях тел железистых кварцитов и состоящие из кальцита, доломита или сидерита, по аналогии с полосчатыми кварцитами также обычно рассматриваются как осадочные образования — так называемая карбонатная фация (James, 1954; Gross, 1972; Гудвиль, 1972; Плаксенко и др., 1972). Для прослоев карбонатных пород характерны постепенные переходы в железистые кварциты, обусловленные развитием среди карбонатов кварца и магнетита (гематита), послойное распределение которых придает породе полосчатость. Здесь важно подчеркнуть, что между кварцем и

Согласно же наблюдению каких-либо региональные взаимоотношения, между тем как ассоциации кварца с карбонатами минералами дают основание для выводов о типах и стадиях метаморфизма этих пород и ассоциирующимися с ними железистых кварцитов (Починок, 1963), которые противопоставлялись железистым кварцитам, залегающим среди глубокометаморфизованных толщ. Отсюда следовало утверждение о независимости образования железистых кварцитов от процессов регионального метаморфизма. При этом, однако, упускалось из виду одно важное обстоятельство, противоречившее такому выводу: кварц-магнетит-карбонатные ассоциации, развитые обычно в железистых кварцитах, залегающих в глубокометаморфизованных толщах, встречаются, хотя и реже, в железистых кварцитах, локализованных в породах гранулитовой и амфиболитовой фации и, следовательно, не должны были бы сохраняться после процессов регионального метаморфизма, если бы они были результатом седиментационно-метаморфических процессов. Появление таких карбонатсодержащих железистых кварцитов среди глубокометаморфизованных толщ можно объяснить только результатом более поздних метасоматических процессов, связанных с формированием железистых кварцитов в регressiveную стадию регионального метаморфизма. Это подтверждается и особенностями изотопного состава углерода карбонатных пород, ассоциирующихся с железистыми кварцитами, который резко отличается от углерода осадочных карбонатных пород (Перри, Тэн, 1972). Наличие карбонатных пород среди железистых кварцитов свидетельствует о том, что метасоматические преобразования пород основного состава, на месте которых возникали железистые кварциты, осуществлялись углекислыми растворами, вышелачивающими магний и кальций из основных пород в заключительные (и, следовательно, более низкотемпературные) стадии регионального метаморфизма.

Образование в краевых частях тел железистых кварцитов либо карбонатных пород, либо скариев, т. е. пород, обогащенных основаниями, вероятно, отражает температурный диапазон, при котором могли формироваться тела железистых кварцитов на регressiveной стадии дифференциальных преобразований пород основного состава в условиях амфиболитовой или эпидот-амфиболитовой фации. Выносимые из основных пород кальций и магний при более низких температурах отлагались в виде карбонатов, а при более высоких формировали зоны скариев, минеральный состав которых зависел от соотношений глиноzemа, кремнезема и шелочей в контактируемых породах.

По возрасту докембрийских толщ, в которых залегают железистые кварциты, устанавливают обычно два главных периода их образования: архейский и протерозойский. При этом, по мнению С. С. Голдича (Goldich, 1973), подавляющая масса железистых кварцитов была сформирована в интервал времени 1900—2500 млн. лет. Что касается железистых кварцитов, локализованных в архейских толщах и метаморфизованных в условиях гранулитовой фации, то, принимая во внимание их метасоматическую природу и устанавливающиеся возрастные соотношения с другими геологическими процессами, о чем говорилось выше, время образования нельзя считать совпадающим со временем формирования вмещающих толщ, что, в свою очередь, ставит под сомнение существование древних (более 2600 млн. лет) железистых кварцитов. Отсюда следует вывод, что железистые кварциты, локализованные в архейских толщах, были сформированы в протеро-

зойские эпохи повторного метаморфизма и дислокаций, проявленные в различной степени в древнем субстрате. Формирование железистых кварцитов докембрия нами представляется в следующем виде.

Породы основного и ультраосновного состава — пироксениты, перидотиты, габбро, дуниты, амфиболиты, залегающие в кристаллических толщах, на заключительных стадиях повторного регионального метаморфизма, носящего дифференциальный характер, под действием углекислых растворов испытывали метасоматическое преобразование, приводившее к выносу оснований и образованию на их месте метасоматических кварцитов. При этом процессе железо и другие металлы мобилизовывались из окружающих и замещающих пород, в которых они либо входили в состав силикатных минералов, либо встречались как рудные аксессории и откладывались в виде оксидов или сульфидов в телах метасоматитов, являющихся для них структурными и геохимическими «ловушками».

При метасоматическом процессе замещения гипербазитов кварцитами высвобождаемые основания либо реагировали с окружающими алюмосиликатными породами, частично связываясь в краевых частях тел кварцитов с образованием при благоприятных условиях скариевых зон, либо откладывались в виде карбонатов. Контролирующим фактором здесь, по-видимому, являлась температура, при которой происходил метасоматический процесс. Наличие в породах, подвергшихся повторному метаморфизму, серы приводило к кристаллизации в метасоматических кварцитах сульфидов, а при дефиците серы — оксидных соединений железа. Если количество серы в породах субстрата было невелико, сульфидные минералы кристаллизовались лишь в начальные этапы метасоматического процесса, входя в состав внешних зон, а затем происходила кристаллизация магнетита и (или) гематита. Вблизи пород, обогащенных мелкой вкрапленностью сульфидов (например, так называемых черных сланцев), в телах метасоматических кварцитов могли формироваться крупные залежи сульфидных руд. Пример этого — полиметаллические месторождения типа Оутокумпу и Ладожско-Ботническом рудном поясе свекофенид в Центральной Финляндии.

Формировавшиеся тела метасоматических железистых кварцитов испытывали метасоматическую контракцию (особенно в центральных частях мощных тел): в них возникали трещины и каверны, вокруг которых происходила интенсивная собирательная перекристаллизация с формированием участков, обогащенных рудным компонентом. Наиболее сильная перекристаллизация наблюдалась в телах железистых кварцитов, развитых в участках сложной складчатости и межбудинных пространств, под действием нагнетаемых метасоматизирующих растворов, производивших преобразование рассланцованных пород субстрата. Размеры полостей обогащенных руд находились в прямой зависимости от мощности формирующихся метасоматических зон. Масштабы метасоматического процесса, а следовательно, и размеры тел железистых кварцитов, а также степень их обогащенности рудным компонентом помимо характера проявления повторного метаморфизма (локальный или площадной) контролировались интенсивностью повторного рассланцевания пород, дававшей возможность циркуляции растворов, осуществлявших дифференциацию и затем приведших к проявлению метасоматоза в определенных по химическому составу породах.

В архейских кристаллических толщах, даже при площадном проявлении процессов повторного метаморфизма, сопровождавшие его склад-

чатые дислокации носили неоднородный характер. Наиболее интенсивно они проявлялись в пачках пород, резко различающихся по физическим свойствам. Поэтому участки кристаллических сланцев и гнейсов, где залегали тела массивных пироксенитов, перidotитов или габбро, подвергались наиболее интенсивным дислокациям с образованием локальных зон мелкой изоклинальной складчатости, плойчатости, структур будинаж, захватывавших и тела гипербазитов, которые и подвергались затем в этих зонах сначала рассланцеванию, а затем и метасоматическим преобразованиям. Сравнительно небольшие масштабы таких зон повторных интенсивных дислокаций, в которые вовлекались породы основного состава, и определяли маломощность возникавших на их месте тел железистых кварцитов. Поэтому архейские кристаллические толщи, несмотря на значительное количество участков, благоприятных для формирования тел железистых кварцитов в целом, являются в меньшей степени перспективными для обнаружения крупных железорудных провинций.

В протерозойских толщах, слагающих межблочные прогибы, в которых широкое развитие получили вулканогенно-интрузивные породы основного и ультраосновного состава, формировавшиеся в них зоны интенсивной складчатости охватывали значительные по мощности пачки пород, и вовлекавшиеся в эти дислокации гипербазиты чаще всего подвергались почти полной структурной и метаморфической переработке с образованием на их месте мощных и протяженных тел железистых кварцитов. Характер складчатости протерозойских вулканогенно-осадочных толщ, формировавших межблочные прогибы, определялся блоковой тектоникой того или иного докембрийского региона. Для крупнейших железорудных провинций, связанных с железистыми кварцитами, таких как Криворожская или КМА, характерно наличие среди протерозойских толщ консолидированных блоков архейского фундамента, зоны сочленения которого с протерозойскими складчатыми толщами в структурном отношении и были наиболее благоприятными участками для развития эндогенного рудообразования, связанного с процессами регионального метаморфизма.

Говоря о роли повторного метаморфизма в формировании железистых кварцитов докембра, необходимо отметить, что эта роль наиболее отчетливо выступает в архейских кристаллических толщах, испытавших в протерозое диафторез. Что касается протерозойских толщ, то в районах развития железистых кварцитов их региональный метаморфизм носил прогрессивный характер. Но для вулканогенно-интрузивных пород основного состава, внедренных в осадочные породы, подвергшиеся затем метаморфизму, этот метаморфизм также носил диафторический характер, что и привело к метасоматическим преобразованиям пород.

ЛИТЕРАТУРА

- Белевцев Я. Н. Генезис богатых железных руд криворожского типа.—Геология и генезис докембрийских железисто-кремнистых и марганцевых формаций мира. Киев, «Наукова думка», 1972.
Брандт Р. Т., Дорр П. Дж. В., Гросс Г. А., Грусс Г., Семененко Н. П. Проблемы номенклатуры полосчатых железисто-кремнистых осадочных пород и их метаморфических эквивалентов.—Геология и генезис докембрийских железисто-кремнистых и марганцевых формаций мира. Киев, «Наукова думка», 1972.

- Геология и генезис докембрийских железисто-кремнистых и марганцевых формаций мира. Киев, «Наукова думка», 1972.
Гельман М. Л., Титов В. А., Фадеев А. П. Омолонская железорудная провинция.—Докл. АН СССР, 1974, т. 218, № 2.
Головенок В. К. Железистые кварциты раннего докембра и проблема их происхождения.—Металлогенез докембра. Л., «Наука», 1975.
Гросс Г. А. Условия образования основных типов докембрийских железистых формаций.—Геология и генезис докембрийских железисто-кремнистых и марганцевых формаций мира. Киев, «Наукова думка», 1972.
Тудвин А. М. Вулканогенные железистые формации архея Канадского щита.—Геология и генезис докембрийских железисто-кремнистых и марганцевых формаций мира. Киев, «Наукова думка», 1972.
Гусельников В. А. Генетические проблемы железорудных формаций КМА. М., «Наука», 1972.
Докембрейские железорудные формации мира. М., «Мир», 1975.
Ермаков В. К. Метасоматические железистые кварциты Урала (месторождения тараташского типа).—Труды Тюменского индустриального ин-та, 1968, вып. 1.
Жданов В. В., Малкова Т. П. Железорудные месторождения зон региональной базификации. Л., «Недра», 1974.
Кейльман Г. А., Мельников Е. П., Мельникова И. И. О фациальных условиях метаморфизма пород уфалейского гнейсового комплекса.—Метаморфизм горных пород Урала. Труды Свердл. горн. ин-та, 1970.
Киязев Г. И., Решитко В. А., Федоровская Л. И. О генезисе железистых кварцитов.—Изв. АН СССР, сер. геол., 1969, № 12.
Козлов М. Т. Метасоматические железистые кварциты Кольского полуострова.—Проблемы образования железистых пород докембра. Киев, «Наукова думка», 1969.
Лениных В. И., Петров В. И. Гранулитовый метаморфизм и этапы диафтореза пород тараташского комплекса.—Тезисы докладов Третьего Уральского петр. совещ. Свердловск, 1974.
Михайлов Д. А., Крылов М. Д. Об особенностях состава магнетита некоторых железорудных месторождений докембра.—Геохимия, 1976, № 10.
Никитина Л. П., Хильтова В. Я. Эволюция процессов метаморфизма в докембре Восточно-Саянской складчатой области.—Метаморфические пояса СССР. Л., «Наука», 1971.
Панков Ю. Д., Петров В. И., Гогулан А. М. О генезисе магнетитовых кварцитов тараташского комплекса.—Тезисы докладов Третьего Уральского петр. совещ. Свердловск, 1974.
Петров Р. П., Леоненко В. Н., Морозов А. Н., Тарханов А. В. К статье Г. И. Киязева, В. А. Решитко, Л. И. Федоровской «О генезисе железистых кварцитов».—Изв. АН СССР, сер. геол., 1971, № 2.
Перри Ю. К., Тэн Ф. К. Вариации изотопного состава углерода в карбонатах железистой формации Бивабик.—Геология и генезис докембрийских железисто-кремнистых и марганцевых формаций мира. Киев, «Наукова думка», 1972.
Плаксенко Н. А., Коваль И. К., Щеголев И. Н. Железисто-кремнистые формации докембра Курской магнитной аномалии.—Геология и генезис докембрийских железисто-кремнистых и марганцевых формаций мира. Киев, «Наукова думка», 1972.
Полканов А. А. Геолого-петрологический очерк северо-западной части Кольского полуострова. М.—Л., Изд-во АН СССР, 1935.
Попов Ю. Г., Велогур В. Д., Дариханов А. Д. Роль метасоматических процессов в формировании железисто-кремнистой формации Северного Прибайкалья.—Метасоматизм и рудообразование. Л., «Недра», 1976.
Танатар И. И. Петрографическая и геохимическая характеристика пород Кривого Рога в связи с вопросом их корреляции.—Уч. зап. Днепропетровского гос. ун-та, 1940, т. XVII, вып. 1.
Точилин М. С. Происхождение железистых кварцитов. М., Госгеолтехиздат, 1963.
Тохтуев Г. В. Структурный контроль локализации богатых железных руд Кривого Рога.—Геология и генезис докембра железисто-кремнистых и марганцевых формаций мира. Киев, «Наукова думка», 1972.
Шахов Г. П. Магнетитовые руды хр. Кодар.—Изв. вузов, Геология и разведка, 1969, № 6.
Goldich S. S. Ades of Precambrian banded iron formations.—Econ. Geol., 1973, 68.
James H. L. Sedimentary facies of iron formations.—Econ. Geol., 1954, 48.

Г. А. ГЛУШКОВА, Г. А. КЕЙЛЬМАН

О ГЕНЕЗИСЕ ЖЕЛЕЗИСТЫХ КВАРЦИТОВ УРАЛА

Среди магнетит-гематит-кварцевых руд Урала по тектонической позиции, соотношению с окружающими геологическими образованиями и историю развития особое место занимают так называемые железистые кварциты гнейсово-мigmatитовых комплексов, отчетливо разделяющиеся на две группы. К первой относятся древнейшие образования кристаллического фундамента, слагающие срединный массив или глыбу, внутреннее строение которой не связано с окружающими структурами (тараташский комплекс в Башкирском поднятии). Вторая группа объединяет гнейсово-мigmatитовые комплексы Центрально-Уральского и Восточно-Уральского поднятий, субстратом которых, по-видимому, послужили также древние супракрустальные серии, но в отличие от тараташского комплекса претерпевшие в течение палеозоя тектонометаморфическую активизацию. К таким образованиям в Центрально-Уральском поднятии относятся уфалейский, хобеинский и харбейский гнейсово-мigmatитовые комплексы, а в Восточно-Уральском поднятии — салдинский, мурзинско-адуйский, сысерско-ильменогорский, адамовский, талдынский и др.

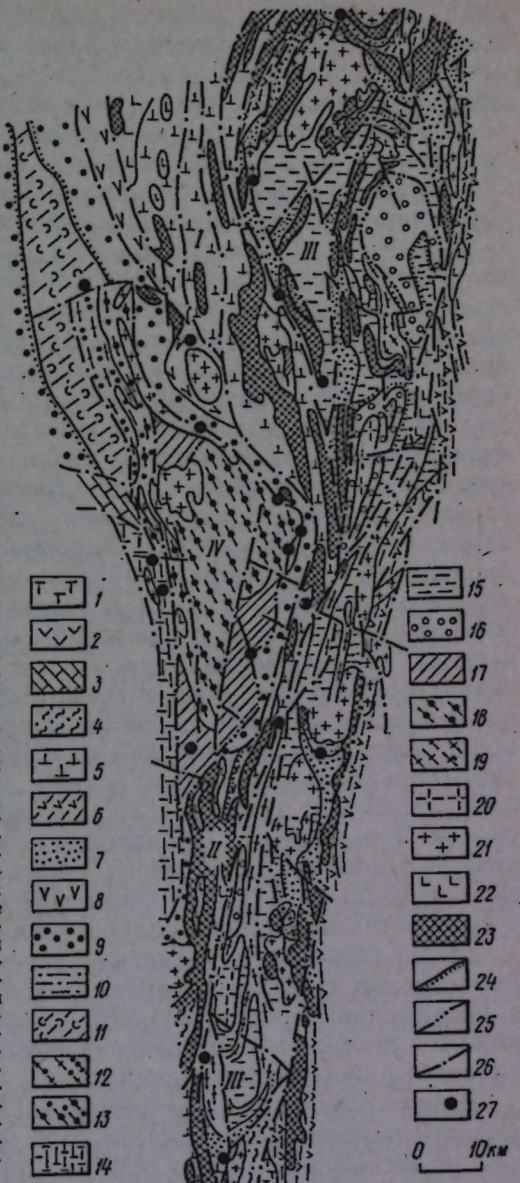
Установить закономерности размещения и особенно генезиса железистых кварцитов вследствие полициклического развития вмещающих их гнейсовых комплексов очень трудно. Приуроченность рудных тел к определенным частям стратиграфического разреза в тараташском комплексе, выдержанное стратиграфическое положение рудоносной толщи, участие рудных тел в складчатых структурах и их морфология, тонкая полосчатость рудоносных горизонтов, носящая характер ритмичной слоистости, состав руд, а также аналогия геологического строения с железорудными районами Украины и Кольского п-ва позволили большинству исследователей прийти к выводу о первичном осадочном (Гарань, 1946; Смирнов, Смирнова, 1948) или вулканогенно-осадочном происхождении железистых кварцитов этого комплекса (Лениных, Петров, 1974; Чеботарева, 1974; Черменинова и др., 1975). Вместе с тем некоторые исследователи (Панков и др., 1974; Михайлов, 1975) выдвигают концепции формирования железистых кварцитов в тараташском комплексе метасоматическим путем.

Генезис месторождений и проявлений железистых кварцитов в древних метаморфических образованиях второй группы целесообразно рассмотреть на примере наиболее детально изученных уфалейского и сысерско-ильменогорского гнейсово-мigmatитовых комплексов.

Геологическое строение этих комплексов приведено нами ранее (Кейльман, 1963, 1969, 1974; Глушкова, Кейльман, 1977), поэтому цель

Рис. 1. Схема размещения месторождений и проявлений железистых кварцитов в южной части Среднего Урала.

1 — порфиры базальтового состава, порфириоиды (D_3); 2 — андезито-дацитовые порфиры и их туфы, песчаники, кремнистые и глинистые сланцы, мраморизованные известняки (D_{2ef} — D_2); 3 — известняки и доломиты (D_{2zv}); кундравинская свита (D_2); 4 — конгломераты, песчаники, алевролиты, мраморизованные известняки; 5 — порфиры основного и среднего состава и их туфы, порфириоиды, зеленые сланцы, туфопесчаники, углистокремнистые, кремнистые и кварцитовидные сланцы, мраморизованные известняки (S_1 — S_{1y}); игишка и сысертская свиты нерасчлененные (O_3 — $S_1?$); 7 — графитовые микрокварциты с прослоями маложелезистых кварцитов, слюдяно-кварцевые сланцы, аповулканогенные амфиболиты, мраморы; выйская свита (O_3); 8 — альбит-актинолитовые, хлорит-альбитовые и серцин-альбит-кварцевые сланцы с прослоями углистых кварцитов; шунутская, куртинская и шайтанская свиты нерасчлененные (O_1 — O_2); 9 — кварцит-песчаники, гравелиты, конгломераты, гранат-слюдяно-кварциты, слюдисто-графит-кварцитовые сланцы и кварциты; заозерная свита (PR_1 — PR_2); 10 — микрогнейсы и микроамфиболиты с прослоями графитовых кварцитов; указарская свита (PR_3); 11 — альбит-актинолитовые, кварц-альбит-хлоритовые и серцин-альбит-кварцевые сланцы; 12 — гранато-гнейсы мусковит-альбитовые и мусковит-альбит-микроклиновые; 13 — амфиболовые сланцы, микроамфиболиты и микрогнейсы; таганайская свита (PR_4); 14 — мусковит-хлорит-кварцевые, гранат-кианит-ставролит-кварцевые сланцы и слюдистые кварциты; черновская серия (PR_5); 15 — амфиболиты, гнейсы, гранито-гнейсы; шумихинская серия (P); 16 — слюдистые гнейсы, мигматиты; уфалейская свита (P); 17 — амфиболиты и амфиболовые гнейсы с прослоями биотитовых гнейсов, слюдяно-кварцевых сланцев и кварцитов, гранито-гнейсы; 18 — амфиболиты, амфиболовые и биотитовые гнейсы, гранито-гнейсы, мигматиты; 19 — гранито-гнейсы и гнейсто-граниты; 20 — сениты и мигматиты; 21 — граниты, гранодиориты, диориты; 22 — габбро, апогабброрные амфиболиты; 23 — серпентиниты, тальк-карбонатные и антифиллитовые породы; 24 — стратиграфические несогласия; 25 — стратиграфические несогласия, осложненные разрывными нарушениями; 26 — разрывные нарушения; 27 — месторождения и проявления железистых кварцитов и кварц-магнетитовых руд. I — Тагильский мегасинклиниорий, II — Магнитогорский мегасинклиниорий, III — Сысерско-Ильменогорский мегасинклиниорий, IV — Уфалейский антиклиниорий.



данной статьи — охарактеризовать геологическую позицию месторождений и проявлений железистых кварцитов, встречающихся в пределах названных комплексов.

Все месторождения и проявления железных руд рассматриваемого типа располагаются как внутри гнейсовых ядер (рис. 1), слагающих нижний структурный этаж (месторождения Маукское, Теплогорское, Южная залежь, Северо-Маукское, Мало-Маукское, горы Захаровой и Анциферское в уфалейском комплексе, Северо-Агардышское, Мало-Агардышское и Обуховское — в сысерско-ильменогорском), так и в

сланцевых толщах верхнего структурного этажа, обрамляющих гнейсовые ядра (месторождения Барановские, Тахтинские, Аюшское, горы Лиственной в уфалейском комплексе, Шабровские, Польнинское, Увильдинское, Миасское, Игишское и Вязовское — в сысерско-ильменогорском). Железистые кварциты известны и в Тагильско-Магнитогорском прогибе, где они располагаются в зоне влияния плутонометаморфизма, обусловившего формирование гнейсовых комплексов (Сидоркинское, Западно-Иткульское месторождения и др.).

Железные руды в гнейсовых ядрах встречаются в различных частях разреза метаморфических толщ. Северо-Маукское проявление и Маукское месторождение в уфалейском комплексе приурочены к верхней части егустинской подсвиты, а Южная залежь и Мало-Маукское рудопроявление — к нижней части слюдяногогорской подсвиты, занимающей более высокое стратиграфическое положение в составе уфалейской свиты, относимой к дорифейским образованиям. Теплогорское и Уфимское месторождения находятся на различных стратиграфических уровнях в средней части разреза слюдяногогорской подсвиты. Еще больший возрастной диапазон характерен дляrudовмещающих пород сланцевого обрамления. Так, рудные тела Бароновских месторождений и Тахтинских проявлений в уфалейском гнейсовом комплексе залегают на различных стратиграфических уровнях в таганайской свите верхнего протерозоя, Аюшское — в породах указарской свиты, предположительно относимой к венду, а проявления горы Лиственной — в породах билимбаевской свиты верхнего ордовика. В сысерско-ильменогорском комплексе группа Шабровских месторождений и проявлений железистых кварцитов находится в породах верхней карбонатно-сланцевой толщи сысерской свиты предположительно ордовика, а Польнинское и Вязовское рудопроявления — в нижней толще этой же свиты; Увильдинское, Миасское и Игишское рудопроявления — в породах игишской свиты, лежащей в основании сланцевого обрамления сысерско-ильменогорского комплекса. В Тагильско-Магнитогорском прогибе рудные тела залегают в вулканогенных толщах силура — нижнего девона.

Таким образом, железистые кварциты в уфалейском, сысерско-ильменогорском гнейсовых комплексах и их сланцевых обрамлениях располагаются в породах, возраст которых варьирует от докембрия до нижнего девона, т. е. стратиграфический фактор здесь, по-видимому, не является рудоконтролирующим.

Вместе с тем подавляющее большинство месторождений и рудопроявлений независимо от состава руд, морфологических и других особенностей в гнейсовых ядрах и обрамляющих их толщах структурно приурочены к границе гнейсового ядра и сланцевого обрамления или к крупным разрывным нарушениям (Кейльман, Глушкина, 1974; Глушкина, 1976), с которыми связана интенсивная тектоническая и метасоматическая проработка горных пород. Так, Мало-Агардяшская рудоносная зона в сысерско-ильменогорском комплексе, включающая Северо-Агардяшское, Мало-Агардяшское и Обуховское проявление, находится в центральной, наиболее узкой части гнейсового ядра, вблизи границы с Магнитогорским мегантиклиниорием, от которого гнейсовое ядро отчленено крупным Мраморско-Миасским разрывным нарушением. К границе гнейсового ядра и сланцевого обрамления приурочены Маукские, Теплогорское, Анциферское и другие месторождения и рудопроявления в уфалейском гнейсовом комплексе, многие из которых залегают в периклинальных частях куполовидных антиклиналей, осложняю-

щих гнейсовое ядро. Аналогичную позицию занимает большинство месторождений и рудопроявлений сланцевого обрамления в сысерско-ильменогорском гнейсовом комплексе, которые залегают вблизи границы с гнейсовым ядром. К числу их относятся Шабровские месторождения, Увильдинское и Игишское рудопроявления. К разрывным нарушениям на участках с линейной складчатостью приурочены многие месторождения сланцевого обрамления в уфалейском комплексе (Тахтинское, Бароновские, Аюшское, горы Лиственной) и ряд месторождений сысерско-ильменогорского гнейсового комплекса (Вязовское, Сидоркинское, Западно-Иткульское).

Уровень метаморфизма пород, вмещающих тела железистых кварцитов в гнейсовых ядрах, претерпевших многоэтапный метаморфизм, интенсивную гранитизацию и мигматизацию, достигал субгранулитовой фации или высшей субфации амфиболитовой фации (Мало-Агардяшская группа рудопроявлений в сысерско-ильменогорском гнейсовом комплексе), а на участках проявления регressive метаморфизма — амфиболитовой и эпидот-амфиболитовой фации (Маукские, Теплогорское и Уфимское месторождения, Анциферское рудопроявление и другие в уфалейском комплексе). Уровень метаморфизма пород, вмещающих железные руды в сланцевом обрамлении, опускается до зелено-сланцевой фации (Шабровские месторождения в сысерско-ильменогорском гнейсово-мигматитовом комплексе, Аюшское и месторождение горы Лиственной — в уфалейском), а в приконтактовых частях с гнейсовым ядром, на участках проявления прогressive метаморфизма, соответствует преимущественно эпидот-амфиболитовой фации (Польнинское, Увильдинское и Игишское рудопроявления в сысерско-ильменогорском комплексе, Тахтинские и Бароновские — в уфалейском) и, реже, амфиболитовой фации (Вязовское рудопроявление в сысерско-ильменогорском комплексе). Метаморфизм вулканогенных пород Тагильско-Магнитогорского прогиба, вмещающих рудные тела Сидоркинского и Западно-Иткульского месторождений, не превышал уровня зелено-сланцевой фации.

Очевидно, залегание рудных тел в зонах метаморфизма широкого фациального диапазона (от зелено-сланцевой до субгранулитовой фации) указывает на то, что температурные условия не играли существенной роли при их формировании.

Как показывают наблюдения, железные руды уфалейского и сысерско-ильменогорского гнейсово-мигматитовых комплексов по составу, текстурно-структурным особенностям, условиям залегания и морфологии рудных тел являются разнотипными образованиями. Так, в сысерско-ильменогорском комплексе выделяются четыре группы месторождений, которые могут рассматриваться и как генетические типы: Мало-Агардяшский, Шабровский, Вязовский, Сидоркинский.

Мало-Агардяшские рудопроявления, относящиеся к первому типу, находятся в 2 км восточнее оз. Малый Агардяш, вблизи крупного разрывного нарушения северо-восточного простирация, которое фиксируется здесь мощной зоной милонитов. Рудные тела располагаются в зоне проявления интенсивного щелочного метасоматоза, связанного с формированием щелочных пород Ильменского комплекса в условиях интенсивных тектонических движений.

Железистые кварциты, представленные преимущественно массивными, иногда неяснополосчатыми средне-крупнозернистыми кварц-магнетитовыми породами, залегают в полосе фенитов, среди которых существ-

венная роль принадлежит амфиболовым и эгириновым разновидностям. С рудными телами обычно ассоциируют фенитизированные амфиболиты, по ним в ряде случаев развивается эгирин. В непосредственных контактах рудных тел наблюдаются магнетитсодержащие калишпат-эгириновые породы. Железистые кварциты также обычно включают то или иное количество эгирина (участками до 15—20 или 30—35%) и пертитового калиевого полевого шпата (до 10—30%). Эгирин замещается голубоватым амфиболом. В ходе этого процесса выделяется магнетит, который нередко цементирует сохранившиеся зерна эгирина. Кварц, судя по форме зерен, а также взаимоотношениям с зернами прочих минералов, вторичен, что хорошо устанавливается по коррозионным соотношениям кварца с одним из наиболее поздних минералов — щелочным амфиболовом, от которого порой остаются лишь «обрывки», при этом окварцовываются эгирин и участками даже апатит. Окварцеванию подвергаются не только магнетитовые руды, но и залегающие рядом интенсивно милонитизированные сиениты.

Приуроченность рудных тел к зонам щелочного метасоматоза, а внутри них — к зонам милонитизации, пространственная связь с амфиболитами, наложенный характер окварцевания, которое проявляется и в близлежащих сиенитах и фенитах, обилие реликтов вмещающих пород, наблюдаемое в ряде случаев замещение эгирина щелочным амфиболовом с выделением магнетита, субизометрическая форма рудных тел и преимущественно массивная текстура руд — все это указывает на метасоматическое происхождение оруденения, связанное с изменением режима щелочности-кислотности в ходе петрогенетической эволюции гнейсовомигматитового комплекса. Изменение геохимического режима можно определить благодаря связи калишпат-эгириновых пород с амфиболитами, которые обычно совмещены в пространстве, причем в шлифах наблюдается замещение амфибала эгирином. С другой стороны, калишпат-эгириновые породы ассоциируют с эгириновыми фенитами. Вне зон проявления щелочного метасоматоза кварц-магнетитовые руды в гнейсовом ядре не обнаружены.

Наиболее распространены в сланцевом обрамлении сысертско-ильменогорского комплекса месторождения и рудопроявления, типичным представителем которых служит Шабровская группа, включающая Северо-Шабровское месторождение, Шабровское и Южно-Шабровское рудопроявления. Они входят в состав Шабровской зоны, протяженность которой около 6 км, а ширина около 1,5 км. Зона расположена в северной переклинали Осиновского купола, ядро которого выполнено реоморфическими гранитоидами повышенной основности, а периферические части — нормальными биотитовыми или двуслюдянymi гранитами.

Породами, вмещающими тела железистых кварцитов, являются переслаивающиеся кварцево-слюдянные (кварцево-серийцитовые и кварцево-хлоритовые) филлитовидные, часто филонитизированные сланцы, слюдяно-кварцевые (серийцит-кварцевые и серийцит-хлорит-кварцевые) сланцы, слюдистые и графитистые кварциты и кварцитовые сланцы, включающие прослои маложелезистых кварцитов. Значительную роль в составе толщи играют аповулканогенные амфиболиты.

Широко распространены в пределах описываемого участка относительно крупные разрывные нарушения субширотного направления, подчиненные конфигурации Осиновской куполовидной антиклинали, которые фиксируются линейно-вытянутыми массивами измененных гипербазитов.

Характерно локальное появление относительно высокотемпературных минералов в участках, прилегающих к рудным телам с наиболее богатым содержанием магнетита. Наряду с хлоритом и серицитом здесь появляются биотит, гранат и куммингтонит.

Руды, представленные железистыми кварцитами пятнисто-полосчатой, пятнистой, сетчатой, реже правильной полосчатой текстуры, образуют пластообразные тела, прослеживающиеся иногда с небольшими перерывами на 5—6 км. Мощность рудных тел обычно не превышает 10, реже 15—20 м. Неправильная полосчатость руд чаще всего обусловлена более поздней их перекристаллизацией, при которой рудный минерал обособляется с образованием линзовидных и пятнистых, часто незакономерно расположенных скоплений.

Главные минералы железных руд — кварц и магнетит, часто маркизированный, содержание которого колеблется от 10 до 30%; в незначительных количествах (до 2—3%) встречается гематит. В рудах Шабровского проявления нередко присутствуют гранат и куммингтонит.

Железистые кварциты Полдневского, Увильдинского, Миасского и Игишского рудопроявлений по положению в структуре, текстурно-структурным особенностям, составу, вторичным изменениям близки к шабровским рудам. Вмещающими породами Увильдинского, Миасского и Игишского рудопроявления служат слюдистые и углистые кварциты, а Полдневского — сланцеватые амфиболиты. Так же, как и в Шабровской рудоносной зоне, в отмеченных рудопроявлениях преобладают маложелезистые разности кварцитов.

Таким образом, руды шабровского типа обнаруживают приуроченность, с одной стороны, к первично осадочным породам (кварцитам, реже — сланцам), с другой — ассоциируют с залегающими среди них аповулканогенными амфиболитами. Руды, слабо измененные процессами перекристаллизации, обладают полосчатыми текстурами. Метасоматическая переработка вмещающих пород здесь, как правило, отсутствует (за исключением Полдневского рудопроявления, где амфиболиты, вмещающие рудные тела, претерпели интенсивную мигматизацию, эпидотизацию, окварцевание и хлоритизацию). Для описываемых руд характерен относительно «чистый» магнетит-кварцевый состав.

Перечисленные особенности позволяют отнести рассматриваемые руды к числу вулканогенно-осадочных образований. В. Н. Лукошков (1971) отмечает отсутствие кластогенных кварца, полевого шпата и других минералов, а также незначительное количество пелитового материала не только в железистых кварцитах, но и во вмещающих кварцитовых сланцах, свидетельствующее о слабом поступлении терригенного материала. Полосчатость в кварцевых сланцах, по мнению указанного автора, конседиментационная. В. Н. Лукошков (1971), И. В. Черменинова и другие (1974, 1975) включают рассматриваемые образования в состав железисто-кремнисто-сланцевой (хемогенной) формации, которая выделяется ими в самой верхней части докембрийского комплекса Центрально-Уральской зоны и восточного склона Урала.

Следует отметить, что так или иначе возникшие кварциты изначально, по-видимому, имели невысокое содержание железа, и только в условиях локального повышения уровня метаморфизма происходило перераспределение рудных компонентов, вынос их из одних частей рудного тела, переотложение и накопление рудных масс на других участках.

Существенно отличны от шабровских по составу и, видимо, по условиям формирования руды Вязовской рудоносной зоны, которая нахо-

дится в 7,5 км к юго-юго-западу от оз. Иткуля, на южном склоне горы Смертельной. Вязовское рудопроявление, включаемое в рассматриваемую зону, располагается в сланцевом обрамлении южной периклинали Иткульской куполовидной антиклинали. Длина рудоносной зоны около 300–350 м, ширина не превышает 60–70 м. Породами, вмещающими рудные тела, являются альбитизированные, интенсивно хлоритизированные и мусковитизированные гранат-биотит-кварцевые сланцы, местами содержащие графит. К востоку от рудоносной зоны, отделяясь от нее разломом, залегают альбитизированные эпидот-биотитовые гнейсы. Вблизи рудного тела вмещающие породы милонитизированы, тонко расланцованны и также интенсивно альбитизированы до перехода в биотит-альбитовые сланцы. Метаморфизм пород рудоносной зоны, судя по сохранившимся ранним парагенетическим ассоциациям, первоначально достигал уровня амфиболитовой фации, на которую наложился интенсивный зеленосланцевый диафторез. Широкое развитие здесь получили процессы метасоматоза, выразившиеся в интенсивных альбитизации, мусковитизации, хлоритизации и окварцевании. Метасоматоз сопровождался перекристаллизацией, которая привела к значительному укрупнению минеральных индивидов.

Рудоносные тела представлены массивными или грубо рассланцованными неравнозернистыми кварц-гранатовыми породами с неравномерным пятнистым или пятнисто-полосчатым распределением граната. Основной рудный минерал — магнетит, количество которого колеблется от единичных зерен до 70–80%. Иногда, наряду с магнетитом, встречается гематит. Местами в рудоносных породах появляется tremолит, а также косоволокнистый tremolit-асбест, образующий секущие прожилки. Гранат — главный минерал рудоносных тел, представлен он существенно марганцевой разновидностью — доля спессартинового минала в нем достигает 44–45% при 40% альмандиновой составляющей.

Приуроченность рудных тел данного проявления к зонам милонитизации и натриевого метасоматоза, субизометрическая или овальная их форма и незначительные размеры, массивные текстуры руд, залегающих среди хорошо рассланцеванных пород, а также более позднее окварцевание, сопровождающееся укрупнением зерен граната — все это указывает на принадлежность руд вязовского типа к метасоматическим образованиям.

Сидоркинский тип оруденения включает руды, располагающиеся в Тагильско-Магнитогорском прогибе. Генетическим представителем этих руд является Сидоркинское месторождение, расположенное в 5–7 км к западу-юго-западу от г. Кыштыма, в самой северной максимально узкой части Магнитогорского мегасинклиниория, против северного клиновидного окончания Ильменогорской антиклинали, в непосредственной близости (1–1,5 км) от западной границы сысертско-ильменогорского гнейсового комплекса. Рудоносная зона, включающая Сидоркинское месторождение, вытянута в субмеридиональном направлении, длина ее около 10 км, а ширина не превышает 400–500 м.

Породы, вмещающие рудные тела, представлены различными апопулканогенными зелеными сланцами эпидот-хлорит-альбитового состава, содержащими от 5 до 30% кварца. По направлению на запад сланцы сменяются порфиритоидами, а на восток — толщей осадочных пород, представленных серицит-хлорит-кварцевыми сланцами, которые содержат примесь углистого материала, углистых филлитов и микрокварцитов. Контакт между зелеными сланцами и толщей осадочных пород

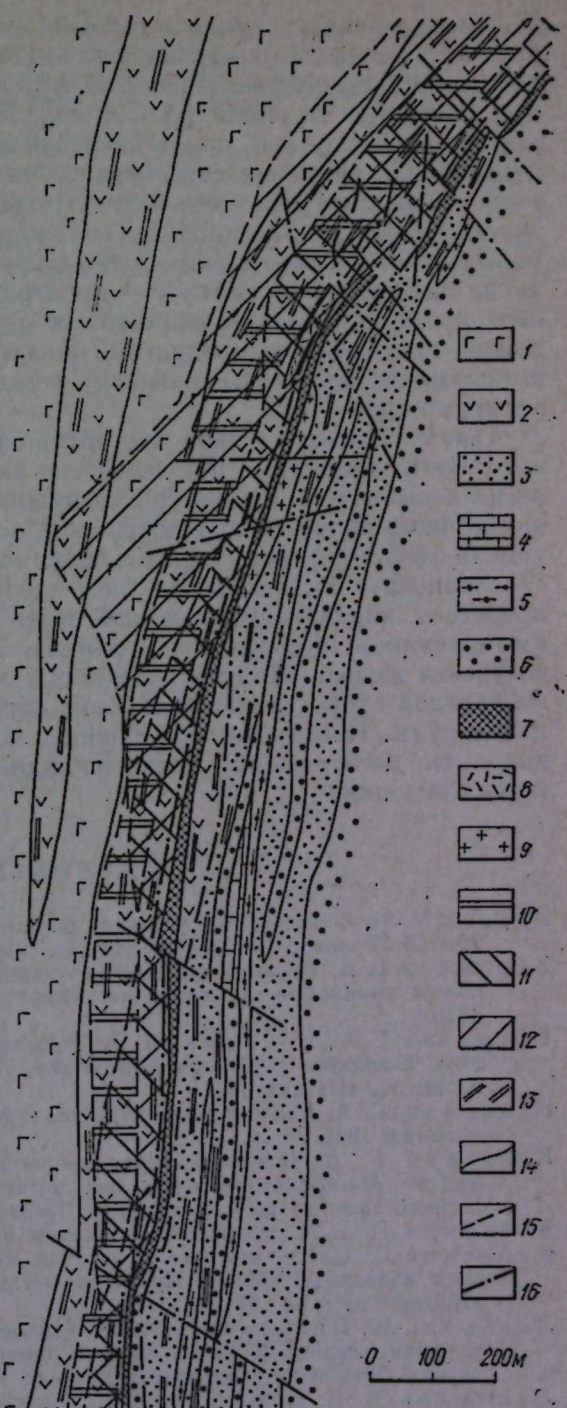
Рис. 2. Схема метасоматической зональности железистых кварцитов в северной части Сидоркинского месторождения.

1 — порфиритоиды (D_1); 2 — зеленные кварц-эпидот-хлорит-альбитовые сланцы (D_2); 3 — серицит-хлорит-кварцевые (кварцитоидные) сланцы с прослоями углистых филлитов ($S_1n - w?$); 4 — известники ($S_1n - w?$); 5 — микроамфиболиты апопорфиритовые ($S_1n - w?$); 6 — серицит-углистые и серицитовые кварциты и кварцитоидитовые кварциты; 7 — гематит-магнетитовые кварциты; 8 — альбититы; 9 — плагиогранит-порфирь; 10 — зоны интенсивной альбитизации; 11 — зоны амфибилизации; 12 — зоны спорадической карбонатизации; 13 — зоны милонитизации; 14 — границы литологических разновидностей; 15 — границы метасоматических зон; 16 — разрывные нарушения.

осложнен разрывным нарушением, в зоне которого и располагаются рудные тела. Породы, образующие рудоносную зону, претерпели метаморфизм допозднепалеозойского и позднепалеозойского этапов. В обоих случаях метаморфизм не превышал уровня зеленосланцевой фации, но сопровождался различными метасоматическими процессами.

Наиболее крупная залежь железистых кварцитов Сидоркинской рудоносной зоны слагает единое рудное тело протяженностью около 4 км и мощностью от 5 до 15 м. В зависимости от состава выделяются магнетитовые кварциты, преобладающие в северной части рудного тела и содержащие от 10 до 30% магнетита, гематит-магнетитовые и магнетит-гематитовые кварциты (наиболее распространенные разновидности руд), слагающие центральную и южную части рудного тела. Они содержат от 5 до 25% магнетита и 5–20% гематита.

В центральной части рудного тела встречаются гематит-содержащие (до 25–30% гематита) хлорит-эпидот-гранатовые микрокварциты. Основные компоненты граната этих пород — спессартин (37%) и гроссуляр (22%).



Приуроченность рудных тел Сидоркинского месторождения к зоне крупного разрывного нарушения, разделяющего вулканогенную и осадочную толщи, широкое развитие метасоматических процессов (рис. 2), среди которых ведущая роль принадлежит натриевому метасоматозу, проявленных в узкой, прилегающей к рудному телу зоне, наличие в центральной части его своеобразных гематитсодержащих гранат-эпидотовых и эпидот-гранатовых пород с постепенными переходами в гематит-магнетитовые кварциты, с наложенным (вторичным) кварцем, неравномерное распределение рудных минералов и более позднее образование магнетита по гематиту — все это свидетельствует о метасоматической природе гематит-магнетитовых руд сидоркинского типа, являющихся, по-видимому, продуктами железисто-кремнистого метасоматоза, комплементарного к проявленному в смежных зонах процессу патрового метасоматоза.

Таким образом, можно констатировать, что основная масса магнетит-гематит-кварцевых руд гнейсовых комплексов имеет метаморфогенно-метасоматический генезис. Ведущим фактором, контролирующим оруденение, является приуроченность его к зоне высокого градиента уровня метаморфизма, определяющегося сочленением гнейсового ядра со сланцевым обрамлением. Здесь щелочной режим метасоматических процессов, характерный для гнейсового ядра, сменяется кислотным выщелачиванием, в связи с чем изменяется подвижность компонентов, в частности железа. При наличии пород соответствующего состава в благоприятной структурной обстановке образуются магнетит-гематит-кварцевые руды. Несколько обособленное положение занимают железистые кварциты шабровского типа, по-видимому, вулканогенно-осадочного происхождения.

ЛИТЕРАТУРА

- Гарань М. И. О возрасте и условиях образования древних свит западного склона Южного Урала. М.—Л., Госгеолиздат, 1946.
- Глушкова Г. А. Геология железистых кварцитов Сысертьско-Ильменогорского гнейсово-комплекса.—Геология метаморфических комплексов Урала. Свердловск, 1976.
- Глушкова Г. А., Кейльман Г. А. Роль метаморфизма в формировании железистых кварцитов гнейсовых комплексов Урала.—Метаморфогенное рудообразование. М., «Наука», 1977.
- Кейльман Г. А. Геологическое строение Уфалейского гранитного массива.—Сов. геология, 1963, № 10.
- Кейльман Г. А. Основные черты геологии гнейсово-магматитовых комплексов Урала.—Магматические формации, метаморфизм, металлогения Урала. Труды Второго Урал. петрограф. совещ., т. 1. Свердловск, 1969.
- Кейльман Г. А. Магматитовые комплексы подвижных поясов. М., «Недра», 1974.
- Кейльман Г. А., Глушкова Г. А. Роль метаморфизма в формировании железистых кварцитов Урала.—Проблема метаморфогенного рудообразования. Киев, «Наукова думка», 1974.
- Ленных В. И., Петров В. И. Новые данные о магматизме и метаморфизме пород западного склона Южного Урала в связи с историей его тектонического развития.—Тектоника и магматизм Южного Урала. М., «Наука», 1974.
- Лукошков В. Н. Возраст, состав и условия образования железистых кварцитов на восточном склоне Урала. Автореф. канд. дисс. Свердловск, 1971.
- Михайлов Д. А. Метаморфогенно-метасоматическое рудообразование в докембрии.—Металлогения докембра. Л., «Недра», 1975.
- Панков Ю. Д., Петров В. И., Гогулан А. М., Керасилов В. А. О формировании магнетитовых кварцитов Тараташского комплекса на Южном Урале.—Проблема метаморфогенного рудообразования. Киев, «Наукова думка», 1974.

- Смирнов Г. А., Смирнова Т. А. Железистые кварциты в разрезе протерозоя на Среднем Урале.—Докл. АН СССР, 1948, т. 61, № 2.
- Чеботарева Н. А. Железные руды и корреляция рудоносных разрезов куватальской толщи Тараташского комплекса Южного Урала. Автореф. канд. дисс. М., 1974.
- Черменинова И. В., Лукошков В. Н., Гордиенко В. Т. Типические метаморфогенные месторождения железа в докембреи центральной зоны и восточного склона Урала.—Проблема метаморфогенного рудообразования. Киев, «Наукова думка», 1974.
- Черменинова И. В., Лукошков В. Н., Гордиенко В. Т. Железисто-кремнистые формации в докембреи Урала.—Металлогения докембра. Л., «Недра», 1975.

Ю. Д. ПАНКОВ, Г. М. БАРАБАШКИНА

**ЗАКОНОМЕРНОСТИ ФОРМИРОВАНИЯ
И РАЗМЕЩЕНИЯ МЕСТОРОЖДЕНИЙ
МАГНЕТИТОВЫХ РУД
ТАРАТАШСКОГО МИГМАТИТОВОГО КОМПЛЕКСА**

В дорифейском тараташском мигматитовом комплексе на Южном Урале наиболее ранние минеральные парагенезисы в субстрате мигматитов (их палеосома) представлены гранулитовыми метаморфитами, состоящими из двутироксен-плагиоклазовых кристаллических сланцев основного состава ($\text{РП}_{40+47} + \text{Кп}_{31-35} + \text{Пл}_{50-60}$), метагабброидов ($\text{РП}_{44-46} + \text{Пл}_{45+50}$), графитовых кварцитов и ультрабазитов¹. Последние почти всегда представлены ортопироксенами. Железистость пироксенитов и апопироксенитовых серпентинитов (вдали от тел магнетитовых кварцитов) колеблется от 5 до 20. Примерное соотношение гранулированных метаморфитов в палеосоме составляет соответственно 72, 10, 3 и 15%. Нетрудно видеть, что указанные парагенезисы в совокупности представляют собой не что иное, как метаморфизованную офиолитовую ассоциацию, характерную для океанической стадии развития эвгеосинклиналей.

Важно также отметить широкое развитие ультраосновных пород в древних офиолитах. Реликты их среди мигматитов приурочены главным образом к полосе северо-восточного простирания шириной 3–4 км, протягивающейся через весь тараташский комплекс в центральной его части. По всей вероятности в указанной полосе до мигматизации существовало сплошное тело (или серия крупных тел) ультрабазитов. Кроме главной полосы развития ультрабазитов, по обе стороны от нее установлены менее протяженные и менее мощные полосы этих пород.

После гранулитового метаморфизма офиолитовый субстрат подвергся сперва плагиогранитной, а затем (с большим разрывом во времени) гранитной мигматизации, каждая из которых осуществлялась по артеритовому типу и была сопряжена соответственно с натриевой и калиево-натриевой гранитизацией (Панков, 1977). При процессах гранитизации значительная часть гранулитовых метаморфитов изо- и аллохимически была превращена в различные по составу амфиболиты, сланцы и гнейсы. Общая степень мигматизации и гранитизации в комплексе высокая, 70–80%.

При проведении геолого-ъемочных и поисково-разведочных работ в комплексе выявлено пять мелких месторождений и около 60 рудопро-

¹ РП — ортопироксен, Кп — клинопироксен, Пл — плагиоклаз. Цифры обозначают общую железистость пироксенов, или номер плагиоклаза.

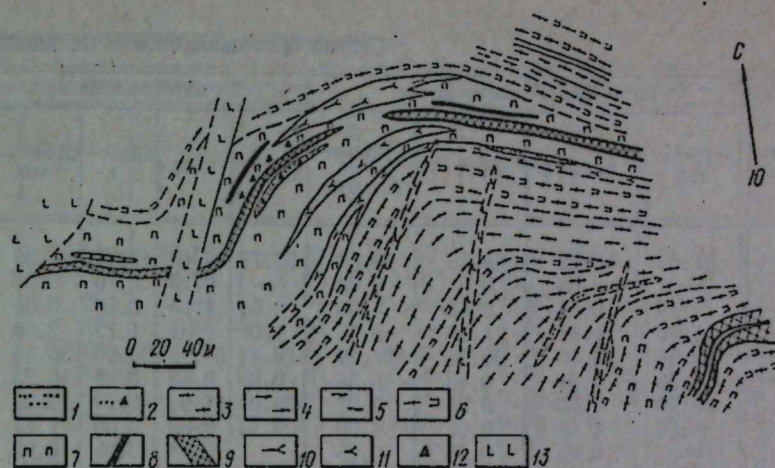


Рис. 1. Геологический план Ушатского рудопроявления. Составлен с использованием данных А. М. Гогуана.

1 — кварциты; 2 — кварциты с редкой вкрапленностью магнетита; 3 — теневые гранитные мигматиты; 4 — мигматиты по плагиоклазовым амфиболитам; 5 — плагиоклазовые амфиболиты; 6 — мигматиты по пироксенитам; 7 — пироксениты; 8 — магнетитовые пироксениты; 9 — магнетитовые кварциты; 10 — tremolit-актинолитовые породы по пироксенитам; 11 — серпентиниты по пироксенитам; 12 — вкрапленность магнетита; 13 — даеки диабазов.

явлений магнетитовых руд, образующих линзы и линзовидные тела, часто сменяющие друг друга (рис. 1, 2), мощностью от долей метра до 50 м и длиной до 2 км. Руды представлены пироксен-магнетитовыми кварцитами и магнетитовыми пироксенитами. Пироксен в рудах, как правило, ортопироксен, редко встречается клинопироксен. В свою очередь рудные тела почти повсеместно ассоциируют с безрудными пироксенитами, представленными обычно ортопироксенитами. В совокупности магнетитовые кварциты, магнетитовые пироксениты и пироксениты образуют устойчивые пироксенит-кварцитовые ассоциации.

И. И. Малышев (Малышев и др., 1934), один из первых исследователей магнетитовых кварцитов района, считал их результатом окварцевания магнетитовых пироксенитов, которые в свою очередь рассматривались им как дифференциаты габбровой магмы. Более поздние исследователи защищали первично осадочную (Гарань, 1946; Смирнов, Смирнова, 1948; Ермаков, 1959) или вулканогенно-осадочную (Чеботарева, Наумова, 1971; Формозова, 1973) гипотезы происхождения маг-

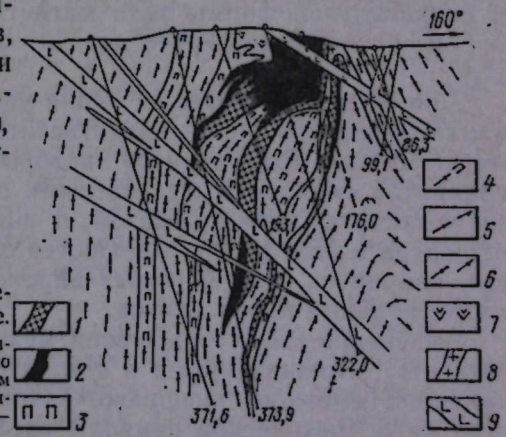


Рис. 2. Геологический разрез месторождения магнетитовых кварцитов Радостное.

1 — магнетитовые кварциты; 2 — магнетитовые пироксениты; 3 — пироксениты; 4 — мигматиты по пироксенитам; 5 — мигматиты по плагиоклазовым амфиболитам; 6 — теневые мигматиты; 7 — амфиболиты бесполовощатовые по пироксенитам; 8 — амфиболиты жильные; 9 — диабазы жильные.

Таблица I

Состав ортопироксенов и их железистость

Компонент	Из кварцитов магнетитовых				Из пироксенитов магнетитовых				
	C1075—225	5607—2	6592	Среднее из 29 анализов	P91 ⁶	5600	5590—1	C1149—43	Среднее из 11 анализов
SiO ₂	51,69	49,02	48,56	46,83	53,77	49,40	47,90	48,80	49,42
TiO ₂	—	0,03	0,01	0,02	—	0,10	0,10	0,01	0,17
Al ₂ O ₃	1,14	0,61	0,62	0,96	0,54	1,10	0,80	0,58	0,88
Fe ₂ O ₃	1,96	1,68	1,13	0,93	1,01	0,31	1,72	2,09	1,29
FeO	25,56	39,36	39,58	37,29	20,47	35,90	39,90	35,35	34,04
MnO	0,25	0,61	0,40	0,38	0,01	0,43	0,38	0,23	0,29
MgO	18,90	7,70	8,35	9,22	24,07	11,20	8,20	11,39	12,37
CaO	0,62	1,11	0,97	0,90	0,15	0,80	0,90	1,11	0,74
Na ₂ O	—	0,05	0,05	0,05	—	0,08	0,05	0,05	0,05
K ₂ O	—	0,05	0,05	0,04	—	0,05	0,05	0,05	0,05
P ₂ O ₅	—	—	—	—	—	—	—	—	0,02
H ₂ O	—	0,46	0,62	0,42	—	—	1,05	0,34	—
Cr ₂ O ₃	—	0,006	0,005	0,003	—	0,006	0,004	0,005	0,006
NiO	—	0,039	0,016	0,024	—	0,028	0,033	0,025	0,027
CoO	—	0,008	0,008	0,008	—	0,008	0,010	0,008	0,008
Сумма	100,12	100,63	100,25	71,06	100,01	99,36	100,99	99,92	—
F _{общ}	44,8	74,9	82,8	—	33,3	64,4	73,9	76,3	63,08
Ng	1,731	1,751	—	—	1,706	7,747	—	—	—
Nр	1,716	1,735	—	—	1,694	1,719	—	—	—

итетитовых кварцитов. Наши исследования (Панков и др., 1974) доказывают метасоматическое происхождение не только кварца, как это было установлено И. И. Малышевым, но и магнетита в магнетитовых кварцитах и в магнетитовых пироксенитах.

Метасоматическая природа руд доказывается прежде всего наличием метасоматической зональности. Такая зональность устанавливается во многих пироксенит-кварцитовых ассоциациях. Выражается она в том, что центральные части сложены железистыми ортопироксенитами, а периферические — магнезиальными. Именно к железистым пироксенитам центральных частей ассоциаций приурочены линзовидные, а иногда и неправильной формы тела магнетитовых кварцитов и магнетитовых пироксенитов. Периферические же части ассоциаций лишены рудных тел.

При более детальном изучении центральных частей ассоциаций устанавливается, что около тел магнетитовых кварцитов часто развита зона магнетитовых пироксенитов, которые еще дальше от магнетитовых кварцитов сменяются железистыми ортопироксенитами, не содержащими магнетита. Таким образом, в пироксенит-кварцитовых ассоциациях от центра к периферии выделяются следующие четыре зоны: магнетитовых кварцитов, магнетитовых пироксенитов, железистых пироксенитов, магнезиальных пироксенитов.

Выяснение взаимоотношений между зонами показывает их неравенство, выраживающееся в том, что каждая более центральная зона замещает смежную внешнюю. Такое наложение — прямое доказательство метасоматической природы рассматриваемой зональности.

по зонам метасоматической колонки, вес. %

P91 ⁶	Из пироксенитов железистых				Из пироксенитов магнезиальных				
	C1077—107—1	C1178—124,0	C1174—292	Среднее из 7 анализов	C207—401	P4	C1009—19	8406/2—2	Среднее из 5 анализов
53,29	51,04	49,12	49,08	50,96	54,02	54,65	54,32	52,92	54,09
Не опр.	0,07	0,07	0,06	0,045	0,08	—	0,05	0,05	0,06
1,27	1,25	2,81	0,91	1,48	2,55	2,83	1,70	2,98	2,46
—	1,11	0,87	2,55	1,43	1,57	1,51	1,81	1,23	1,62
20,08	25,76	26,32	35,21	26,43	10,20	10,17	12,20	12,03	11,10
—	0,01	0,83	0,12	0,25	0,36	0,28	0,53	0,38	0,29
23,29	18,24	16,68	11,80	18,06	30,28	29,73	29,27	28,70	23,82
0,36	0,65	0,23	0,62	0,50	0,56	0,41	0,56	0,49	0,54
—	0,06	0,13	0,11	0,04	0,05	—	0,05	0,09	0,06
—	0,05	0,11	0,05	0,03	0,05	—	0,05	0,05	0,05
—	0,05	—	—	0,005	—	—	—	—	0,005
—	0,96	1,20	0,22	0,34	0,20	—	—	0,005	1,2
—	0,020	0,005	0,005	0,014	0,002	—	0,09	0,10	0,12
—	0,05	0,01	0,02	0,01	0,033	—	0,035	0,06	0,043
—	0,009	0,005	0,005	0,003	0,011	—	0,011	0,006	0,009
99,40	99,93	100,35	99,77	—	100,87	100,13	99,84	99,28	—
33,7	44,9	49,9	63,43	46,57	17,66	18,20	20,32	20,80	19,1
1,710	—	1,734	1,758	—	1,689	—	—	—	—
1,697	—	1,719	1,722	—	1,676	—	—	—	—

Характеристика состава и текстурно-структурных особенностей пород и руд каждой зоны и характеристика взаимоотношений между ними следующая.

Зона магнетитовых кварцитов. Магнетитовые кварциты — мелко- или среднезернистые руды или породы с размерами зерен от 0,5 до 3—4 мм, состоящие из кварца (50—90%), магнетита (2—40%) и ортопироксена (0—30%). Последний обычно представлен феррогиперстеном или магнезиальным эвлитом ($F_{общ}$ 55—75%). Реже встречаются гиперстены с железистостью 45—55 (табл. 1).

Наряду с магнетитом часто присутствует титаномагнетит (0—15%), а также ильменит и магнетоильменит (до 4%). Местами встречаются салит и андрадит-альмандиновый гранат с железистостью 81—94. Из акцессорных минералов обычны апатит и циркон. Характерно присутствие очень тонких пылевидных зерен, похожих на электрум, заключенных в кварце и пироксене. Текстура пород обычно полосчатая с хорошо развитой кристаллизационной сланицеватостью, согласной с границами зон магнетитовых кварцитов. Реже встречается массивная текстура. Магнетитовые кварциты бедны титаном, хромом, никелем, кобальтом (табл. 2). Характерна примесь золота и серебра. Мощность зон магнетитовых кварцитов от нескольких сантиметров до 26 м.

Зона магнетитовых пироксенитов. Магнетитовые пироксениты — это обычно крупно- и гигантозернистые руды, по размерам зерен резко отличающиеся от магнетитовых кварцитов. Особенно крупные (до 30 см) зерна пироксена отмечаются в непосредственном контакте с магнетитовыми кварцитами (рис. 3). Пироксен — почти всегда

Таблица 2
Средний химический состав пород и руд
по зонам метасоматической колонки,
вес. %

Компонент	1*	2	3	4
SiO ₂	46,89	40,01	49,82	47,83
TiO ₂	0,10	0,28	0,1	0,37
Al ₂ O ₃	0,49	1,13	1,53	6,02
Fe ₂ O ₃	31,17	35,34	3,58	3,70
FeO	16,48	15,92	26,70	7,76
MnO	0,09	0,16	0,14	0,16
MgO	2,24	5,87	15,49	23,14
CaO	0,88	2,07	0,83	6,58
Na ₂ O	0,08	0,15	0,18	0,57
K ₂ O	0,07	0,11	0,23	0,18
P ₂ O ₅	0,18	0,24	0,25	0,06
П. п. п.	0,46	1,20	0,87	2,91
Cr ₂ O ₃	0,011	0,016	0,018	0,22
NiO	0,005	0,017	0,02	0,11
CoO	0,001	0,002	0,003	0,014
CO ₂	0,04	0,04	—	0,24
SO ₃	0,08	0,06	0,05	0,19

* 1 — кварциты магнетитовые (98 анализов); 2 — пироксениты магнетитовые (22 анализа); 3 — пироксениты железистые вблизи магнетитовых кварцитов (11 анализов); 4 — пироксениты магнезиальные в удалении от магнетитовых кварцитов (13 анализов).

Текстура руд массивная или полосчатая. Последняя обусловлена чередованием рудных и безрудных полосок. Элементы залегания полосчатости согласны с границами зон. Мощность зон от 10 см до 40 м.

Зона железистых ортопироксенитов. По размерам зерен, железистости ортопироксена (см. табл. 1), характеру акцессорных минералов, по содержанию никеля, кобальта (см. табл. 2), золота и серебра железистые пироксениты близки магнетитовым пироксенитам, от которых отличаются главным образом более высоким содержанием магния, отсутствием рудных минералов, а также наличием акцессорной примеси платиноидов. Часто встречаются мелкие зерна зеленой шинели. Мощность зон от нескольких сантиметров до 4 м.

Зона магнезиальных ортопироксенитов. Магнезиальные пироксениты слагают периферические части ассоциаций. Они непосредственно примыкают к железистым пироксенитам или устанавливаются вблизи них в виде реликтов среди мигматитов. Размеры зерен в пироксенитах 1—3 см. Химически установлена железистость ортопироксена 17—20 (см. табл. 1). По оптическим данным установлены серпентинизированные магнезиальные ортопироксениты с пироксеном, который соответствует магнезиальному энстатиту ($+2V=65-68^\circ$). Химически определенная железистость таких пород колеблется от 4,6 до 11. Иногда в магнезиальных пироксенитах встречается оливин, по оптическим данным ($+2V=80-85^\circ$) близкий к форстериту. Количество его до 15%. Кроме пироксена и оливина, установлен хромит (до 1,0%). От железистых ортопироксенитов магнезиальные резко отличаются высоким содержанием хрома, никеля, кобальта, равным или превышающим

ортопироксен с железистостью 33—65 (см. табл. 1). Очень редко встречается салит. Рудные минералы такие, что и в кварцитах, но пироксениты часто более обогащены магнетитом и особенно титановыми минералами: титаномагнетитом, ильменитом, магнетоильменитом, что отражается в их химическом составе (см. табл. 2). Важно отметить, что иногда в магнетитовых пироксенитах устанавливаются реликтовые зерна хромита (до 0,5%), которые по периферии замещены магнетитом или титаномагнетитом.

Так же, как и в кварцитах, постоянно присутствуют циркон, апатит и пылевидные зерна минерала, похожего на электрум, приуроченного обычно к пироксену. Химически от магнетитовых кварцитов магнетитовые пироксениты отличаются повышенным содержанием магния, титана, хрома, никеля, кобальта (см. табл. 2). Руды часто содержат акцессорные количества золота и серебра. Определения платины и палладия дали отрицательные результаты.

Рис. 3. Крупные порфиробласти гиперстена, образовавшиеся на фронте замещения магнетитовых пироксенитов магнетитовыми кварцитами. Куватальское месторождение, скв. 165, глуб. 518,5 м.
В одном делении 1 мм.

кларки этих элементов для ultraосновных пород, по А. П. Виноградову (см. табл. 2). Из элементов-примесей характерны платиноиды. Текстура пород массивная. Мощность сплошных не гранитизированных частей зон до 70 м.

Таким образом, от центра метасоматической колонки к ее периферии устанавливается отчетливое повышение магнезиальности ортопироксенов и увеличение содержаний хрома, никеля, кобальта (рис. 4).

Богатую информацию о генезисе пироксенит-кварцитовых ассоциаций дает наблюдение над взаимоотношениями между зонами.

1. При изучении контактов между магнетитовыми кварцитами и магнетитовыми пироксенитами отчетливо устанавливается, что кварциты замещают пироксениты (рис. 5, 6). Процесс контролируется трещинками кливажа раскола, параллельными контактам зон. Вдоль таких трещин зерна кварца и магнетита «прорезают» крупные зерна пироксена и ранее образованного магнетита в магнетитовых пироксенитах. На границе с последними в кварцитах наблюдаются многочисленные реликты крупных зерен пироксена и магнетита и агрегаты их. С удалением от контакта количество и размеры реликтовых участков убывают, но реликты мелких (0,5—2 мм) зерен (ксенокрист) пироксена почти всегда присутствуют в кварцитах. В свою очередь в крупнозернистых

магнетитовых пироксенитах на границе с кварцитами отмечаются многочисленные субогласные зонки, линзочки или неправильной формы участки мелкозернистых магнетитовых кварцитов. Влияние стресса, вызвавшего образование



Рис. 4. Характер изменения железистости ортопироксенов (1) и содержаний хрома (2), никеля (3), кобальта (4) по зонам обобщенной метасоматической колонки в пироксенит-кварцитовых ассоциациях тараташского комплекса.



Рис. 5. Замещение крупнозернистого массивного магнетитового пироксенита мелкозернистым полосчатым пироксен-магнетитовым кварцитом. Месторождение Магнитный Ключ, скв. 574, глуб. 184,5 м, диаметр керна 42 мм.

трещин кливажа раскола, приводит к формированию кристаллизационной сланцеватости в кварцитах.

2. При изучении контактов между магнетитовыми пироксенитами и безрудными железистыми пироксенитами отчетливо устанавливается, что первые замещают вторые. Очень часто этот процесс выражается в том, что в безрудных пироксенитах вдоль тех же трещин кливажа раскола, рассекающих различно ориентированные крупные зерна пироксена (рис. 7, 8), развивается магнетит. Длина образующихся при этом субпараллельных непрерывных прожилков достигает 60 см. Мощность магнетитовых прожилков до 5—10 мм. При этом образуются полосчатые магнетитовые пироксениты. Кроме выполнения полостей, магнетит метасоматически замещает пироксен.

3. Переход между железистыми и магнезиальными ортопироксенитами изучен недостаточно, так как магнезиальные пироксениты пе-



Рис. 6. Замещение крупного зерна гиперстена тонкозернистым агрегатом кварца и магнетита. Лысогорское рудопроявление, скв. 34, глуб. 125 м, $\times 16$.

Рис. 7. Развитие магнетита в гиперстените вдоль трещин кливажа раскола, рассекающих различно ориентированные зерна гиперстена. Обр. 4862^н, месторождение Радостное.



риферических частей пироксенит-кварцитовых ассоциаций гранитизированы и мигматизированы. Это обстоятельство, а также многоэтапный диафторез (амфиболизация, серпентинизация и др.), особенно сильно проявленный именно в данных породах, затрудняют изучение особенностей первичного состава и строения магнезиальных пироксенитов и их взаимоотношений с железистыми пироксенитами. Другой причиной недостаточной изученности этих взаимоотношений является постепенность перехода между железистыми и магнезиальными пироксенитами. Судя по отдельным наблюдениям на месторождении Радостном и рудопроявлении Ушатском, переход как по размерам зерен, так и по железистости постепенный. Именно поэтому минералого-петрографические признаки, свидетельствующие о развитии железистых пироксенитов по

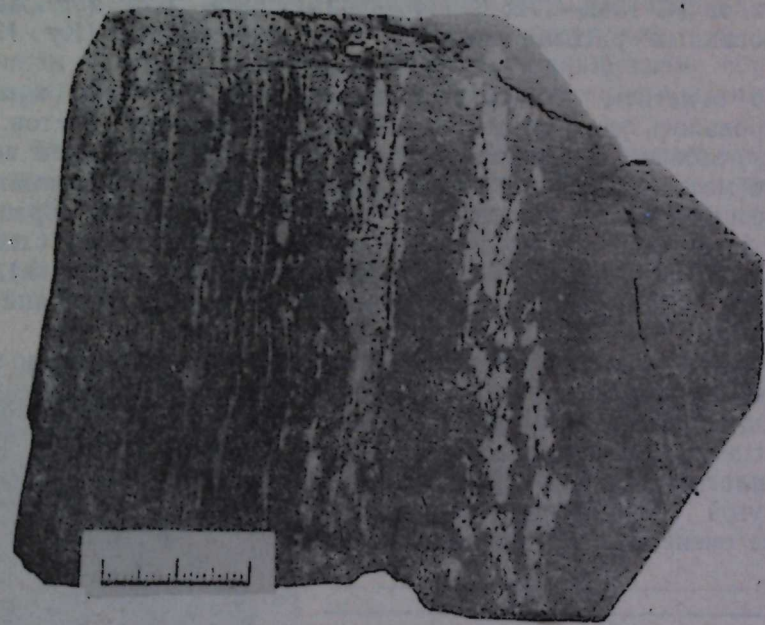


Рис. 8. Контакт пироксен-магнетитового кварцита (крайняя полоса слева), магнетитового пироксенита и железистого пироксенита. В правой части рисунка видно, что магнетит (светло-серое) развивается в гигантских монокристаллах гиперстена вдоль согласных трещин кливажа раскола с образованием магнетитовых пироксенитов. В левой части рисунка вдоль этих же трещин наряду с магнетитом развивается кварц. Обр. Р92, месторождение Радостное.
В одном делении 1 мм.

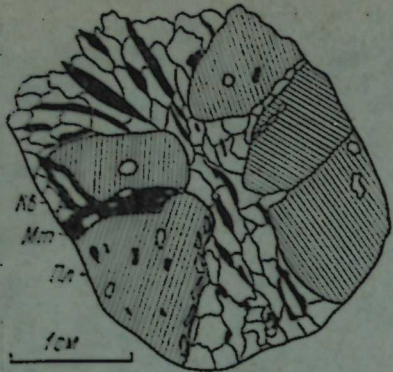


Рис. 9. Замещение крупных зерен плагиоклаза в габбро-диорите тонкозернистым магнетитовым кварцитом. Месторождение Магнитный Ключ, скв. 1542, глуб. 172 м.

магнезиальным, отсутствуют. Однако приуроченность железистых пироксенитов только к телам магнетитовых кварцитов, явные случаи перекристаллизации ультраосновных пород около этих тел с образованием гигантозернистых пироксенитов и закономерное положение магнезиальных пироксенитов в периферических частях зональных ассоциаций доказывают то, что железистые пироксениты развиваются за счет магнезиальных.

Сказанное дает основание говорить, что при образовании пироксенит-кварцитовых ассоциаций мы имеем дело с разрастающимися зонами метасоматической колонки, развивающимися главным образом по мало-железистым пироксенитам при железисто-кремнистом метасоматозе. Этот процесс иногда накладывается и на вмещающие пироксениты пород, о чем свидетельствует замещение магнетитовыми кварцитами (рис. 9—11) двупироксен-плагиоклазовых кристаллических сланцев, метагабброидов (С 1542—172; С 1145—432; С 1149—212), а также и контактизированных рассланцованных плагиомигматитов (Ку 138—11; Ш24946).

Важно отметить, что образование магнетитовых руд комплекса контролировалось указанными полосами развития пироксенитов. Именно в них, особенно в главной полосе, концентрируются почти все магнетитовые месторождения и рудопроявления. Тесная пространственная связь высокоплотных (пироксениты) и магнитных (руды) образований в этих полосах особенно наглядно видна на гравимагнитной схеме (см. статью Ю. Д. Панкова, В. Б. Соколова в настоящем сборнике), иллюстрирующей удивительную сопряженность магнитных аномалий с гравиметровыми.

Во времени процесса железисто-кремнистого метасоматоза, по всей вероятности, приурочен к интервалу между плагиогранитным и гранитным этапами мигматизации. На это, с одной стороны, указывает развитие магнетитовых кварцитов по плагиомигматитам и отсутствие образования плагиомигматитов по магнетитовым рудам.

С другой стороны, в тараташском комплексе очень широко развиты кали-

Рис. 10. Жилообразные тела массивных магнетитовых кварцитов, несогласно секущие бластомилониты по плагиомигматитам. Тахтинское рудопроявление.

1 — бластомилониты по плагиомигматитам (ориентировка эндохнов указывает направление тектонической линейности по минералам); 2 — тонкозернистые массивные магнетитовые кварциты; 3 — гнейсовидные граниты; 4 — делювий.

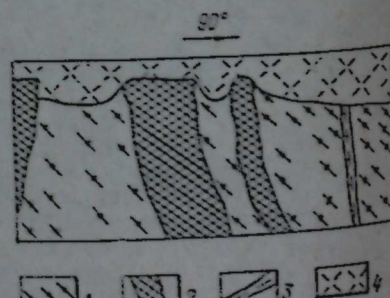
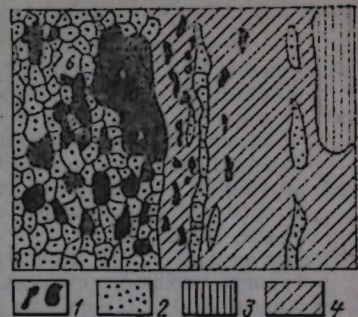


Рис. 11. Контакт магнетитового кварцита с бластомилонитом по плагиомигматиту (деталь рис. 10, $\times 4$). 1 — магнетит; 2 — кварц; 3 — плагиоклаз; 4 — бластомилонит.



натриевые мигматизация и гранитизация, явно накладывающиеся на магнетитовые кварциты и магнетитовые пироксениты с образованием по ним соответствующих гранитных мигматитов (рис. 12), биотитовых сланцев и гранито-гнейсов. Характерной особенностью последних является частая обобщенность реликтовым магнетитом. В результате кали-натриевых мигматизаций и гранитизаций происходит существенное разубоживание, а также местами частичное или полное уничтожение рудных тел.

Таким образом, образование кремнисто-железистых метасоматитов в тараташском комплексе наиболее вероятно объяснить процессами кислотного выщелачивания в постмагматическую стадию плагиогранитного этапа. Хорошо известно, что при процессах кислотного выщелачивания обычно, как в связи с плагиогранитным (Панков, 1971), так и в связи с гранитным (Кориковский, 1963; Кейльман, 1966; Панков, 1971) магматизмом, образуются метасоматические кварциты, часто обогащенные золотом и серебром. Отличительная особенность рассматриваемого процесса — способность кремнистых растворов переносить еще и железо, источником которого, по-видимому, служили вмещающие породы, среди которых особенно широко развиты богатые железом базитовые разности.

При формировании магнетитовых руд роль ультраосновных пород, обладающих щелочной средой, сводилась к нейтрализации кислых железисто-кремнистых растворов, а также к «высаживанию» их полезного груза.

Таким образом, пироксенит-кварцитовые ассоциации тараташского комплекса имеют двойственную природу, что обуславливает наличие у них минералогических и геохимических черт, типоморфных, с одной стороны, для ультрабазитов (хромшипинелиды, хром, никель, кобальт, платиноиды), а с другой — для постгранитоидных процессов кислотного выщелачивания (кварц, гранат, золото, серебро).

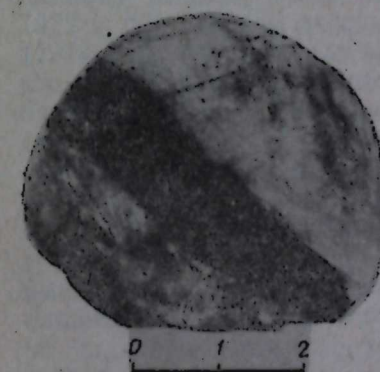


Рис. 12. Гранитный мигматит по магнетитовому кварциту.
Светлое — гранитная неосома, темное — палеосома, представленная магнетитовым кварцитом.

ЛИТЕРАТУРА

- Гарань М. И. О возрасте и условиях образования древних свит западного склона Южного Урала. М., Госгеолиздат, 1946.
- Ермаков В. К. О составе и генезисе железистых кварцитов в докембрийских отложениях западного склона Южного Урала.— Вопросы геологии Урала, ч. 1. Труды Горно-геол. ин-та УФАН СССР, 1959, вып. 40.
- Кейльман Г. А. Вопросы геологии гнейсово-магматитовых комплексов Урала.— Второе Уральское петрографическое совещание. Тезисы докладов, т. 5. Свердловск, 1966.
- Кориковский С. П. Кварц-силлиманитовая фация кислотного выщелачивания в гранито-гнейсовых комплексах.— Докл. АН СССР, 1963, с. 152, № 1.
- Малышев И. И., Пантелеев П. Т., Пэк А. В. Титаномагнетитовые месторождения Урала. М., Изд-во АН СССР, 1934.
- Панков Ю. Д. Ильменогорский метаморфический комплекс.— Ильменогорский комплекс магматических и метаморфических пород. Труды Ильменского гос. заповедника, вып. 13, Свердловск, 1971.
- Панков Ю. Д. Сравнительная характеристика геологического развития палеозойского Ильменогорского и протерозойского Тараташского мигматитовых комплексов.— Тезисы докладов III Всесоюзного симпозиума по метаморфизму, ч. 1. Свердловск, 1977.
- Панков Ю. Д., Петров В. И., Гогулан А. М., Керасилов В. А. О формировании магнетитовых кварцитов Тараташского комплекса на Южном Урале.— Проблема метаморфогенного рудообразования. Тезисы докладов II Межведомственного научного совещания, Кременчуг. Киев, «Наукова думка», 1974.
- Смирнов Г. А., Смирнова Т. А. Железистые кварциты в разрезе протерозоя на Среднем Урале.— Докл. АН СССР, 1948, т. 61, № 2.
- Формозова Л. Н. Формационные типы железных руд докембрия и их эволюция. М., «Наука», 1973.
- Чеботарева Н. А., Наумова Э. Н. Железистые кварциты Тараташского метаморфического комплекса Южного Урала.— Геология рудных месторождений, 1971, № 4.

АКАДЕМИЯ НАУК СССР · УРАЛЬСКИЙ НАУЧНЫЙ ЦЕНТР

МЕТАСОМАТИЧЕСКИЕ ЖЕЛЕЗИСТЫЕ КВАРЦИТЫ · 1979

В. И. ГУСЕЛЬНИКОВ

ГЕОЛОГИЯ, СКАРНИРОВАНИЕ И МЕТАСОМАТОЗ ЖЕЛЕЗИСТЫХ КВАРЦИТОВ ТРОСНЯНСКОГО МЕСТОРОЖДЕНИЯ КМА

По современным представлениям, в докембрии Курской магнитной аномалии (КМА) выделяются четыре петрографических типа железистых кварцитов: такониты, итабириты, джеспилиты и железистые роговики (Гусельников, 1972 а, б). При известном сходстве химического состава их минеральные парагенезисы, текстурно-структурные и генетические особенности, а также технологические свойства довольно контрастны (Гусельников, 1970, 1971).

Указанные петрографические типы в разных сочетаниях между собой встречаются в составе следующих железорудных формаций КМА: 1) железисто-гнейсовой (обоянская метаморфическая серия, архей), 2) железисто-габброидной (архей — нижнепротерозойский комплекс изверженных пород), 3) железисто-метабазитовой (михайловская вулканогенная серия, архей — нижний протерозой) и 4) железисто-сланцевой (курская вулканогенно-осадочная серия, нижний протерозой). Сведения о геологических особенностях и составе рудных и вмещающих толщ КМА приведены в ряде работ (Русинович, Небосенко, 1964; Илларионов, 1965; Чайкин, 1965; Плаксенко, 1966; Полищук и др., 1970; Соколов, 1975; Плаксенко, Щеголев, 1977). При этом магматическая железисто-габброидная формация (с железистыми роговиками) впервые была выделена на КМА нами (Гусельников, 1971, 1972 а, б). Сходные ассоциации железистых пород Л. Н. Добрецов и др. (1974, стр. 281) назвали «эвлизито-кварцитовыми» рудными формациями. Таким образом, применяемый нами термин «железистый роговик» оказался очень близким по смыслу к определению «эвлизита», хотя последний охватывает значительно меньшее количество минеральных разновидностей (Петрографический словарь, 1963, стр. 398; Геологический словарь, 1970, стр. 443). Термин «эвлизит» более краток и потому удобнее для обозначения всей рассматриваемой петрографической группы железистых кварцитов. В дальнейшем мы будем применять его именно в этом более широком смысле. Однако в группе эвлизитов, по нашему мнению, целесообразно различать две подгруппы: а) собственно эвлизиты (или пироксен-амфиболовые эвлизиты) — с пироксеном, амфиболом, гранатом, магнетитом и др., б) железистые роговики (кварцевые эвлизиты), состоящие в основном из кварца и магнетита, с небольшой примесью других минералов. Такое подразделение, как будет показано, имеет не только теоретическое (генетическое), но и большое практическое (технологическое) значение.

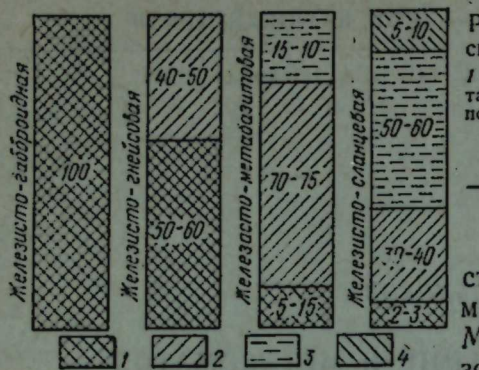


Рис. 1. Петрографический состав докембрийских железисто-кремнистых формаций КМА. 1 — эвлизыты, включая железистые роговики, 2 — таюниты, 3 — джеспилиты, 4 — итабириты (цифрами — показаны соотношения типов железистых кварцитов, %).

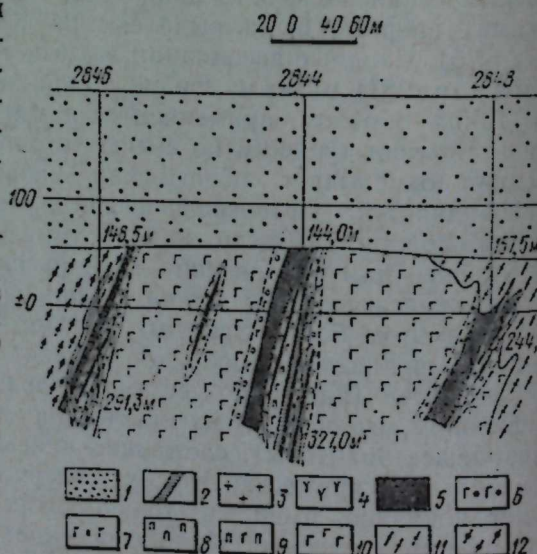
наполовину состоят из светлоокрашенного кварца, богаты железом (магнетит), но магния в них мало. Обычно эвлизыты и железистые роговики связаны взаимопереходами минерального состава, особенно в железисто-габброидной и железисто-метабазитовой формациях. Однако местами обе подгруппы встречаются в виде самостоятельных рудных залежей. В целом доля эвлизытов убывает в направлении от железисто-габброидной к железисто-гнейсовой к железисто-метабазитовой и железисто-сланцевой формациям (рис. 1).

Использование унифицированной петрографической классификации и номенклатуры железистых кварцитов в практике поисков, разведки и эксплуатации месторождений значительно повышает информативность геологического материала, а следовательно, и объективность петрологических, тектонических и металлогенических выводов.

Эвлизыты и железистые роговики КМА во многих случаях являются типичными ортомагматическими рудами (Гусельников, 1971). При этом в конкретных рудных формациях они образуют определенные минеральные парагенезисы. Например, в железисто-габброидной формации встречаются преимущественно оливин-пироксеновые, пироксеновые и амфиболовые эвлизыты, нередко постепенно переходящие в железистые роговики. В железисто-гнейсовой формации эти подгруппы ассоциируют с таюнитами. Однако в железисто-метабазитовой формации парагенезис амфиболовых эвлизытов и железистых роговиков наблюдается в подчиненном количестве, а главная часть железистых кварцитов сложена джеспилитами и таюнитами. На-

Рис. 2. Условия залегания эвлизытов и железистых роговиков в массивах интрузивного габбро Бесединского месторождения (разрез).

1 — осадочная толща (палеозой-мезокайнозой), 2 — кварц-полевошпатовые жили, 3 — граниты, 4 — синеклиты, 5 — эвлизыты и железистые роговики, 6 — габбро кварцевое, 7 — габбро биотитовое, 8 — пироксенит, 9 — габбро-пироксенит, 10 — габбро магнетитовое, 11 — мигматиты, гранитогнейсы архея; 12 — гнейсы биотитовые, двуслюдянные (обоянская серия архея).



конец, в железисто-сланцевой формации отмечено присутствие крайне ограниченного количества железистых роговиков (массивной текстуры), иногда с реликтами амфиболов (по пироксену), а основная масса руд представлена таюнитами, джеспилитами и итабиритами. Эвлизыты и особенно железистые роговики имеют исключительно большую технологическую ценность, потому что относятся к сравнительно крупнозернистым и легкообогащим сортам железных руд, в которых почти все рудное железо извлекается методом магнитной сепарации.

Условия размещения ортомагматических эвлизытов в массивах габбро показаны на рис. 2. Геологические, петрографические, химические и минерало-термометрические особенности этих магнетитовых руд на примере Курско-Бесединских месторождений рассмотрены в специальной статье (Гусельников, 1971).

В последнее время накоплен новый материал о взаимоотношениях разных петрографических групп железистых кварцитов среди железисто-метабазитовой формации Троснянского месторождения. При этом обнаружены отчетливые признаки регressive-метасоматического преобразования джеспилитов и эвлизытов (с выносом компонентов) в типичные железистые роговики. Кроме того, установлено скарирование джеспилитов — с привносом компонентов и почти полным переходом магнетитового железа в силикатную форму.

ГЕОЛОГИЯ И СТРУКТУРА ТРОСНЯНСКОГО МЕСТОРОЖДЕНИЯ

Троснянское месторождение расположено в северной части Белгородско-Брянской рудоносной зоны КМА и входит в состав Михайловского рудного района (рис. 3). По совокупности геофизических и геолого-петрографических данных, здесь оконтурена складчатая толща железистых кварцитов, которая образует на поверхности докембрийского фундамента широтный овал размером 1,0×1,6 км. Такая форма хорошо согласуется с распределением на картах изодинам свыше 12—14 тыс. гамм. Структурная скважина 2922 вскрыла четыре железорудных толщи, три из которых являются перемещенными частями од-

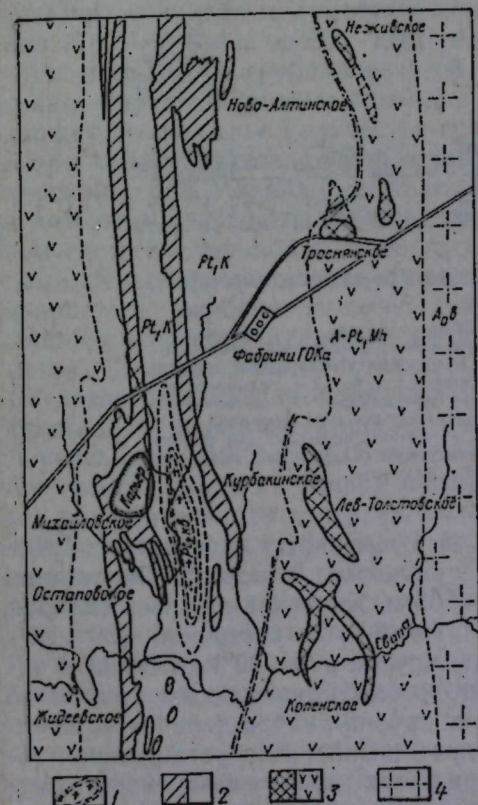


Рис. 3. Геологическая карта Михайловского рудного района КМА (НИИКМА, 1975 г.).

1 — эфузивные породы курбакинской серии, приуроченные к эпицентру Михайловско-Курбакинского палеовулкана, 2 — железисто-сланцевая формация курской серии (нижний протерозой) с толщами железистых кварцитов (штриховка), 3 — железисто-метабазитовая формация михайловской серии (архей — нижний протерозой) с обособленными толщами железистых кварцитов, 4 — гнейсы обоянской серии (архей).

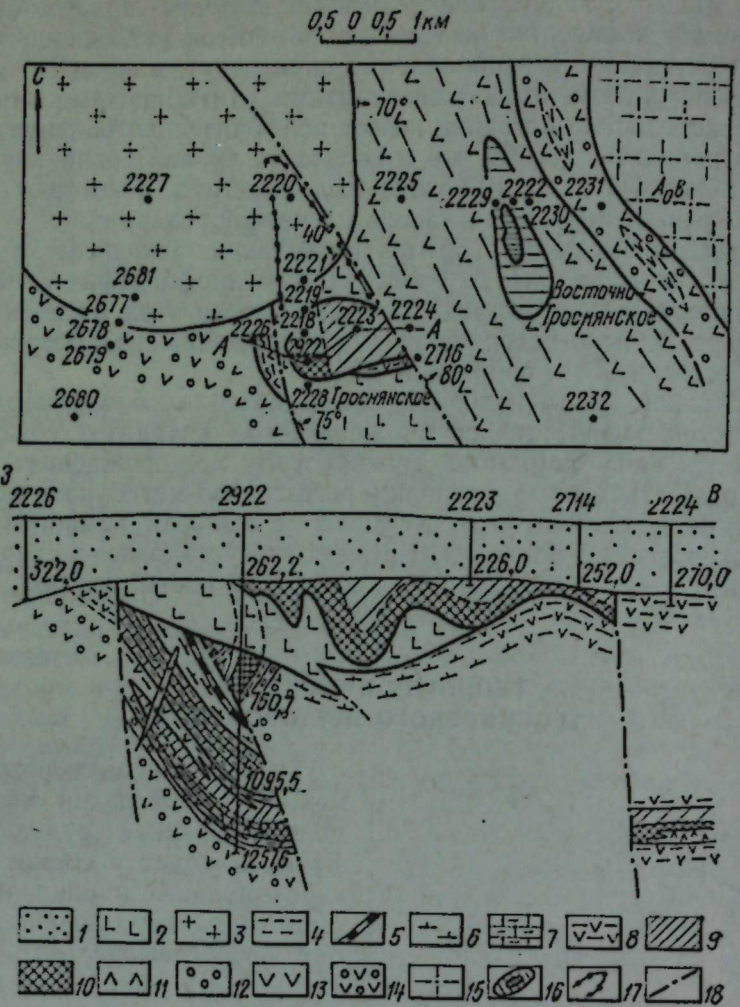


Рис. 4. Схема геологического строения Троснинского месторождения.

1 — осадочные породы чехла, 2 — габбро-долериты, 3 — граниты, 4 — филлитовые сланцы, 5 — такониты железисто-сланцевой формации, 6 — контактовые гнейсы, 7 — кальцифиры и карбонатно-кварцевые породы, 8 — биотит-амфиболовые и двуслюдянные сланцы, 9 — джеспилиты и эвлизиты железисто-метабазитовой формации, 10 — ортоамфиболовые, 11 — конгломераты, 12 — метабазиты, 13 — туфопесчаники, 14 — гнейсы обоянской серии, 15 — контуры магнитных аномалий (на плане), 16 — предполагаемая граница распространения железистых кварцитов под гранитами, 17 — разломы.

ного и того же складчатого тела (рис. 4). Всего вкрест профиля Троснинского месторождения намечается три-четыре складки. Расстояние между осями складок составляет 150—300 м. Крутизна крыльев складок отчетливо уменьшается от западной ($70\text{--}80^\circ$) к восточной ($30\text{--}10^\circ$) части структуры. Поперечные разрывы крутой ($75\text{--}80^\circ$) складки в западной части структуры произошли по субмеридиональным разломам, а также под воздействием трещинной интрузии габбро-долеритов мамоново-троснинского комплекса (верхний протерозой). Как установлено, западная часть рудной толщи характеризуется преимущественным развитием существенно магнетитовых джеспилитов, железистых роговиков

и эвлизитов, а в восточной половине преобладают железнослюдково-магнетитовые джеспилиты с зеленой слюдой и щелочными амфиболами.

Железистые кварциты секутся многочисленными жилами гранитного состава, которые, видимо, являются апофизами расположенного севернее крупного батолита среднепротерозойских плагиогранитов. Судя по структурным наблюдениям (скв. 2714 и 2715), верхняя рудная толща полого (под углом $10\text{--}30^\circ$) погружается к северу. В этом же направлении наблюдается снижение интенсивности магнитного поля. По совокупности геолого-структурных и геофизических данных, предполагается, что южный контакт plutона имеет вид надвига с падением к северу под углом $30\text{--}40^\circ$ и перекрывает ядро Троснинского месторождения почти наполовину (до скв. 2220). В этом случае общая протяженность Троснинской структуры по профилю оценивается в $2,5\text{--}3,0$ км (при ширине 1,6 км). Основная рудная толща с запада и востока ограничена крупными разломами с амплитудой вертикального перемещения блоков пород в 200—500 м. В западной части Троснинского месторождения, по-видимому, сохранился почти ненарушенный стратиграфический разрез курской и михайловской серий, который по скв. 2922 устанавливается с глубины 760,7 м. По характерным ассоциациям железистых кварцитов и вмещающих пород нами выделяются две рудные формации: железисто-сланцевая и железисто-метабазитовая.

ТАКОНИТЫ ЖЕЛЕЗИСТО-СЛАНЦЕВОЙ ФОРМАЦИИ

Железисто-сланцевая формация (курской серии нижнего протерозоя) представлена маломощной толщей амфиболовых таконитов (интервал 776,1—786,3 м по скв. 2922) с типичной для этой петрографической группы средне- и грубополосчатой текстурой (свита K_2). Покрывающие гранат-биотит-кварцевые сланцы и гнейсовидные породы (свита K_3) содержат повышенное количество графита, что сближает их по составу со слабо метаморфизованной покрывающей углисто-сланцевой толщей K_3 курской серии Михайловского месторождения (расположенного в 15 км к юго-западу). Подстилающие породы K_1 на Троснинском месторождении сложены мощной толщей гнейсовидных слюдистых сланцев и пачками переслаивающихся метаморфизованных биотитовых, карбонатно-кварцевых, карбонатно-амфиболовых и амфибол-биотит-доломитовых сланцев с очень изменчивым количеством кварца, амфиболов и карбонатов. Сходные кварц-биотит-карбонатные сланцы разделяют верхнюю (железисто-сланцевая формация) и нижнюю (железисто-метабазитовая формация) толщи железистых кварцитов Дичининского месторождения (Гусельников, 1972 а, б). В восточной части Михайловского района карбонатные породы массивной и линзовидно-слоистой текстур, по-видимому, широко развиты в верхах михайловской серии архей-нижнепротерозойского возраста (Полищук и др., 1970). Таким образом, перед накоплением железорудной толщи курской серии в Белгородско-Брянской рифт-эвгеосинклинали местами происходило отложение мощной (около 150 м) пачки кремнисто-карбонатных и карбонатно-кремнистых пород.

Таконитовая залежь курской серии Троснинского месторождения со значительным угловым несогласием (30°) залегает на подстилающих сланцах и с еще большим ($30\text{--}50^\circ$) несогласием перекрывает толщей биотит-кварцевых пород. Каких-либо следов размыва при этом не фиксируется. В кровле рудной залежи установлены четкие следы скарнирования покрывающих сланцев с образованием типичных амфибол-пирок-

сеновых и рудных скариев крупнокристаллического строения. Местами в этих скариах содержится до 10—20% сульфидов и 15—25% магнетита.

Таконит Троснянского месторождения слагает толщу мощностью около 10 м и характеризуется довольно равномерной макрополосчатостью (2—5 мм), почти одинаковой для рудных и амфибол-кварцевых слоев. Структура — отчетливо разнозернистая, с заметным укрупнением минералов (0,05—1,0 мм) и повышенной агрегатностью. Состав таконитов несложен: магнетит — 30—40, кварц — 20—30, амфиболов — 32—35, второстепенные (сульфиды, карбонат, сфен, апатит и др.) — 2—5%. Даже при макроизучении породы хорошо видно, что рудные полоски в большинстве случаев окаймляются желтовато-коричневым и желтоватым амфиболовом, который затем сменяется кварцем. Среднее содержание общего железа (Fe) в таконитах составляет 39,47%, а магнетитового (Fem) — 26,71%.

В шлифах обнаруживается значительно большая текстурная неоднородность таконитов — в них прослеживаются серии прерывистых рудных полосок и обособлений мощностью менее 1—2 мм. Текстура таконитов обычно массивноврапленная, ленточная, лапчато-сростковая, реже ситовидная (субграфическая). Наиболее распространены ксеноморфные выделения рудного минерала, обусловленные, видимо, повышенным контактовым метаморфизмом таконитов. При этом основная масса магнетита представлена зернами 0,1—0,2 мм. Ленточные агрегации имеют длину до 1,2—2 мм при поперечнике 0,5—1,0 мм. Мелкие идиоморфные выделения магнетита в кварце варьируют от 0,01 до 0,05 мм. В целом крупность и степень агрегации магнетита сильно колеблются, а сплошных рудных обособлений почти не наблюдается. Основная масса магнетита отчетливо обволакивается амфиболами (каемочные текстуры).

Амфиболы относятся преимущественно к трем разновидностям: ферро-актинолиту, куммингтонит-грюнериту и рибекиту. Актинолит образует каечатые выделения вокруг магнетита (полоски) мощностью 0,2—0,4 мм. Иногда наблюдаются сплошные сростки пластинчатого и лучистого актинолита размером до 0,4—1,6 мм и более. Выделяются также разобщенные призмочки раннего амфибола (до 0,5—1,0 мм в длину при поперечнике около 0,2 мм), центральные части которых почти нацело замещены магнетитом, реже — магнетитом и кварцем. Желтоватый грюнерит (размером 0,02—0,1 мм) развит в основном листоватыми пятнами среди более крупных агрегатов актинолита, а также в обособлениях с густоврапленным магнетитом. Иногда ассоциирует со спутанно волокнистыми скоплениями куммингтонита. Игольчатые выделения синего щелочного амфибола (рибекит) встречаются спорадически и в небольшом количестве.

Кварц почти повсеместно перекристаллизован и обладает характерными метаморфическими формами — почти изометричными или слабо удлиненными, с извилисто-зазубренными границами. Лишь в редких случаях встречаются порфировидные выделения идиоморфного столбчатого кварца длиной 1—2 мм при поперечнике 0,2—0,1 мм. Последние обычно отличаются повышенным количеством мельчайших твердых кристалликов апатита, сфена и магнетита, а также струйчатыми скоплениями газово-жидких включений. Основная масса метаморфического кварца характеризуется поперечными размерами до 0,05—0,2 мм. Более крупные скопления этого минерала ассоциируют с магнетитом и акти-

Таблица 1
Химические анализы железистых кварцитов Троснянского месторождения, вес. %

Компонент	33	41	36	33/36	16	18	16/18	28	30
Fe	37,35	33,18	37,89	37,62	43,81	39,50	41,66	39,47	3,55
Fem	32,34	5,89	27,78	30,06	37,37	30,39	33,90	26,71	0,14
FeO	18,40	35,10	13,09	15,7	22,43	22,68	26,38	3,93	
Fe ₂ O ₃	32,97	8,45	39,63	36,3	37,75	30,99	34,37	27,12	0,77
SiO ₂	41,09	39,64	41,00	41,04	37,0	40,34	38,67	39,82	58,33
Al ₂ O ₃	0,87	6,81	0,85	0,86	0,20	0,68	0,44	0,60	12,30
CaO	2,15	2,00	1,15	1,65	0,80	1,79	1,30	2,51	12,00
MgO	2,8	2,78	1,39	2,09	0,90	1,49	1,20	2,29	3,70
TiO ₂	0,02	0,17	0,03	0,02	0,06	0,03	0,04	0,02	0,40
MnO	0,047	0,09	0,04	0,043	0,20	0,04	0,12	0,06	0,19
P ₂ O ₅	0,013	0,17	0,02	0,016	—	0,03	0,03	0,22	0,013
K ₂ O	0,27	1,50	1,13	0,7	0,08	0,16	0,12	0,08	2,40
Na ₂ O	0,12	0,83	0,67	0,40	0,40	0,10	0,25	0,10	2,05
CO ₂	0,02	0,02	0,04	0,03	0,01	0,10	0,06	0,03	2,71
S	0,02	0,21	0,04	0,03	0,01	0,02	0,01	0,16	—
П. п. п.	0,92	2,60	0,92	0,92	0,50	1,65	1,08	1,28	3,58
Сумма	99,65	100,14	99,92	—	99,72	100,24	—	100,48	99,66

Примечание. Железисто-метабазитовая формация: пробы К33, 36, 33/36 — джеспиллит зеленовслюдо-магнетитовый; 41 — скари (по джеспилиту); 16, 18, 16/18 — железистый роговик; железисто-сланцевая формация: 28 — таконит амфиболовый, 30 — карбонат-кварц-биотитовый сланец. Анализы выполнены в НИИКМА Е. Г. Романенко и С. Я. Требуковой.

иолитом повышенной крупности, относящихся к наиболее поздним стадиям кристаллизации.

Фазово-химический анализ амфиболового таконита (K_2) Троснянского месторождения (табл. 1) обнаруживает концентрации магнетитового железа (26,7%), аналогичные содержаниям Fem в карбонатном таконите Михайловского месторождения. Остальная часть Fe (около 10—13%) связана исключительно с амфиболами (на Михайловском — с карбонатами). Сопоставление химических и петрографических данных, по-видимому, свидетельствует в пользу метаморфического преобразования карбонатных таконитов в их амфиболовую разновидность. Концентрации Fem и Fe общего при этом практически не изменились, но карбонатное железо нацело перешло в силикатную форму (связано в амфиболах).

ЖЕЛЕЗИСТЫЕ КВАРЦЫ ЖЕЛЕЗИСТО-МЕТАБАЗИТОВОЙ ФОРМАЦИИ

К железисто-метабазитовой формации (архей — нижний протерозой) относится почти ненарушенный стратиграфический разрез по скв. 2922, начиная с глубины 1 035 м (рис. 4). В связи со складчатостью и перемещениями по разлому рудная толща приподнята и повторяется по структурной скважине еще дважды, но уже на меньших глубинах (524,9—670,5 и 260,2—282,5 м). Истинная мощность рудной толщи колеблется от 80 до 120 м.

Покрывающая толща (Mh_3) в ненарушенном стратиграфическом разрезе представлена (сверху вниз): кварц-биотитовыми, кварц-пла-

тиоклаз-биотитовыми, гранат-биотит-кварцевыми и мусковит-биотит-кварцевыми сланцами темно-серой и серой окраски, массивной, пятнистой и неяснополосчатой текстуры (скв. 2922, интервал 1035,5—1082,6 м). В этом же направлении изменяется структура породы: от микрозернистой до крупнозернистой и мелкокристаллической (до 1—2 мм). Наиболее крупнозернистой структурой отличается слой кварц-мусковит-биотитовых сланцев, залегающий между главной рудной толщой и мало мощным пропластком джеспилитов. Контактовое воздействие выразилось также в повышенной гнейсовидности этих пород с формированием очковой текстуры (послойные округлые скопления кварца и других минералов), а также в сульфидизации, мусковитизации и окварцевании. Очковые выделения кварца местами достигают 20—25 мм в поперечнике (длина в 3—5 раз больше). Густая сеть прожилков кварца концентрируется в экзоконтакте, а также в верхней части главной железорудной толщи. Иногда рассматриваемые породы приобретают облик типичных метасоматитов с разнообразной минерализацией (платиоклаз, микроклин, карбонаты, амфиболы, мусковит, рутил, андалузит, сульфиды, апатит, флюорит). Местами отмечаются прожилковые скопления графита. Покрывающая толща сланцев характеризуется средними (верхи) и крутыми (низы) углами падения слоистости (от 40 до 60°). Напротив, нижезалегающей рудной толще свойственна очень пологая слоистость (до 20—25°). Таким образом, между покрывающими породами и рудами наблюдается угловое несогласие в 20—35°.

Главная рудная толща (M_{H_2}) Троснянского месторождения представлена эвлизитами, железистыми роговиками и существенно магнетитовыми джеспилитами. Она вскрыта в верхней, средней и нижней частях разреза скв. 2922. Верхняя часть складчатой толщи (интервал 262—282,5 м) приподнята от своего первоначального положения на 700—800 м, размещается непосредственно под осадочной толщей и поэтому находится в зоне окисления мощностью 15—20 м. При этом западная часть приподнятого участка сложена преимущественно железистыми роговиками, а восточная — джеспилитами. В последних количество первичной железной слюдки постепенно возрастает в восточном направлении (до 15—20%).

Средняя часть рудной толщи (интервал 524,9—672,4 м) размещается в зоне интенсивного контактового метаморфизма и сложена преимущественно железистыми роговиками и в меньшей мере — магнетитовыми джеспилитами. Пироксен-амфиболовые эвлизы, по-видимому, нацело изменены и превращены в типичные железистые роговики. В целом железистые кварциты отличаются исключительно высокой качественной характеристикой. Например, в основной массе железистых роговиков содержание Fe составляет 38—45%, а F_{eM} — 30—37%. В джеспилитах содержание Fe — 35—40%, F_{eM} — 24—26%, а местами и выше (рис. 5).

В участках kontaktового метаморфизма в джеспилитах происходит мушкетовизация железной слюдки и грануляция — укрупнение рудных зерен. Одновременно наблюдается привнос Fe до 3—5%, обогащение F_{eM} на 5—10%, вынос свободного кремнезема или преобразование его в связанную форму (амфиболы).

Несмотря на заметную перекристаллизацию минералов и другие метасоматические и метаморфические изменения железистых кварцитов, их первичная петрографическая природа устанавливается отчет-

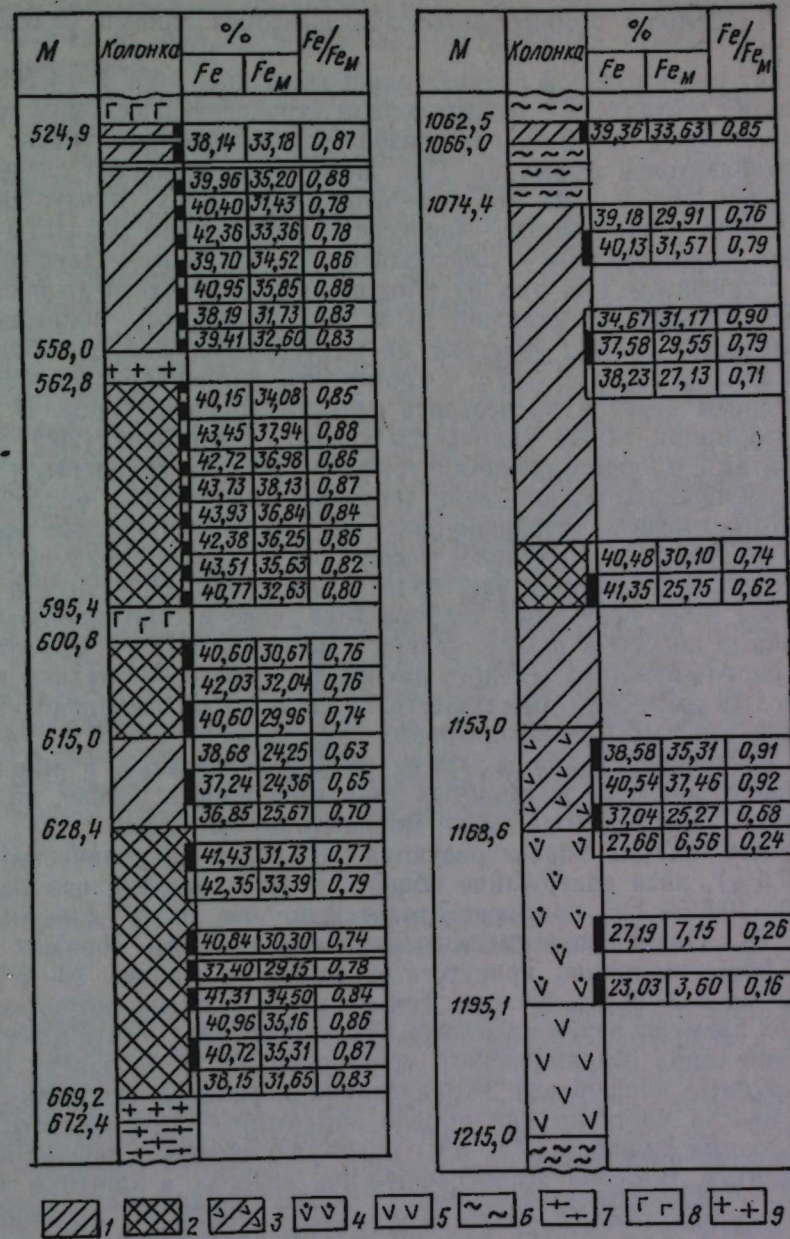


Рис. 5. Сопоставление петрографических колонок среднего и верхнего тектонических блоков железисто-метабазитовой формации Троснянского месторождения.

1 — джеспилит зеленослюдово-магнетитовый, 2 — железистый роговик, 3 — эвлизит пироксен-амфиболовый, 4 — амфиболит магнетитовый, 5 — амфиболит безрудный, 6 — сланцы кристаллические, подстилающие, внутрирудные и покрывающие, 7 — гнейсы и гнейсовидные породы, 8 — габбро-долериты, 9 — граниты и плагиограниты.

ливо: это среднезернистые железистые роговики или мелкозернистые джеспилиты с малым количеством железной слюдки (3—5%). При этом обнаруживается тесная пространственная и генетическая связь

между указанными петрографо-технологическими типами бедных железных руд.

Нижняя часть главной рудной толщи (интервал 1 062,5—1 168,6 м), по-видимому, находится в ненарушенном стратиграфическом залегании и позволяет более полно охарактеризовать типичный парагенезис железисто-метабазитовой формации. При этом устанавливается следующая вертикальная зональность строения формации (сверху вниз): двуслюдянные сланцы — джеспилиты — пироксен-амфиболитовые эвлизиты — амфиболиты магнетитовые — амфиболиты безрудные — двуслюдянные сланцы с графитом (см. рис. 5). Мощность рудной части этой стратиграфической колонки составляет 94 м. Как отмечалось, покрывающие кристаллические сланцы залегают на железорудной толще с большим угловым несогласием (20 — 35°), а кроме того, они перекристаллизованы с укрупнением зерен и подверглись сильному окварцеванию. В низах рудной формации также намечается угловое несогласие (20°) между амфиболитами и подстилающими графито-слюдисто-кварцевыми сланцами. Если принять во внимание вертикально-плойчатые обособления жилковатого графита (первично-диагенетические карбонатные выделения) в этих сланцах, то угловое несогласие и резкая смена литологического состава становятся еще более очевидными. При этом в эндоконтактовой зоне безрудных амфиболитов повсеместно наблюдаются субпослойные полосы и шлиры кварца с небольшой (1—2 мм) оторочкой из криптозернистого зеленого амфиболя. Переход от рудной толщи к оруденелым амфиболитам осуществляется через маломощный (3,6 м) пропласток пироксен-актинолитового эвлизита ($\text{Fe} = 37\%$, $\text{Fem} = 25,3\%$). Внутренние границы между петрографическими и минеральными разновидностями железистых кварцитов иногда резкие, но чаще постепенные, зоны перехода имеют мощность до 0,5—1,0 м.

Эвлизиты обычно характеризуются повышенным количеством Fe (35,3—37,5%), хотя содержание общего железа сравнительно невысокое (37,0—40,5%) и примерно такое же, что и в джеспилитах (см. рис. 5). Однако в последних концентрация Fem гораздо ниже (26,0—31,6%), постоянно присутствует железная слюдка (3—5%), а рудное зерно в 3—5 раз мельче. Тем не менее в обоих петрографических типах размеры зерен магнетита намного крупнее, чем в джеспилитах курской серии Михайловского месторождения. В эвлизитах сохранились крупные порфировые вкрапленники пироксена (диопсид-геденбергит), иногда частично или нацело замещенные актинолитом. Эгирин и щелочные амфиболы (1—3%) преимущественное развитие имеют в джеспилитах. В обеих петрографических группах в качестве второстепенных и акцессорных встречаются пирит, пирротин, халькопирит, титаномагнетит, сфеин, апатит, кальцит и другие минералы.

Магнетитовые амфиболиты отличаются повышенным количеством железа (28—23%), которое постепенно уменьшается к низам эфузивной залежи. В этом же направлении снижаются концентрации Fem (от 10—8 до 3%). Местами среди рассматриваемых амфиболитов наблюдаются шлиры магнетитовых джеспилитов и пироксен-амфиболитовых эвлизитов, а также скопления скарнового магнетита (в ассоциации с крупнокристаллическим актинолитом, биотитом, кальцитом). Низы эфузивно-амфиболитовой толщи несут только редкую рассеянную вкрапленность магнетита. По указанной причине во многих случаях эти образования диагностируются как «безрудные кварц-амфиболитовые породы» или «безрудный кварцит». В результате создается иллюзия

«постепенного стратиграфического перехода» от железистых кварцитов к безрудным кварцитам и сланцам (по аналогии с железисто-сланцевой формацией).

Из приведенного можно сделать вывод, что эфузивные амфиболиты, эвлизиты и железистые кварциты Троснянского месторождения образуют тесный парагенезис, который не имеет генетической, а также стратиграфической связи с подстилающими и покрывающими слюдистыми и слюдисто-графитисто-кварцевыми сланцами. Указанная закономерность подтверждается также несогласным залеганием рассматриваемой железорудной толщи на породах различного состава (с запада на восток): амфиболитах, биотитовых и плагиоклаз-биотито-гнейсах (скв. 2922, глубина 672,4 м) и двуслюдянных кристаллических сланцах (скв. 2715). В этом отношении Троснянское месторождение обнаруживает большое сходство с железисто-метабазитовой формацией Фатеевской диагональной структуры (Гусельников и др., 1976).

Из сопоставления геологических разрезов (см. рис. 5) следует, что в составе среднего блока рудной толщи размещается несколько пластов железистых роговиков, одновременно уменьшилась доля джеспилитов и полностью исчезли эвлизиты (по сравнению с нижним блоком). Еще большее развитие железистые роговики имеют в западной части верхнего блока железисто-метабазитовой формации. Из анализа геолого-структурной обстановки Троснянского месторождения можно заключить, что формирование железистых роговиков происходит за счет исходных эвлизитов и джеспилитов под контактовым воздействием интрузии габбро-долеритов (см. рис. 4). Чем ближе находится рудная толща к контакту изверженных пород, тем выше в ней доля железистых роговиков. Деятельность послемагматических растворов обусловила также отмеченное выше скарнирование рудных толщ и вмещающих пород.

БАЛАНС ВЕЩЕСТВА ПРИ СКАРНИРОВАНИИ И МЕТАСОМАТОЗЕ

На основе детального изучения шлифов установлены вполне определено признаки вторичного метасоматического изменения и контрастность петрографических типов железистых кварцитов Троснянского месторождения (рис. 6). В частности, джеспилиты оказываются в той или иной мере скарнирования, а иногда почти полностью превращены в маломощный (0,1—0,5 м) сравнительно высокотемпературный скарн крупнокристаллического строения. Пироксен-амфиболитовые эвлизиты и джеспилиты в зонах разлома и в контакте с интрузивными породами подверглись регressiveному метасоматозу с образованием типичных железистых роговиков. Эти метасоматические явления в основном обусловлены становлением поздней интрузии габбро-долеритов мамонотроснянского комплекса, изученного рядом исследователей (Захаров, Крестин, 1969; Полищук и др., 1970; Чернышов, Бочаров, 1972).

Для выяснения закономерностей контактового метасоматоза использован рациональный вариант атомно-объемного метода сравнения химического состава горных пород (Рудник, 1966). «Формульные» количества атомов (N) и привнос-вынос компонентов в расчете на геометрический объем породы ($10\ 000 \text{ A}^3$) определялись по данным табл. 1 с учетом массы вещества (табл. 2). Из анализа всех представленных ма-

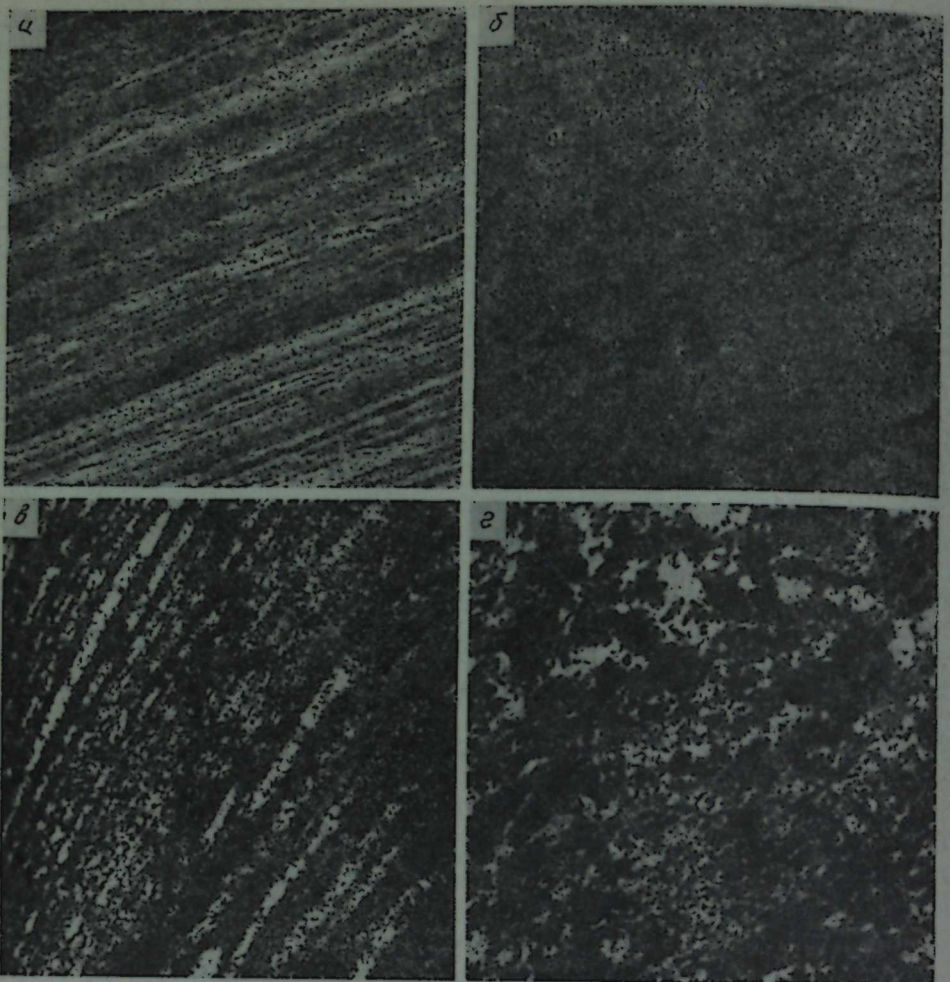


Рис. 6. Макротекстуры железистых кварцитов.

a — джеспилит тонкополосчатый, Троснянское месторождение, $\times 2$; *b* — железистый роговик метасоматический, массивно-вкрашенной и неяснополосчатой текстуры, Троснянское месторождение, $\times 2$; *c* — железистый роговик ортомагматический, линзовидно-полосчатый, Бесединское месторождение; *d* — эвлизит пироксен-амфиболовый, массивного сложения, Бесединское месторождение.

териалов следует сделать вывод о существенно различном характере метасоматических реакций при образовании скарнов и железистых роговиков.

При скарнировании джеспилитов отчетливо наблюдается привнос Ti , Al , Fe^{2+} , Mn , Mg , Ca , Na , K , P , H , S и вынос Si , Fe^{3+} и C . Минералогически это наиболее резко выражалось в новообразовании больших количеств железистых амфиболов (ферроактинолита), биотита, граната, в резком уменьшении содержаний магнетита (в среднем с 42 до 8%) и кварца (с 31 до 4%). При этом лишь незначительная часть кремния и Fe^{3+} выносилась из породы за пределы контактово-метасоматической зоны. Преобладающая масса свободного кремнезема оказалась связанный в силикатную форму (актинолит, биотит, плагиоклаз и др.). Одновременно Fe_2O_3 восстанавливалось до FeO и в таком

виде входило в состав новообразованных силикатов. Концентрация общего железа уменьшилась незначительно: с 38 до 32%.

Скарновые тела на Троснянском месторождении имеют жилообразную и линзовидную формы. Они образуются не только по джеспилитам, но и в зонах контактов железистых кварцитов с вмещающими породами, а также непосредственно в подстилающих и покрывающих породах. Границы скарнов, как правило, резкие, иногда с постепенным переходом, волнистые или сравнительно прямолинейные. Распределение метасоматических минералов неравномерное, поэтому зональность в скарнах выражена не отчетливо. Скарновый магнетит, как правило, характеризуется повышенной крупностью зерен (0,5—2 мм). Однако в целом скарнирование джеспилитов приводит к значительному усложнению минерального состава и к снижению технологической ценности руд.

Метасоматоз джеспилитов приводит также к формированию железистых роговиков. При этом отмечается привнос значительных количеств Ti , Fe^{2+} , Mn , P , H , C и вынос Si , Mg , Ca , Na , K и S . Минералогически это выражалось в существенном разложении первичных силикатных минералов (амфиболы, слюды) и в растворении тонкозернистого кварца, в исчезновении железной слюдки и появлении позднего метасоматического магнетита. Местами железная слюдка замещена крупнопластинчатым мушковитом. Однако перекристаллизация и укрупнение зерен основной массы кварца и магнетита, по-видимому, не имели большого значения, потому что гранулометрический состав этих минералов в джеспилитах и железистых роговиках Троснянского месторождения различается незначительно. Характерна пластообразная форма новообразованных железистых роговиков, унаследованная

Таблица 2
Баланс вещества при метасоматозе железистых кварцитов Троснянского месторождения

Компонент	N_i^V , атомы			Привнос (+) и вынос (-), %	
	41	33/36	16/18	41—33/36	16/18—33/36
Si	131	147,3	143	-11	-3
Ti	0,48	0,04	0,09	+1100	+125
Al	26,6	3,70	1,96	+619	-46
Fe^{3+}	21,1	98,5	95,7	-78	-3
Fe^{2+}	97,1	47,1	70,0	+106	+49
Mn	0,18	0,09	0,31	+100	+244
Mg	13,6	11,2	6,7	+21	-40
Ca	7,2	6,3	5,1	+13	-19
Na	5,4	2,6	1,8	+107*	-31
K	6,4	3,0	0,5	+113	-83
P	0,40	0,09	0,13	+344	+44
H	52,3	20,5	25,2	+156	+23
C	0,09	0,15	0,31	-40	+106
S	1,39	0,19	0,07	+631	-63
O	490	527	530	-7	+0,5
Сумма	853	868	881	-1,7	+1,5
Плотность, g/cm^3	330	3,57	3,70	-	-

от исходных джеспилитов. В целом метасоматические процессы привели к упрощению минерального состава железистых роговиков, некоторому обогащению магнетитом (на 4—8%) и значительному повышению технологической ценности руд.

Таким образом, при сравнении баланса вещества отчетливо выявляется неодинаковый характер метасоматических процессов, проявленных при скарнировании джеспилитов и формировании железистых роговиков. Для скарнов обнаруживается отчетливая тенденция к привносу алюминия, магния, кальция, натрия и калия. Напротив, для железистых роговиков установлен вынос этих элементов. Главнейшие различия при скарнировании и метасоматозе джеспилитов следующие:

Скарнирование

1. Вынос Si, Fe³⁺, С
2. Привнос Al, Mg, Ca, Na, K, S, а также Ti, Fe²⁺, Mn и Р
3. Образование силикатов, растворение кварца и магнетита
4. Типоморфные минералы: крупнокристаллические актинолит, гранат, биотит, сульфиды
5. Щелочная парагенезис минералов

Регрессивный метасоматоз

1. Вынос Al, Mg, Ca, Na, K, S
2. Привнос Ti, Fe²⁺, Mn, Р, С
3. Разложение силикатов, кристаллизация магнетита
4. Типоморфные минералы: мелко- и среднезернистые карбонаты, кварц, магнетит, пластинчатый мушкетовит
5. Парагенезис минералов — кислотный

Сопоставление этих данных и анализ геолого-структурной обстановки месторождения позволяют сделать вывод, что скарнирование носит преимущественно характер инфильтрационного метасоматоза с привносом вещества и обусловлено воздействием сравнительно высокотемпературных щелочных растворов. Напротив, формирование железистых роговиков более отвечает диффузионному метасоматозу под действием кислых растворов, приводящих к выносу основных пордообразующих компонентов (Al, Mg, Ca, Na, K) и кристаллизации (перекристаллизации) окисных минералов. Такой вывод полностью согласуется с известными представлениями Д. С. Коржинского (1957, 1973) о щелочно-кислотной эволюции постмагматических растворов. На примере Алтас-Саянской области (Индуков, 1976, стр. 69) показано, что появление ранних щелочных растворов обычно связано с надкритическим состоянием глубинных флюидов, а «падение давления приводит к полному проявлению кислотных парагенезисов». В условиях рассмотренного нами Троснянского месторождения КМА постмагматические растворы генетически связаны с трещинной интрузией габбро-долеритов мамонотроснянского комплекса (верхний протерозой).

Выводы

1. В железисто-метабазитовой формации КМА местами проявлены высокотемпературное скарнирование и регрессивный метасоматоз, обусловленные диффузионно-инфильтрационным воздействием постмагматических растворов щелочного и кислотного составов.

2. Скарнирование (джеспилитов) характеризуется инфильтрационным привносом значительных количеств Al, Mg, Ca, Na, K, S, а также Ti, Fe²⁺, Mn, Р. Этот процесс приводит к растворению кварца и маг-

нетита и к переводу свободного кремнезема и окислов железа в силикатную форму (ферроактинолит, гранат, биотит и др.).

3. Регрессивный диффузионный метасоматоз обуславливает формирование железистых роговиков. При этом происходит вынос Al, Mg, Ca, Na, K, S, разложение силикатных минералов, небольшой привнос железа и кристаллизация метасоматического магнетита.

4. Минерало-технологические свойства скарнированных джеспилитов значительно ухудшаются за счет преобразования окислов железа в силикатные минералы, регрессивный же метасоматоз (с выносом главных пордообразующих компонентов), напротив, способствует появлению легкообратимых железистых роговиков.

5. Минерало-петрографические и петрохимические особенности орто-магматических (курско-бесединские и троснянские) и регрессивно-метасоматических (троснянские) железистых роговиков нередко оказываются довольно близкими (конвергентными). Однако этим генетическим типам железных руд свойственны вполне определенные микроструктурные, гранулометрические и геохимические различия. Кроме того, метасоматические железистые роговики формируются в основном за счет гидротермального преобразования исходных пироксен-амфиболовых эвлизитов и джеспилитов в экзоконтактовой зоне интрузий. Напротив, ортомагматические типы являются результатом интрузивной (железисто-габброндной формации) или эфузивной (железисто-метабазитовая и железисто-сланцевая формации) кристаллизации рудосиликатных расплавов.

6. Установление петрографической принадлежности и полигенности железистых кварцитов имеет важнейшее значение для эффективного направления поисков и прогнозной технологической оценки новых месторождений легкообогащимых железных руд в пределах КМА и других рудных провинций.

ЛИТЕРАТУРА

- Геологический словарь, т. 2. М., «Недра», 1970.
 Гусельников В. Н. Опыт минералотермометрического расчленения железистых кварцитов КМА на генетические и геолого-технологические типы.— Вопросы рудничной геологии, ч. 1. Белгород, 1970 (ВИОГЕМ).
 Гусельников В. Н. Железистые роговики Курско-Бесединского района.— Новое о рудах КМА. Губкин, 1971 (НИИКМА).
 Гусельников В. Н. Генетические проблемы железорудных формаций КМА. М., «Наука», 1972а.
 Гусельников В. Н. Закономерности размещения и рудоносность железокремнистых формаций КМА. Комплексное развитие КМА, вып. 8. Губкин, 1972б (НИИКМА).
 Гусельников В. Н., Волков Г. И., Джуринский А. Ф. Железисто-метабазитовая формация Фатеевской структуры КМА.— Изв. АН СССР, сер. геол., 1976, № 6.
 Добрецов Н. Л., Соболев В. С., Хлестов В. В. Фации регионального метаморфизма высоких давлений. М., «Недра», 1974.
 Захаров Е. Е., Крестин Е. М. О металлогении центральной части Русской платформы.— Сов. геология, 1969, № 12.
 Илларионов А. А. Петрография и минералогия железистых кварцитов Михайловского месторождения КМА. М., «Наука», 1965.
 Индукаев Ю. В. Некоторые закономерности контактово-метасоматических месторожденийвольфрама, молибдена и меди Алтас-Саянской области.— Материалы по минералогии, петрографии и полезным ископаемым Зап. Сибири и Красноярского края. Томск, Изд-во Томского ун-та, 1976.
 Коржинский Д. С. Режим кислотности постмагматических растворов.— Изв. АН СССР, серия геол., 1957, № 12.

- Стрелкин Д. С. Терминология основного анализа карбонатизированных минералов. М., «Наука», 1971.
- Петрографический словарь. М.: Госгеотехиздат, 1968.
- Шляковский Н. А. Главнейшие закономерности железорудного распределения в докембрии. Воронеж, 1966 (Воронежск. ун-т).
- Шляковский Н. А., Шаголев И. И. Основные черты стратиграфии и закономерности литогенеза в раннем докембрии КМА—Липецка в докембрии и фундаменте Воронежской антиклинали. Воронеж, 1977 (Воронежск. ун-т).
- Шляпушка В. П., Голиковка И. И., Зайцев Ю. С. и др. Геология, гидрогеология и железные руды бассейна КМА. т. I. М., «Недра», 1970.
- Рудник В. А. Атомно-объемный метод в применении к метасоматическому минерало- и породообразованию. Л.: «Недра», 1966.
- Русанов И. А., Небосенко В. Ф. Гостищевское железорудное месторождение. Воронеж, 1964.
- Соколов Н. А. Промышленные типы железистых кварцитов и некоторые закономерности их размещения в юго-восточной части бассейна КМА. Автореф. канд. дисс. М., 1975.
- Чубакин С. Н. Рудоконтролирующие факторы и районирование территории КМА по степенирудоносности и перспективности. Рудоносность Русской платформы. М.: «Наука», 1965.
- Чернышов Н. М., Бочаров В. Л. Химические составы ультрабазовых и основных пород докембрия Воронежского кристаллического массива. Воронеж, 1972 (Воронежск. ун-т).

Г. И. КНЯЗЕВ, Л. И. ФЕДОРОВСКАЯ

МИНЕРАЛО-ГЕНЕТИЧЕСКИЕ ОСОБЕННОСТИ ЖЕЛЕЗИСТЫХ КВАРЦИТОВ ПЕТРОВСКОГО МЕСТОРОЖДЕНИЯ (КРИВБАСС)

Петровское месторождение железистых кварцитов находится в пределах Правобережного района Кривбасса, в 55 км северо-западнее г. Кривого Рога. Наблюдающиеся здесь магнетитовые кварциты и вмещающие их докембрийские (архейские) метаультрабазиты образуют субмеридионально вытянутый в плане останец площадью $0,4 \times 4$ км² среди гнейсов и мигматитов; падение их крутое ($60-85^\circ$), западное. На южном фланге месторождения железистые кварциты образуют единое рудное тело мощностью 300—350 м. В центральной части и на севере они расщепляются на две узкие параллельные полосы. Мощность западной полосы 100—200 м, восточной — 15—30 м (рис. 1).

По мнению геологов-разведчиков (Коробко, Мороз, Хитрон, 1971), железистые кварциты залегают в синклинальной складке, ось которой погружается в северном направлении. Однако в разрезах по всем разведочным линиям падение пачек железистых кварцитов крутое моноклинальное, и предполагаемое синклинальное их залегание какими-либо структурными элементами не подтверждено (рис. 2).

В контактовых зонах железистых кварцитов с гнейсо-мигматитовым комплексом «ингулецкой» серии повсюду отмечаются постепенные переходы от метаультрабазитов к метасоматическим амфиболитам, а далее с увеличением интенсивности процессов гранитизации — к метасоматическим гнейсам, гранитоидам и мигматитам.

РУДОВМЕЩАЮЩИЕ ПОРОДЫ

Докембрийские породы, вмещающие железистые кварциты, представлены разнообразными по составу метаультрабазитами. Они сохранились на юге и в западной части месторождения в виде узких периферических полос шириной до 30 м, вытянутых вдоль контакта с железистыми кварцитами (см. рис. 1). Встречаются также реликтовые линзы их внутри толщи железистых кварцитов (профили VII, IX). Во многих местах метаультрабазиты по простиранию замещаются железистыми кварцитами; часто они выклиниваются в результате процессов гранитизации и мигматизации (рис. 3, профиль XI).

Метаультрабазиты представлены роговообманковыми и грюнеритовыми мономинеральными породами и их диафторитами, локально-развитыми карбонитизированными и оталькованными серпентинитами, переходящими в метасоматические карбонатные породы, а также tremolититами и актинолититами.

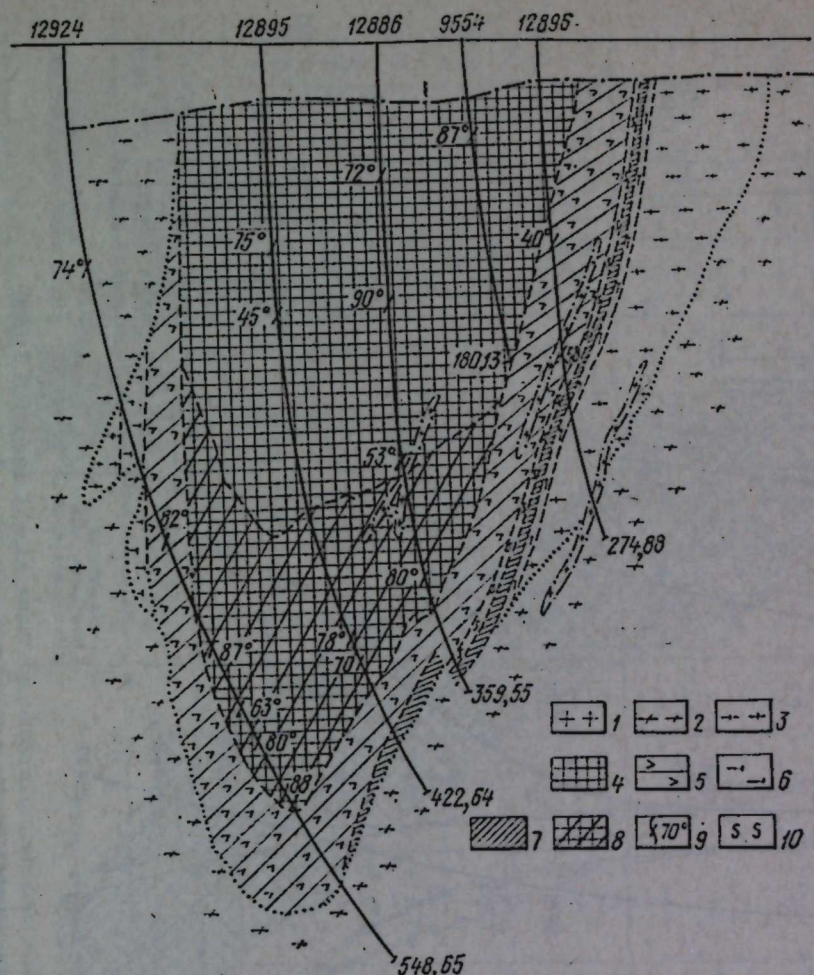
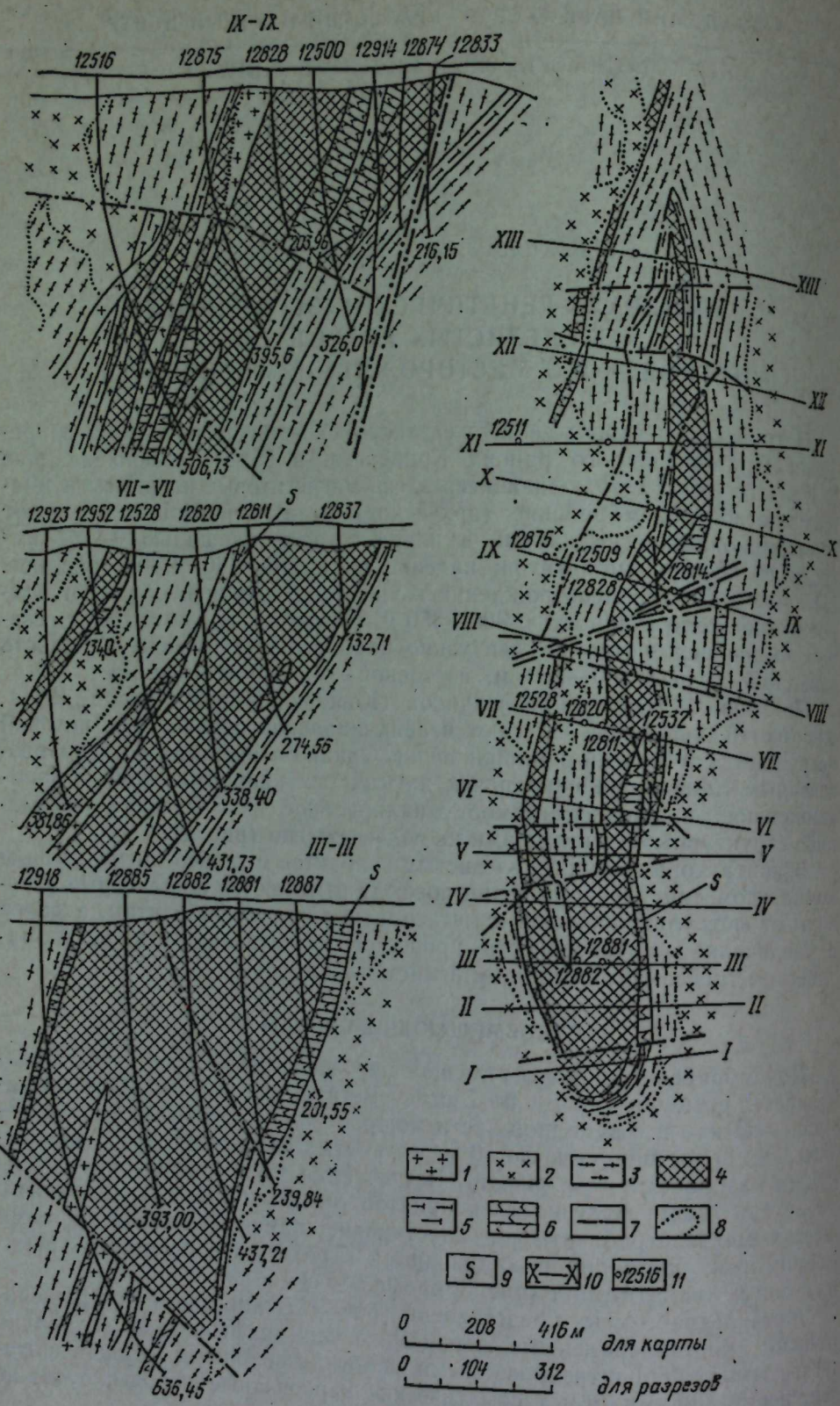


Рис. 2. Геологический разрез Петровского месторождения по линии I—I (масштаб 1:1000).

1 — пегматит розовый; 2 — мигматиты; 3 — гнейсы; 4 — железистые кварциты; 5 — роговообманковые и куммингтонитовые породы; 6 — карбонатные метасоматические породы; 7 — существенно биотитовые сланцы с графитом; 8 — зона перехода амфиболовых пород в железистые кварциты; 9 — замеры направления полосчатости в железистых кварцитах; 10 — зона сульфидной минерализации.

Составлен Б. Е. Хитрон, Н. М. Мороз, М. И. Паршиной.

Куммингтонитовые и роговообманковые сланцы связаны взаимными переходами. Судя по структурам замещения, куммингтонит развивается метасоматически за счет роговой обманки. Структура пород гранобластовая метасоматическая, мелко- и среднезернистая (размер зерен

Рис. 1. Геологическая карта докембрийских пород Петровского месторождения.

1 — пегматит розовый; 2 — мигматиты; 3 — биотитовые, амфибол-биотитовые гнейсы; 4 — магнетитовые кварциты; 5 — гематит-магнетитовые и магнетит-гематитовые кварциты; 6 — силикатно-карбонатные породы (карбонатиты); 7 — tremolитовые, актинолитовые сланцы; 8 — окварцированные графит-биотитовые сланцы; 9 — куммингтонитовые и роговообманковые породы (мономинеральные амфиболиты); 10 — линии геологических разрезов; 11 — разведочные скважины и их номер. Составлена Н. М. Мороз, Б. Е. Хитрон, М. И. Паршиной, Ю. М. Зубаревой с дополнениями Л. И. Федорской.

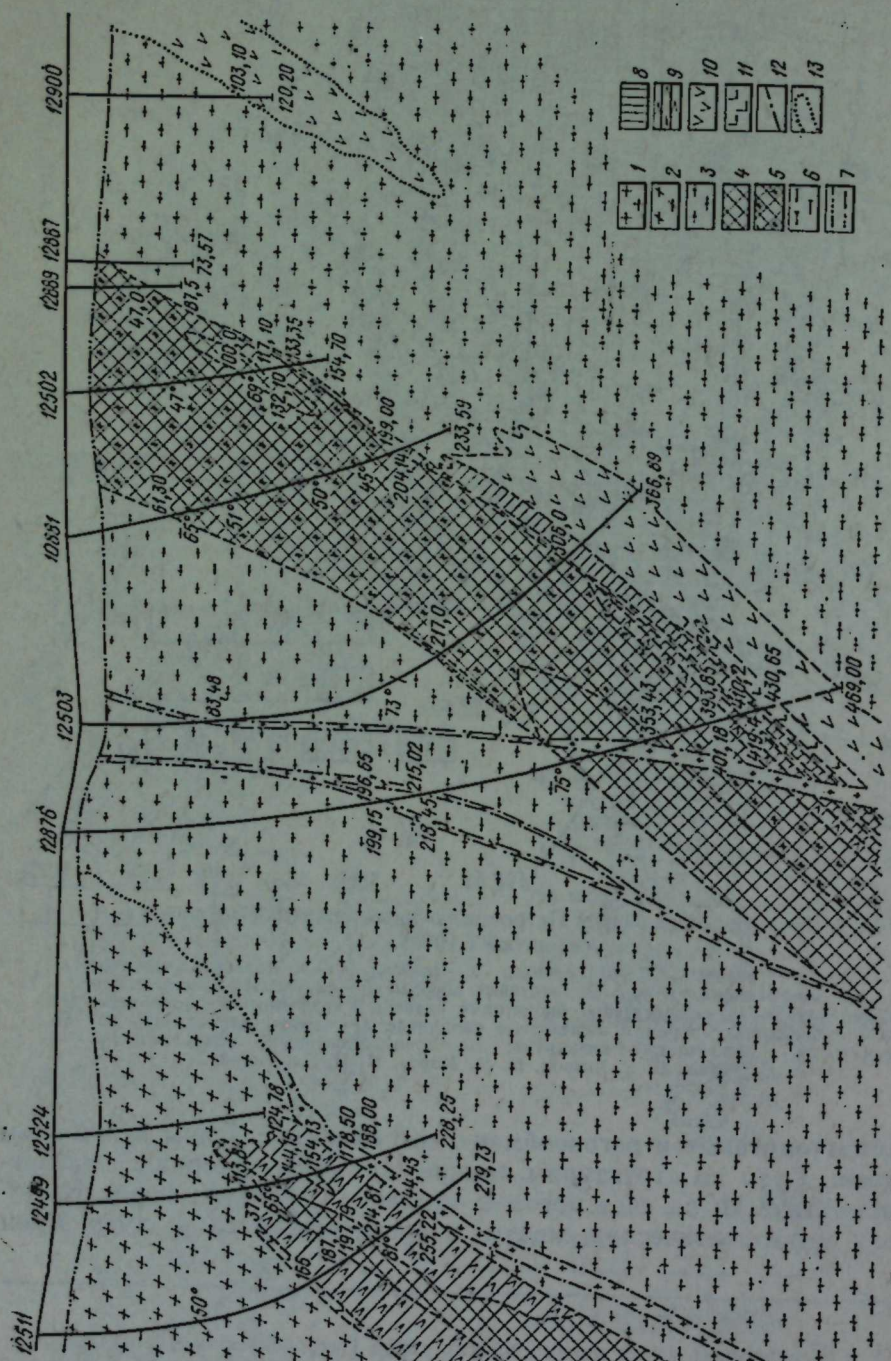


Рис. 3. Геологический разрез Петровского месторождения по линии XI—XII (масштаб 1:1000).

1 — пегматиты розовые; 2 — мигматиты; 3 — гнейсы метасоматические с амфиболом и биотитом; 4 — магнетитовые кварциты; 5 — гранат-магнетитовые кварциты; 6 — карбонатные метасоматические породы по оталькованным и амфиболизированным спелентинитам и ультрабазитам; 7 — актинолититы и tremolититы; 8 — существенно биотитовые сланцы окварцованные; 9 — окарированные; 10 — амфиболиты; 11 — ортопороды; 12 — разломы; 13 — границы гранитизированных тиазаций.

Таблица 1
Химический состав пордообразующих минералов метаультрабазитов Правобережных магнитных аномалий (Кривбасс)

Компонент	Петровское месторождение, роговая обманка						Ореховское месторождение, куммингтонит						Артемовское месторождение, роговая обманка						Петровское месторождение, куммингтонит						
	Скв. 12528 (180 м)		Скв. 12830 (236,5 м)		Скв. 12528 (180 м)		Скв. 10800 (152,2 м)		Скв. 1042 (95 м)		Скв. 12881 (306,7 м)		Скв. 12511 (189,5 м)												
	1*	2	1	2	1	2	1	2	1	2	1	2	1	2	1	2	1	2	1	2	1	2	1	2	
SiO ₂	47,73	7	48,85	7,2	49,59	6,742	49,05	7,5	49,98	8	49,53	7,72	48,49	7,48											
TiO ₂	1,25	0,13	0,06	0,009	0,21	0,018	0,05	0,009	0,08	0,009	0,13	0,67	0,13	0,09	0,01										
Al ₂ O ₃	7,37	1,5	4,46	0,78	5,23	0,906	0,65	0,11	0,68	0,13	0,67	0,67	0,13	0,62	0,463										
Fe ₂ O ₃	7,13	0,8	8,87	1	3,00	0,388	4,40	0,52	17,78	2,1	24,10	3,0	16,80	2,2	18,03	2,1									
FeO	11,47	1,4	12,08	1,5	12,91	1,6	34,85	4,5	14,63	1,9	16,80	2,2	22,86	3,0											
MnO	0,12	0,009	—	—	—	0,11	0,01	—	0,01	—	0,005	—	0,005	—	0,085										
MgO	12,63	2,75	12,63	2,7	12,97	2,862	7,24	1,7	4,55	1,07	7,42	1,72	6,78	1,565											
CaO	7,95	1,26	8,05	1,26	11,97	2	0,73	0,13	2,42	0,41	—	—	—	—	—										
Na ₂ O	1,40	0,4	0,41	0,1	0,50	0,142	0,16	0,06	5,00	1,5	0,16	0,06	0,16	0,04											
K ₂ O	0,30	0,5	0,33	0,05	0,36	0,053	—	—	2,36	0,7	0,10	0,02	0,02	0,01											
P ₂ O ₅	0,073	—	—	—	0,128	—	0,032	—	0,028	—	0,028	—	0,036	—	0,082										
S ₂ O ₅	0,059	2	3,05	2,8	—	—	2,0	2,92	—	2,17	2	0,53	0,62	—	—										
H ₂ O	2,21	2	—	—	0,006	0,004	—	—	—	—	—	0,005	—	1,2	—										
Cr ₂ O ₃	—	—	—	—	—	—	—	—	—	—	—	0,104	—	0,003	—										
Сумма . . .	99,69	—	98,72	—	99,11	—	100,17	—	99,69	—	99,47	—	100,3	—											
Ng	1,678	1,695	—	—	1,675	—	—	—	1,686	—	1,711	—	1,708	—											
Np	1,659	1,670	—	—	1,656	—	—	—	1,670	—	1,675	—	1,683	—											
сNg	23	18	—	—	18	—	—	—	18	—	—	—	—	—											
2V	+80	—	—	—	—	—	—	—	—	—	—	—	—	—											
100Mg	56,6	—	52	—	—	—	—	—	59	—	28	—	21,1	—	24,5	—									
$\frac{Mg + Fe^{3+} + Fe^{2+} + Mn}{Fe^{3+} + Fe^{2+}}$	0,6	—	0,7	—	0,3	—	0,05	—	0,3	—	1,1	—	1,35	—											

* 1 — вес. %, 2 — количество иолов на 24 (O, OH).

Таблица 2

Химический состав и коэффициенты рудовмещающих

Компонент	11	6	46	3	2
SiO_2	44,42	43,84	56,83	45,16	41,60
TiO_2	0,5	Следы	0,29	Следы	0,17
Al_2O_3	12,80	0,96	4,53	1,46	2,95
Fe_2O_3	5,12	2,65	3,71	17,31	2,65
FeO	11,01	32,46	16,0	26,40	32,46
MnO	0,26	0,04	0,03	0,06	0,14
MgO	11,17	5,18	5,78	0,02	6,00
CaO	7,95	8,09	9,19	3,70	5,80
Na_2O	1,45	0,16	0,62	0,16	0,22
K_2O	1,34	—	0,46	0,28	1,16
P_2O_5	0,129	0,06	0,25	0,24	0,299
SO_3	0,03	—	0,02	0,145	—
H_2O^-	0,33	—	0,1	—	—
H_2O^+	3,7	3,00	2,13	1,20	4,44
П. п. п.		2,31	—	0,1	2,39
Сумма . .	100,21	99,56	99,97	100,99	100,28
NiO	—	—	0,018	—	—
CoO	—	0,007	0,014	0,009	0,008
Cr_2O_3	—	Следы	—	0,04	0,04
S	—	6,41	—	—	7,97

Коэффициенты

F	28,590	61,796	43,285	76,744	63,542
A	16,469	1,282	7,085	1,983	3,646
M	36,232	16,538	23,188	12,791	19,401
C	18,709	20,385	26,409	8,527	13,411
FM	64,832	78,379	66,473	89,535	82,943

Примечание. 11 — роговообманковый сланец куммингтонитизированный, среднезернистый, глуб. 290 м, обр. 57; 6 — мономинеральная куммингтонитовая порода (размер зерен 1—1,5 мм), с обр. 35; 46 — гранат-биотитовая полосчатая порода окварцованием, магнетитизированная, с реликтами куммингтонитизированной, мелкозернистая с сульфидной и магнетитовой минерализацией, скв. 12681, глуб. 12681, глуб. 295,5 м, обр. 60; 42 — мономинеральная куммингтонитовая порода, глуб. 189,5 м, обр. 21; 33 — окварцованный (гранитизированный) каталязис куммингтонитовой биотитизированной, мелкозернистый (размер зерен 0,5—1 мм); обыкновенная роговая обманка (60%), андезито-реакционный — плагиоклаз, скв. 12503, глуб. 326 м, обр. 40; 8 — амфиболит окварцованный, акцессор окварцованный биотитизированный, аксессорные: апатит, андезин № 40, наиболее реакционный, скв. 12503, глуб. 328, обр. 32. Анализы выполнены в тресте «Днепрогеология»

от 0,5 до 2,5—3 мм, редко 7—15 мм). Текстура сланцеватая, полосчатая, реже массивная. Полосчатость, обусловленная окварцеванием, обычно совпадает со сланцевостью и особенно характерна для приконтактовых зон с железистыми кварцитами. Главные породообразующие минералы сланцев — железистый куммингтонит с процентным содержанием катионов $100 \text{Mg/Mg} + \text{Fe}^{2+} + \text{Fe}^{3+} = 24—25$ на формульную единицу и обыкновенная роговая обманка с соотношением атомного количества $M/F = 52—59$ (табл. 1). Вторичные минералы — биотит, гранат, кварц, магнетит. Встречаются единичные реликтовые зерна пироксена с извилистыми растворенными краями. Аксессорный минерал — апатит.

метаультрабазитов Петровского месторождения, вес. %

4	42	33	9	8	10	34
42,45	50,26	56,70	49,90	52,60	52,68	62,0
0,03	0,27	0,55	0,88	0,78	0,53	0,46
1,50	1,18	13,84	15,12	13,35	14,80	14,22
10,99	2,64	1,40	3,54	2,57	2,13	0,81
35,49	35,96	8,57	9,47	8,53	6,21	4,33
0,07	0,006	0,12	0,16	0,20	0,15	0,06
5,43	5,75	8,10	8,38	7,09	8,12	5,0
1,00	1,01	4,60	5,74	8,66	7,99	3,71
0,16	0,22	1,33	4,06	4,37	4,08	0,33
0,21	0,06	2,10	1,16	0,30	1,50	4,00
0,092	0,092	0,10	0,149	0,184	0,092	0,092
—	0,05	—	0,078	0,345	0,008	1,4
0,06	0,11	—	—	—	—	—
2,04	2,23	1,05	1,30	1,24	1,10	—
0,66	—	1,63	0,45	0,27	0,50	3,75
100,18	99,75	100,09	100,49	100,53	99,93	100,16
—	0,007	Следы	Следы	Следы	Следы	—
0,008	—	Следы	0,007	0,002	0,006	—
—	—	Следы	0,04	0,04	—	—
2,03	—	—	—	—	—	—

по Н. П. Семененко

78,672	71,270	24,593	27,804	24,63	18,636	18,67
1,916	1,977	24,593	23,381	21,374	24,126	34,73
17,114	23,723	35,624	32,701	28,736	33,444	16,53
2,299	2,645	15,190	16,114	25,287	23,794	31,07
95,786	94,993	60,217	60,605	53,366	52,080	34,21

с реликтами пироксена. Состав: обыкновенная роговая обманка — 70, куммингтонит 30%, скв. 12830, вторичные пироксены (до 10%), вторичный магнетит и пирротин (20—10%), скв. 12513, глуб. 249 м, также обыкновенной роговой обманки (слаборудный магнетитовый кварцит), скв. 12513, глуб. 279 м, (слаборудный магнетитовый кварцит); скв. 12881, глуб. 322 м, обр. 67; 2 — роговообманковая порода 12881, глуб. 295,5 м, обр. 51; 4 — полосчатая окварцовенная куммингтонитовая порода с магнетитом, крупнозернистая (размер зерен 5 мм), вторичные: гранат, кварц и магнетит (до 50%), скв. 12511, титанитизированный сланец; скв. 12503, глуб. 314 м, обр. 37; 9 — амфиболит с куммингтонитом биотитизированный № 40 (25—30%), куммингтонит и биотит — (10—15%), акцессорные: апатит, магнетит, наибольшие: магнетит, апатит, андезин № 40 реакционный — плагиоклаз, скв. 12503, глуб. 338,2 м, обр. 42; 10 — амфиболит № 12503, глуб. 360 м, обр. 45; 34 — окварцованный биотитизированный сланец с реликтами куммингтона. П. Шпектровой, Л. В. Хазиной, Е. С. Лазаревой.

Структурные соотношения парагенетических ассоциаций минералов указывают на следующую последовательность их кристаллизации: 1) пироксен — обыкновенная роговая обманка — кварц — магнетит; 2) пироксен — обыкновенная роговая обманка — куммингтонит — кварц — магнетит; 3) пироксен — куммингтонит — кварц — магнетит.

Петрохимический анализ рудовмещающих метаультрабазитов по методу А. Н. Заварцкого (1956) показывает, что они принадлежат нормальному меланократовому ряду, недосыщены кремнекислотой и аналогичны типичному составу ультраосновных интрузивных пород по Дэли (см. Четвериков, 1956). В систематике метаморфизованных пород по изохимическим группам Н. П. Семененко (1966), отвечающим опре-

Таблица 3

Химический состав и числовые характеристики архейских

Компонент	1	13	14	15	17	18	19
SiO ₂	48,0	30,20	46,78	30,14	32,05	47,50	49,57
TiO ₂	0,16	—	0,48	0,03	0,04	0,07	0,07
Al ₂ O ₃	3,11	0,74	6,41	1,08	1,17	2,23	2,00
Fe ₂ O ₃	1,53	20,45	7,70	19,89	10,66	1,48	1,92
FeO	5,05	33,04	5,04	33,90	35,93	6,00	5,11
MnO	0,08	0,05	0,06	0,07	0,06	0,06	0,06
MgO	14,02	5,35	24,61	5,57	7,50	13,30	14,90
CaO	21,40	9,10	3,30	7,80	8,50	26,00	22,50
Na ₂ O	0,27	0,16	0,27	0,16	0,22	0,17	0,23
K ₂ O	0,35	0,21	0,26	0,10	0,35	0,20	0,20
P ₂ O ₅	0,110	0,041	0,037	0,368	0,120	0,056	0,593
Cr ₂ O ₃	0,08	—	0,28	—	—	—	—
SO ₃	0,048	0,032	0,78	0,11	—	0,079	0,057
NiO	—	—	0,15	—	—	—	—
H ₂ O+	—	0,10	0,05	—	0,08	0,10	0,13
CoO	—	0,011	0,011	—	—	—	—
П. п. п.	6,26	0,83	4,07	0,58	3,75	2,80	3,16
Сумма . .	100,47	100,30	100,28	99,80	100,43	100,50	100,51
H ₂ O-	0,60	—	3,44	—	2,80	0,57	0,80
CO ₂	5,78	—	0,80	0,50	0,70	2,00	2,44
S	—	—	—	—	4,15	—	—

Коэффициенты

F	10,495	70,461	18,486	71,471	64,481	11,014	10,734
A	3,538	—	7,015	1,087	1,217	2,399	2,260
M	40,92	12,954	67,929	13,751	18,854	50,600	41,695
C	45,047	15,898	6,570	13,751	15,396	35,987	45,311
FM	51,415	83,415	68,415	85,222	82,335	61,614	52,43

Числовые характеристики

a	0,9	0,6	0,8	0,5	0,8	0,6	0,8
c	0,14	0,1	3,3	0,5	0,4	1,0	1,7
b	48,5	66,0	47,2	65,5	63,6	51,6	50,0
s	49,2	33,0	48,7	33,5	35,2	46,8	48,5
f'	11,2	71,0	21,3	72,7	66,0	11,5	1,1
m'	43,6	13,0	78,7	14,0	19,0	37,5	43,4
c'	45,2	15,8	0,3	13,3	15,0	51,1	45,5
n	28,6	30,0	28,6	37,5	25	30,0	30,0

ультрабазитов Петровского месторождения, вес. %

20	21	22	23	31	'41	44	48	49	50
53,37	52,80	54,82	54,77	52,0	32,23	41,08	46,19	50,91	31,46
0,06	0,12	0,10	0,05	0,06	0,27	0,46	0,22	0,12	0,13
3,46	3,19	5,55	1,26	3,87	1,33	0,41	0,97	2,35	1,03
1,01	1,87	0,95	0,87	0,88	14,52	24,62	0,94	3,33	11,34
4,33	4,91	4,48	1,95	4,26	37,63	25,45	22,32	9,66	42,75
0,07	0,10	0,07	0,05	0,07	0,006	0,04	0,11	0,08	0,09
11,65	12,98	8,55	15,74	13,79	5,24	3,21	9,30	13,08	6,97
22,10	21,60	22,28	21,00	22,30	7,86	3,45	15,53	18,28	4,97
0,85	0,33	0,85	0,16	0,76	0,18	0,39	0,51	0,32	0,16
0,25	0,25	0,35	0,21	0,25	0,06	0,23	0,37	0,28	0,16
1,15	0,115	0,517	0,258	0,895	0,204	0,28	0,27	0,210	0,14
—	—	—	—	—	—	0,003	—	—	—
0,040	0,548	0,027	0,071	0,067	0,05	0,01	—	0,109	—
—	—	—	—	—	0,007	0,018	0,018	—	—
—	—	—	0,10	—	0,10	0,43	0,24	—	—
—	—	—	—	—	—	—	—	—	0,012
1,29	1,35	0,96	3,61	1,40	0,70	0,34	2,71	1,62	0,738

по Н. П. Семененко

9,125	11,098	10,135	1,593	8,481	71,337	82,077	38,379	20,9	63,0
4,309	3,739	4,432	4,776	4,359	1,327	0,494	1,192	2,7	1,4
36,628	38,721	28,649	47,659	40,223	13,039	9,765	27,533	38,0	23,6
49,937	46,442	53,378	45,956	46,879	14,268	7,664	32,896	38,4	12,0
45,753	49,819	38,784	49,252	48,764	84,376	91,842	65,912	58,9	86,6

по А. Н. Заварыцкому

1,9	0,8	3,4	0,6	1,8	0,4	0,45	1,2	0,9	0,8
1,6	1,4	1,7	0,4	1,3	0,6	0,45	0,2	0,8	0,4
43,6	45,6	39,6	46,0	46,3	63,4	60,7	50,5	48,0	57,0
53,0	52,2	55,3	53,0	50,6	35,60	38,5	48,1	50,3	41,8
9,8	12,0	11,4	4,9	9,1	73,0	62,4	39,8	22,0	64,2
39,2	41,5	32,3	49,0	43,2	13,5	7,4	31,5	40,0	24,2
51,0	46,5	56,3	46,1	47,7	13,5	15,2	28,5	38,0	11,6
43,8	35,7	20,6	30,0	43,4	33,4	70,4	80,0	62,5	30,0

Компонент	1	13	14	15	17	18	19
Числовые характеристики							
<i>2c</i>	2,5	2,5	1,5	1,5	1,7	1,2	0,5
<i>b</i>	53,5	49,5	63,5	65,5	63	51	53,5
<i>S</i>	44	48	35	33	35,3	47,8	46
<i>h</i>	10	14	12	20	15	19	30,5
<i>M/F</i>	4	3,5	0,25	0,2	0,2	0,7	0,2

Примечание. 1 — пироксенит актинолитизированный, карбонатизированный, скв. 12576, обр. 19; 14 — пироксенит актинолитизированный с сульфидами, скв. 12505, глуб. 167,3 м, обр. 15; 15 — с пирротином, амфиболизированные, карбонатизированные, скв. 12513, глуб. 180 м, обр. 20; 18 — крупнозернистый карбонатизированный, амфиболизированный, скв. 12513, глуб. 161 м, обр. 17; 20 — истиный с магнетитом, плеонастом, сульфидами, скв. 12821, глуб. 100,3 м, обр. 6; 22 — пироксенит рованный, карбонатизированный, скв. 12876, глуб. 420 м, обр. 60; 31 — мономинеральная пироксено-бонатизированная с пирротином, скв. 12513, глуб. 214 м, обр. 28; 44 — пироксенит кумминсто-амфиболизированный с магнетитом, скв. 12511, глуб. 209 м, обр. 44; 49 — пироксенит амфиболизированный, скв. 12513, глуб. 143 м, обр. 24. $h = \frac{Fe_2O_3 \cdot 100}{Fe_2O_3 + FeO}$; $M/F = Mg/(FeO + 2Fe_2O_3 + MnO + NiO)$, мол. кол.

деленным ступеням метаморфизма, рассматриваемые метаультрабазиты соответствуют магнезиальным и щелочноземельно-магнезиальным ультраосновным породам орторяда.

Таким образом, роговообманковые и грюнеритовые породы — метасо-

Таблица 4
Химический состав минералов ультрабазитов Петровского месторождения

Компонент	Скв. 12528 (180 м)		Скв. 12875 (277, 6 м)		Скв. 12513 (163 м)		Скв. 12821 (114 м)		Скв. 12513 (205 м)	
	1*	2	1	2	1	2	1	2	1	2
SiO ₂	52,05	2	52,17	1,939	52,73	1,98	53,74	2	53,88	1,99
TiO ₂	0,05	0,001	0,08	0,001	0,008	0,002	0,13	0,002	0,04	—
Al ₂ O ₃	0,80	0,03	0,5	0,022	1,15	0,05	1,27	0,06	0,30	0,01
Fe ₂ O ₃	0,97	0,03	2,40	0,067	0,71	0,02	1,50	0,04	0,79	0,02
FeO	10,31	0,33	5,04	0,157	6,20	0,19	4,47	0,14	2,74	0,084
MnO	—	—	0,06	—	0,06	—	0,1	—	0,03	—
MgO	12,73	0,72	15,69	0,874	14,76	0,8	15,54	0,9	16,62	0,91
CaO	21,84	0,9	23,45	0,940	22,58	0,96	21,06	0,84	24,31	0,96
Na ₂ O	0,19	0,01	0,10	0,018	0,19	0,01	0,25	0,018	0,12	0,01
K ₂ O	0,12	0,005	0,30	0,027	—	—	0,10	0,004	0,07	—
P ₂ O ₅	—	—	0,027	—	0,11	—	0,036	—	0,055	—
SO ₃	—	—	0,036	—	—	—	0,022	—	0,001	—
CoO	—	—	—	—	0,001	—	0,002	—	0,001	—
Cr ₂ O ₃	—	—	—	—	0,03	—	—	—	0,03	—
П. п. п.	1,42	—	0,42	—	1,29	—	1,30	—	1,28	—
Сумма	100,48	—	100,78	—	99,89	—	99,44	—	100	—
Ng'	1,702	—	1,702	—	1,712	—	1,710	—	1,702	—
Np'	1,677	—	1,677	—	1,685	—	1,680	—	1,660	—
Соотношение атомов, %	Ca ₄₆ Mg ₅₃ Fe ₁₈ диопсид — салит	Ca ₄₆ Mg ₄₃ Fe ₁₂ диопсид — салит	Ca ₄₆ Mg ₄₃ Fe ₁₁ диопсид — салит	Ca _{43,7} Mg _{47,3} Fe ₉ диопсид — салит	Ca ₄₉ Mg ₄₀ Fe ₅ диопсид — салит					

* 1 — вес. %. 2 — количество ионов на 6 (O).

20	21	22	23	31	41	44	48	49	50
по Н. Д. Соболеву									
3,6	7	4	3,6	1,48	4,4	0,7	0,9	2,7	1,6
44,9	38	43	47,8	46,3	45,6	53,3	66,1	47,3	56,4
51,5	55	53	48,6	52,3	50	46	33	50	42
15	8,7	9,1	11,3	18	10	4	20	13,5	18,4
3,1	2	3,5	3,5	9,6	4	3,3	0,18	1,7	0,35

глуб. 397 м, обр. 48; 13 — пироксенит частично серпентинизированный, скв. 12505, глуб. 171,5 м; железистые верлиты с пирротином, скв. 12513, глуб. 200 м, обр. 26; 17 — железистые верлиты пироксенит крупнозернистый мономинеральный, скв. 12513, глуб. 158 м, обр. 16; 19 — пироксенит — пироксенит гранитизированный, скв. 12821, глуб. 118,5 м, обр. 13; 21 — пироксенит крупнозернистый гранитизированный, скв. 12821, глуб. 110 м, обр. 11; 23 — пироксенит крупнозернистый гранитизированная актинолитизированная порода, скв. 12821, глуб. 155,6 м, обр. 18; 41 — железистый верлит карбонитизированный с пирротином, скв. 12511, глуб. 203 м, обр. 27; 48 — пироксенит рованный с магнетитом, скв. 12511, глуб. 209 м, обр. 44; 50 — верлит с магнетитом и сульфидами.

матически преобразованные ультрабазиты типа пироксенитов. Метасоматоз сопровождался выносом кальция, особенно интенсивным при железистом метасоматозе, когда по пироксенитам развивались непосредственно грюнеритовые породы. Вблизи разломных зон, где исходные породы сохранили катаклазические структуры, под воздействием паров воды одновременно происходила серпентинизация ультраосновных пород. При этом выносились кальций, щелочи и алюминий. Реликтовые участки пироксенитов сильно трещиноваты, разбиты на мелкие дезориентированные островки.

Позже низкотемпературный метаморфизм в наложенных зонах расланцевания привел к образованию диафторированных пород. Серпентиниты в результате воздействия кислых термальных растворов превратились в талько-актинолитовые сланцы. Мономинеральные амфиболовые породы в зонах расланцевания под влиянием калиевого метасоматоза перешли в существенно биотитовые сланцы.

Карбонатизация серпентинитов и талько-актинолитовых пород является наиболее поздним гидротермальным процессом, о чем свидетельствуют метасоматические структуры с последовательностью кристаллизации минералов пироксен+оливин(?)→серпентин→актинолит+тальк→карбонат.

Образующиеся при этом силикатно-карбонатные породы, а также парагенетически связанные с ними талько-актинолитовые сланцы имеют линейное распространение (см. рис. 1), что свидетельствует об их образовании вдоль тектонических трещин. Карбонатные породы содержат стронций (0,05—0,2%), хром (до 0,5%) и никель (до 0,01%).

Неизмененные ультрабазиты — пироксениты, оливиновые пироксениты типа верлитов с ферриортонолитом (Fe=68—80%) и горибленидиты встречаются в виде небольших реликтовых тел, мощностью от 5—10 см до 15 м среди метаультрабазитов (табл. 3).

Петрохимические пересчеты по методу Н. Д. Соболева (1959) показывают, что ультраосновные породы принадлежат двум группам: ультраферберзитам ($M/F=3-4$; $b=43-53$; $2c=2,5-4,5$) и ультрабазитам ($M/F=1,7$; $b=47,3-66$; $2c=0,5-2,7$). Севернее, в Артемовской и Ореховской магнитных аномалиях, аналогичных Петровскому место-

Таблица 5
Химический состав минералов ультрабазитов Правобережных магнитных аномалий
(Кривбасс)

Компонент	Петровское месторождение (оливин)		Ореховская магнитная аномалия (ромбический пироксен)				Артемовская магнитная аномалия (ромбический пироксен)	
	Скв. 12513 (187 м)		Скв. 10800 (198,5 м)		Скв. 10800 (116 м)		Скв. 1042 (95 м)	
	1*	2	1	2a	1	2a	1	2a
SiO ₂	30,60	1,01	41,46	1,96	46,95	1,964	45,83	1,9
TiO ₂	0,1	0,002	0,12	0,003	0,13	0,003	0,05	—
Al ₂ O ₃	0,36	0,01	0,77	0,04	1,17	0,06	0,18	0,012
Fe ₂ O ₃	—	—	3,23	0,1	2,07	0,06	9,74	0,31
FeO	61,79	1,7	42,18	1,48	41,24	1,44	37,56	1,3
MnO	0,1	—	0,05	—	0,08	—	0,05	—
MgO	3,78	0,18	5,55	0,35	6,40	0,04	4,63	0,29
CaO	1,22	0,04	1,05	0,04	0,84	0,03	0,39	0,018
Na ₂ O	0,08	—	0,06	0,008	0,06	—	0,44	0,03
K ₂ O	0,18	—	0,07	0,003	0,07	—	0,07	0,005
Cr ₂ O	—	—	0,4	—	—	—	—	—
P ₂ O ₅	—	—	0,064	—	0,092	—	0,032	—
CoO	—	—	0,008	—	0,006	—	—	—
П. п. п.	—	—	0,9	—	0,57	—	1,57	—
Сумма .	98,21	—	100,56	—	99,68	—	100,57	—
Ng'	1,834	—	1,762	—	1,750	—	1,763	—
Nр'	1,790	—	1,745	—	1,732	—	1,730	—
Соотношение атомов, %	Mg ₉ Ca ₃ Fe ₈₈ ферригортонолит	Mg ₁₈ Ca ₂ Fe ₈₀ эулилт	Mg ₂₁ Ca ₁ Fe ₇₈ эулилт	Ma ₁₆ Ca ₁ Fe ₈₄ эулилт				

* 1 — вес. %, 2 — количество ионов на 4 (O), 2a — то же на 6 (O).

рождению, встречены реликтовые тела железистых гиперстенитов с эулилитом (табл. 4, 5). В петрографическом аспекте особенно интересны железистые верлиты с редко встречающейся минеральной ассоциацией салит+ферригортонолит, где $M/F=0,2-0,35$. Их можно сопоставить только с каменными метеоритами (Заварицкий, Кваша, 1952).

В целом ультраосновные породы Петровского месторождения характеризуются: 1) низким содержанием щелочей (0,1—0,15 вес. %); 2) наличием окисей титана, никеля, кобальта, меди; 3) высокой степенью дегидратации пород (полное отсутствие летучих компонентов).

Ультрабазиты типа пироксенитов и верлитов Петровского месторождения, судя по приведенным данным, являются самым древним комплексом пород, и представляют собой останцы бывшего крупного кругопадающего массива ультрабазитов, претерпевших гранитизацию, метаморфизм и последующий железистый метасоматоз. Содержание элементов-примесей в рудовмещающих породах дано в табл. 11.

ЖЕЛЕЗИСТЫЕ КВАРЦИТЫ

Ведущими минералами железистых кварцитов являются кварц, магнетит и силикаты (амфибол, пироксен, реже биотит, полевой шпат); акцессорными — апатит.

Таблица 6

Химический состав монофракций магнетитов из железистых кварцитов Петровского месторождения

Компонент	Скв. 12830 глуб. 345,5, обр. 40		Скв. 12875, глуб. 444, обр. 47		Скв. 12830, глуб. 298, обр. 31		Скв. 12875, глуб. 380, обр. 40	
	1*	2	1	2	1	2	1	2
SiO ₂	0,67	0,027	2,51	0,09	0,8	0,23	2,54	0,1
TiO ₂	0,12	0,004	0,13	0,004	0,1	0,004	0,12	0,004
Al ₂ O ₃	0,10	0,0004	Следы	—	0,1	0,004	0,03	0,007
Fe ₂ O ₃	67,09	1,946	67,73	1,923	68,24	1,954	66,74	1,8
FeO	31,24	1,0005	29,94	0,921	30,53	0,970	29,50	1,1
MnO	0,04	0,001	0,03	0,0009	0,05	0,003	0,10	0,004
MgO	—	—	Следы	—	—	—	0,90	0,007
CaO	0,3	0,011	Следы	—	0,22	0,008	0,25	0,015
Na ₂ O	—	—	—	—	—	—	0,1	0,008
K ₂ O	—	—	—	—	—	—	0,1	0,005
Cr ₂ O ₃	0,04	0,0004	Следы	—	—	—	—	—
CoO	0,016	0,0002	0,021	0,0004	0,019	0,006	0,013	0,002
V ₂ O ₅	Не обн.	—	Не обн.	—	—	—	—	—
P ₂ O ₅	0,069	0,002	0,069	0,001	0,161	0,007	0,055	0,002
П. п. п.	0,17	—	0,13	—	0,04	—	0,015	—
Сумма .	99,82	—	100,29	—	100,23	—	100,59	—
Атом. %								
Fe ²⁺ /Fe ³⁺	—	0,5	—	0,5	—	0,5	—	0,62

1* — вес. %, 2 — количество ионов.

Магнетит метасоматически замещает цветные минералы, корродирует кварц. Формы его концентраций полосчатые, вкрапленные, прожилково-вкрапленные. Зерна и агрегаты магнетита более идиоморфны и часто занимают секущее положение по отношению к контактам кварцевых зерен. При магнетитизации крупных мономинеральных агрегатов амфиболя развивается сидеронитовая структура. В сплошных рудных полосках всегда видны остатки кварца и силикатов.

Отмечается магнетит двух типов: эвгедральный, или изометричный, размером до 0,5 мм, реже более, и ксеноморфный — удлиненный согласно полосчатости.

Магнетит первого типа обычно сливной, малокавернозный с отчетливым коричневатым оттенком. Магнетит второго типа — кавернозный и пористый, серый со слабым розовато-коричневым оттенком, характерен для гематитизированных руд. Он, видимо, подвергался частично выщелачиванию в процессе гематитизации (табл. 6).

Для магнетита характерны коррозионные границы с кварцем и другими нерудными минералами (рис. 4, 5). Исследования в отраженном свете подтверждают, что магнетит пересекает зерна нерудных минералов и наблюдается в них в виде неправильных бухтообразных проникновений. В магнетите встречаются реликтовые зерна кварца и других нерудных минералов. Это указывает на метасоматическое образование магнетита (Федоровская, Князев, 1969; Федоровская, 1971).

Гематит образует три типа выделений: 1) толстопластичные, иногда чечевицеподобные (в разрезе), ориентированные согласно полосчатости, с размером индивидов до 0,5—2,0 мм по удлинению;

Таблица 7

Содержание в рудных минералах элементов-примесей Петровского и Ореховского месторождений, вес. %

Порода	№ скважины и глубина, м	Магнетит				Гематит			
		Ni	Co	Ti	Cr	Ni	Co	Ti	Cr
Железистые кварциты	12875, 380	—	0,013	—	Следы	—	—	—	—
	12830, 345	—	0,016	—	0,04	—	—	—	—
	10270, 132	—	—	—	—	—	—	—	—
	292	—	0,016	—	0,02	—	0,019	0,43	0,03
	10270, 143	—	0,015	—	0,04	—	—	—	—
	12875, 494	Следы	0,021	—	Следы	—	—	—	—
	12830, 298	Следы	0,019	—	Следы	—	—	—	—
	10799, 258	—	0,008	0,036	—	—	—	—	—
	12503, 237	—	—	—	—	—	0,008	0,14	0,06
	12881, 52	—	—	—	—	—	0,006	0,07	—
Ортопороды	12513, 187	—	0,028	0,21	0,03	—	—	—	—
	12513, 199	—	0,014	0,19	0,03	—	—	—	—
	10270, 120	—	0,013	—	—	—	—	—	—
	12513, 193	—	—	0,06	—	—	—	—	—
	12875, 418	—	0,028	0,53	0,02	—	—	—	—
	12830, 236	—	0,018	—	Следы	—	—	—	—
Пегматит	10800, 98	—	—	0,24	—	—	—	—	—
	10270, 155	—	0,023	—	0,04	—	—	—	—

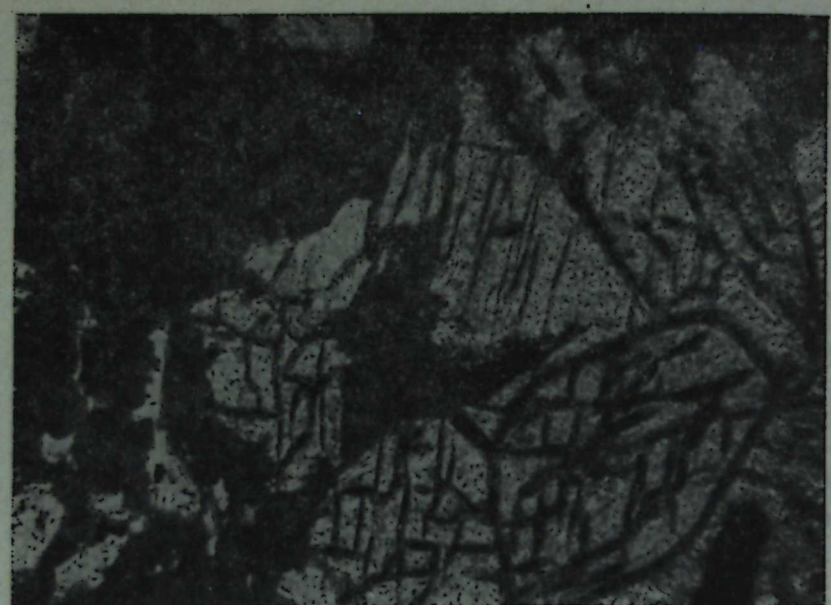


Рис. 4. Замещение магнетитом (черное) роговой обманки и пироксена (серое). Скв. 12883, глуб. 181 м, ув. 40, ник. 1.



Рис. 5. Магнетитовый кварцит. В магнетите (черное) наблюдаются реликты граната (серое с тонкой вкрапленностью магнетита), биотита (серое со спайностью) и кварца (белое). Скв. 12500, глуб. 185 м, ув. 50, ник. 1.

2) изометрические и ксеноморфные, которые развиваются псевдоморфно по магнетиту, часто кавернозные и пористые, размер зерен до 1,0 мм и более; 3) мелкочешуйчатые, обособляющиеся в прерывистые лентовидные агрегаты среди нерудных минералов, в кавернах гематита второго типа, а также в промежутках между толстопластичным гематитом. Преобладает гематит первых двух видов.

Гематит кристаллизовался после магнетита, о чем свидетельствуют псевдоморфизмы гематита по магнетиту, наличие частично гематитизированных зерен магнетита, реликты магнетита в гематите, каёмочные выделения гематита на магнетитовых зернах. В отличие от руд криворожского типа, гематит Петровского месторождения в основной своей

Таблица 8

Содержание редких элементов в рудных минералах железорудных месторождений, вес. %

Элемент	Петровская и Ореховская магнитные аномалии			Контактово-метасоматические месторождения, магнетит
	Магнетит из железистых кварцитов	Магнетит из железистых сланцев	Гематит	
Cr	0,04	0,02	0,006	0,006
Co	0,013—0,021	0,028	0,006	—
Ti	0,12	0,53	0,06	0,16—0,32
Ni	0,004	0,001	0,005	—
Ga	0,001	0,001	0,001	—
Cu	0,001	0,001	—	—
V	0,005	—	0,005	0,92—0,043
Mo	0,0002	0,0002	0,0002	—
Ta	0,015	—	0,02	—
Sc	—	—	0,003	—

Таблица 9

Химический состав монофракций обычновенной роговой обманки из железистых кварцитов Петровского месторождения, вес. %

Компонент	Скв. 12875, глуб. 380 м		Скв. 12830, глуб. 298 м	
	1°	2	1	2
SiO ₂	47,22	7	46,88	6,7
TiO ₂	0,06	0,007	0,07	0,01
Al ₂ O ₃	7,31	1,3	9,79	1,65
Fe ₂ O ₃	6,39	0,7	4,84	0,51
FeO	12,79	1,57	8,55	1,03
MnO	0,16	0,017	Не обн.	—
MgO	11,49	2,524	16,74	3,6
CaO	11,3	1,783	11,90	1,83
SO ₃	0,072	—	Не обн.	—
P ₂ O ₅	0,046	0,007	Не обн.	—
Na ₂ O	0,37	0,17	0,7	0,2
K ₂ O	0,37	0,076	0,42	0,07
П. п. п.	2,21	2,00	1,52	1,5
Сумма	99,99		101,28	
100 Mg				
(Mg + Fe ²⁺ + Fe ³⁺ + Mn)		52,5		60
Fe ²⁺ /Fe ³⁺		0,5		0,4
Уд. вес		3,15		3,0
Ng'		1,670		1,669
Np'		1,639		1,645
cNg		19°		23—27°

Таблица 10

Химический состав монофракций пироксена из железистых кварцитов Петровского месторождения

Компонент	Скв. 12881, глуб. 52 м		Скв. 12881, глуб. 92 м	
	1°	2	1	2
SiO ₂	55,04	2,02	52,49	1,98
TiO ₂	Следы	—	0,03	0,001
Al ₂ O ₃	2,84	0,124	0,29	0,01
Fe ₂ O ₃	2,31	0,062	1,61	0,045
FeO	4,25	0,13	7,93	0,25
MnO	0,023	—	0,18	—
MgO	15,26	0,835	13,90	0,8
CaO	17,85	0,702	22,68	0,9
SO ₃	0,048	—	—	—
P ₂ O ₅	0,092	—	0,028	—
N ₂ O	0,41	0,007	0,19	0,01
K ₂ O	0,10	0,002	0,07	—
Cr ₂ O ₃	—	—	0,03	—
H ₂ O+	0,36	—	—	—
CoO	0,002	—	0,001	—
П. п. п.	0,98	—	1,08	—
Сумма	99,57	—	100,51	—
Ng'	1,704	—	1,712	—
Np'	1,678	—	1,680	—
cNg	43°	—	42—43°	—
Уд. вес	3,4	—	3,4	—
Ca ₄₀ Fe ₁₅	Mg _{48,3}	Fe _{11,1}	Ca ₄₅	Mg ₄₀ Fe ₁₅



Рис. 6. Постепенное замещение удлиненного зерна роговой обманки (серое) кварцем (белый фон). Периферические участки зерна роговой обманки превращены в лучистые агрегаты актинолита с более низким показателем преломления. Скв. 12883, глуб. 213 м, обр. 56, ув. 120; ник. 1.

массе крупночешуйчатый. Псевдоморфные замещения магнетита монокристаллами гематита также являются отличительной чертой руд этого месторождения. Крупнопластинчатый гематит иногда обнаруживает двойникование. Частично гематит, как и магнетит, развивается метасоматически по амфиболу. Химический состав монофракций рудных минералов железистых кварцитов и содержание в них элементов-примесей (по данным химического и спектрального анализов) представлены в табл. 7—8.

Кварц представлен несколькими генерациями. Зерна его неправильные, лапчатые с извилистыми ограничениями. Кварц, ассоциирующий с силикатными минералами, является новообразованным; он метасоматически замещает амфиболов, пироксен, биотит. Во многих шлифах видно, что силикатные минералы переполнены округлыми мелкими кварцевыми зернами (пойкилобластовая структура замещения), при этом включающий минерал более ранний, а включения — более поздние. Кварц, содержащийся в рудных полосках, имеет реликтовые формы, отчетливо замещается рудными минералами. К первой генерации (кварц 1) относятся мелкие зерна, образующие пойкилобластовую структуру замещения в амфибалах (размер 0,05—0,2 мм), и реликтовый кварц в магнетитовых полосках. Кварц 1 обычно замутнен пылевидными точечными газово-жидкими включениями, указывающими на его метасоматическое образование (Танатар, 1940; Половинкина, Розина, 1956). Кварц второй генерации (кварц 2) образует в породе широкие светлые полосы, обусловливая грубополосчатую текстуру. Размер зерен до 1—3 мм. Форма их лапчатая, с причудливо извилистыми очертаниями и агрессивными контактами с силикатными минералами. Такой кварц аналогичен жильному кварцу гидротермального происхождения. Газово-жидкие включения наблюдаются и в кварце 2.

Таблица 11

Содержание элементов-примесей в рудовмещающих породах и железистых кварцитах
Петровского месторождения по данным химического анализа, %

№ скважины и глуб., м	Ni	Co	Ti	Cr
Железистые кварциты				
12876, 339,5	—	0,015	0,03	—
12876, 435	—	0,015	0,03	Следы
12876, 382	—	0,014	0,03	0,04
12881, 243	—	0,003	0,05	0,08
12881, 285	—	0,014	0,03	0,06
12820, 336	—	0,054	0,01	—
12881, 295—317	—	0,04	0,03	—
12513, 274	0,018	0,008	0,46	0,003
12511, 25	0,018	0,006	0,5	—
1012, 10	0,15	0,008	0,29	0,003
1031, 23	0,018	0,007	0,32	0,003
1042, 9—11	0,015	0,008	0,21—0,30	0,005
Ортопороды				
12513, 204	0,008	0,05	0,27	0,12
12511, 198—229	0,018	0,009	0,46	0,003
285	0,018	0,003	0,29	0,19
12505, 173	0,12	0,011	Следы	0,20
12505, 167—171	0,15	0,011	Следы	0,28
12528, 380	—	—	0,2	0,28
12830, 336	—	0,054	0,1	—

Линейная ориентировка пузырьков хорошо совмещается с трещинами спайности реликтовых зерен амфибала. В кварце железистых кварцитов Петровского месторождения много кристаллических остаточных апатитов, которые раньше были включены в амфибол. Кварц, замещая амфибол, почти не координирует апатит.

Роговая обманка железистых кварцитов по соотношениям атомных количеств $Mg/Mg+Fe$ и Fe^{3+}/Fe^{2+} идентична роговым обманкам рудовмещающих пород (табл. 9). Непостоянный коэффициент замещения Mg на Fe (от 52 до 60) зависит, по-видимому, от степени интенсивности железистого метасоматоза. Присутствие наряду с обыкновенной роговой обманкой обесцвеченных реликтов актинолита свидетельствует о постепенном разложении минерала и о выносе железа (рис. 6).

Узкие выклинивающиеся сланцеватые линзовидные полосы агрегатов амфибала в железистых кварцитах (до 0,5 мм шириной) являются остатками исходной рудовмещающей породы. На периферии и внутри таких полос кварц и магнетит ведут себя агрессивно по отношению к амфиболу. Среди агрегатов амфибала отмечаются реликты пироксена.

Куммингтонит железистых кварцитов, а равно и вмещающих пород, содержит от 50 до 80% гранинитовой молекулы, его структурные взаимоотношения аналогичны обыкновенной роговой обманке.

Пироксен железистых кварцитов по содержанию атомов кальция, магния и железа (см. табл. 9) вполне сопоставим с диопсидом — салитами ультраосновных рудовмещающих пород (табл. 10).

Интересен тот факт, что в железистых кварцитах Петровского ме-

сторождения в тяжелой фракции совершенно отсутствуют кластические акцессорные минералы. Железистые кварциты Кривого Рога также не содержат обломочных терригенных минералов (Князев и др., 1969). Известно, что осадочные породы независимо от степени метаморфизма содержат кластические акцессории, служащие одним из критериев их происхождения и первоисточников осадочного материала.

Особенностью химического состава железистых кварцитов Петровского месторождения является наличие в них элементов-примесей, унаследованных от ультраосновных пород (табл. 11): кобальта, хрома, никеля, галлия, титана, меди.

Таким образом, для железистых кварцитов характерно широкое развитие в них кристаллобластовых структур замещения, т. е. метасоматических в трактовке Ю. Ир. Половинкиной (1966) и А. Г. Бетехтина и др. (1958). Гранобластовые структуры, типичные для метаморфических пород, почти отсутствуют. Метасоматические структуры железистых кварцитов Петровского месторождения обусловлены разъединением и замещением ранних минералов (амфибала, пироксена, биотита) более поздними: вначале кварцем, а затем рудными минералами. Одной из распространенных разновидностей структур для рудных полосок является скелетная, когда замещение силикатных окварцованных полосок магнетитом распространяется от центра к периферии (центробежный метасоматоз, по А. Г. Бетехтину, 1934).

Детальное изучение керна многих опорных скважин (около 6300 п. м.) показывает, что между железистыми кварцитами и метаультрабазитами резкие контакты отсутствуют. Как по падению, так и по простиранию между ними наблюдаются только постепенные переходы. Ширина переходной зоны — от 2 до 15 м.

Переход метаультрабазитов в железистые кварциты выражается в увеличении количества магнетита и кварца с одновременным постепенным уменьшением содержания силикатных минералов, вплоть до полного их исчезновения. В переходной зоне метаультрабазиты приобретают полосчатую текстуру, обусловленную окварцеванием вдоль плоскостей сланцеватости, т. е. наследующую сланцеватость метаультрабазитов. Ширина кварцевых полос такая же, как и в железистых кварцитах. С приближением к железистым кварцитам в метаультрабазитах появляется рассеянный магнетит (табл. 12). Чем ближе к рудам, тем количество последнего становится больше; он вытягивается в цепочки и самостоятельные тонкие прерывистые полоски, параллельные кварцевым и параллельно сланцеватости силикатных минералов. При этом количество амфибала и пироксена уменьшается.

ЗОНАЛЬНОСТЬ ЖЕЛЕЗИСТЫХ КВАРЦИТОВ

Микроскопическое изучение контактных зон перехода вмещающих пород в магнетитовые кварциты и их петрохимический анализ позволили нам выделить несколько минералого-генетических типов железистых кварцитов, в зависимости от состава исходных пород, развивающихся в определенных метасоматических зонах.

Представление о привносе и выносе вещества при метасоматических процессах дают химические анализы и расчеты количественного изменения вещества при метасоматозе. Расчет производился с учетом объемного веса по методу В. Г. Боголепова (1962).

1. Зона перехода измененного пироксениита в мономинеральную куммингтонитовую породу. Процесс куммингтонитизации вызван следующим

Таблица 12

Изменение состава пироксенитов в процессе куммингтонитизации, окварцевания и магнетитизации на Петровском месторождении

Компонент	Вес. %				Колич. компонентов в стандартной ячейке	Элемент	Абсолютная разница в ионах				Привнос — вынос Относительная разница, %		
	Пиро- ксенит		Окварци- ванный пироксе- нит				1—2		1—3				
			1	2	3	4			1—4	1	2	3	4
SiO ₂	46,19	41,08	44,91	50,16	131	146	167	163	+15	+32	0	11	24,4
Al ₂ O ₃	0,97	0,41	1,09	1,18	3,4	1,7	4,4	5,1	-1,7	+1	0	50	47
Fe ₂ O ₃	0,94	24,62	20,22	2,64	2,2	66	6,5	100,4	+64	+49	+4,4	320	2450
FeO	22,32	25,45	26,28	35,96	53	76	1	1	+23	+20	+47,4	0	90
TiO ₂	0,22	0,46	0,46	0,27	0,5	1	0,6	0,6	+0,5	+0,5	-43	0	-
CaO	15,53	3,45	1,15	1,01	4,7	13	4	4	-34	-43	0	72	90
MgO	9,30	3,21	3,93	5,75	39,2	17	19,4	28,4	-22,2	-20	-10	0	57
MnO	0,11	0,04	0,06	0,006	0,006	0,17	—	—	-0,17	—	—	—	3
P ₂ O ₅	0,27	0,28	0,26	0,092	0,7	—	—	—	—	—	—	—	—
K ₂ O	0,37	0,23	0,23	0,06	1,19	0,9	0,6	0,4	-0,29	-0,39	-1	0	—
Na ₂ O	0,51	0,39	0,32	0,22	2,7	2,6	2,0	1,2	—	0,7	-1,5	0	26
H ₂ O ⁺	0,24	0,43	0,23	0,11	41,5	12	35,6	44	—	—	—	23,4	80
H ₂ O ⁺	1,62	0,09	1,40	1,92	2,89	1	0,6	1,4	-29,5	-5,9	+3	0	55
CO ₂	0,74	0,25	0,15	0,32	—	—	—	—	-1,89	-2,29	-1,49	0	—
Сумма . . .	99,68	100,40	100,66	99,73	—	—	—	—	—	—	—	—	—
CoO	0,018	0,008	0,009	0,005	—	—	—	—	—	—	—	—	—
NiO	—	0,018	0,018	0,007	—	—	—	—	—	—	—	—	—
Cr ₂ O ₃	3,37	—	0,003	—	—	—	—	—	—	—	—	—	—
Объемный вес	18,04	3,65	3,46	3,40	—	—	—	—	—	—	—	—	—
Feобщ	1,62	37,01	34,57	29,73	—	—	—	—	—	—	—	—	—
S	—	—	—	—	—	—	—	—	—	—	—	—	—

П р и м е ч а н и е. 1 — пироксенит амфиболизированный с пирротином, скл. 12511, глуб. 229,1 м., обр. 44; 2 — пироксенит куммингтонитизированный, окварцированный, магнетитизированный, скл. 12511, глуб. 203,1 м., обр. 27; 3 — пироксенит куммингтонитизированный, магнетитизированный, скл. 12511, глуб. 202 м., обр. 26; 4 — мономинеральная крупнозернистая куммингтонитовая порода, скл. 12511, глуб. 189,5 м., обр. 21. Анализы выполнены в тресте «Днепрогеология» Е. С. Лазаревой.

перемещением вещества в ионах: привнос кремния (36), железа +3 (4,4), железа +2 (47,4); вынос кальция (43), магния (10), щелочей (2,5). Следовательно при изменении пироксенитов в амфиболовые мономинеральные породы привносится около 90% двухвалентного железа (табл. 13).

Изучение структурных особенностей рассматриваемых пород в шлифах показывает, что окварцевание и выделение магнетита происходит вслед за процессами куммингтонитизации.

2. Зона перехода мономинеральных амфиболовых пород в железистые кварциты. При изменении мономинеральных роговообманковых пород в гематит-магнетитовые кварциты происходит привнос железа +3 (94,4) и небольшого количества кремния (2,2%). Все другие петрофильные элементы становятся подвижными и выносятся. Значительно увеличивается количество общего железа (~90%). Двухвалентное железо, входившее в состав амфиболов, переходит в трехвалентную форму и выделяется в виде гематита. Это свидетельствует о повышении кислотности растворов в конце процесса рудообразования, так как вначале процесс происходил при недостатке кислорода, и железо выделялось в виде магнетита. Ничтожное количество Na, Ca, Mg, содержащееся в магнетитовых кварцитах, отвечает реликтам амфибола (табл. 14).

Таблица 13
Изменение состава роговообманкового сланца при переходе в магнетитовые кварциты (Петровское месторождение)

Компонент	Вес. %		Колич. катионов в стандартной ячейке	Элем- ент	Привнос — вынос		При- нос — вы- нос	
	Мономин. амфиболит	Магнети- товый кварцит			Абсолют- ная разни- ца в ионах			
		1	2	1	2			
SiO ₂	41,6	40,0	139	142	Si	+3	2,2	
Al ₂ O ₃	2,95	0,43	11,4	1,7	Al	-9,7	85	
Fe ₂ O ₃	2,65	37,86	6,5	101	Fe ³⁺	+94,4	1430	
FeO	32,46	17,89	90	53	Fe ²⁺	-3,7	41	
TiO ₂	0,13	0,03	0,2	—	Ti	-0,2	100	
CaO	5,80	0,60	21	1,9	Ca	-19,1	90	
MgO	6,0	1,14	30	5,8	Mg	-24,2	114	
MnO	0,14	0,03	—	—	Mn	—	—	
SO ₃	—	0,032	—	—	S	—	—	
P ₂ O ₅	0,299	0,161	0,8	0,4	P	-0,4	50	
K ₂ O	1,16	0,21	5,0	0,85	K	-4,25	85	
Na ₂ O	0,22	0,10	-12	0,85	Na	-0,35	30	
H ₂ O ⁺	4,77	0,63	105	14	OH	-91	87	
CO ₂	2,06	0,2	9	3,8	C	-5,2	58	
Сумма . . .	100,24	99,31	—	—	—	—	—	
Cr ₂ O ₃	0,04	0,06	—	—	—	—	—	
CoO	0,008	0,014	—	—	—	—	—	
Объемный вес	3,75	3,54	—	—	—	—	—	
Feобщ	27,08	40,46	—	—	—	—	—	

П р и м е ч а н и е. 1 — мономинеральная роговообманковая порода со вторичными минералами куммингтонитом, кварцем, биотитом. Скл. 12881, глуб. 295,5 м., обр. 51; 2 — магнетитовый кварцит с гематитом. Скл. 12881, глуб. 285,7 м., обр. 44. Анализы выполнены в тресте «Днепрогеология» Е. С. Лазаревой.

Таблица 14
Переходная стадия куммингтонитовой породы в окварцованный куммингтонитовый сланец с небольшим количеством магнетита (Петровское месторождение)

Компонент	Вес. %		Колич. катионов в стандартной ячейке		Элемент	Привнос — вынос		
	Мономинеральная куммингтонитовая порода	Магнетитовый кварцит	1	2		Абсолютная разница в ионах	Относительная разница, %	
			1	2		1	2	
SiO ₂	50,16	44,88	167	149	Si	-18	10,8	
Al ₂ O ₃	1,18	0,22	5	0,8	Al	-42	84	
Fe ₂ O ₃	2,64	16,99	6,4	42,4	Fe ³⁺	+36	562	
FeO	35,96	28,43	100,4	79,4	Fe ²⁺	-21	21	
TiO ₂	0,27	0,5	0,6	1,2	Ti	+0,6	100	
CaO	1,01	2,73	4	9,6	Ca	+5,6	140	
MgO	5,75	4,34	28,4	21,4	Mg	-7	24,6	
MnO	0,006	0,11	—	0,2	Mn	—	—	
SO ₃	0,05	0,05	—	—	S	—	—	
P ₂ O ₅	0,092	0,31	0,4	0,8	P	—	100	
K ₂ O	0,06	0,03	0,2	1,2	K	+1,1	500	
Na ₂ O	0,22	0,42	1,2	2,4	Na	+1,2	100	
H ₂ O ⁻	0,111	0,191	44	28,8	OH	-15,2	34,5	
H ₂ O ⁺	1,92	0,84	—	—	C	-0,4	30	
CO ₂	0,32	0,21	1,4	1,0		—	—	
Сумма . . .	99,73	—	—	—		—	—	
NiO	0,007	0,007	—	—		—	—	
CoO	0,005	0,005	—	—		—	—	
V ₂ O ₅	0,05	—	—	—		—	—	
Объемный вес	3,4	3,57	—	—		—	—	
Fe _{общ}	29,79	33,98	—	—		—	—	

Приложение. 1 — мономинеральная крупнозернистая куммингтонитовая порода, скв. 12511, глуб. 189,5 м, обр. 21; 2 — магнетитовый кварцит (слаборудный) с реликтами куммингтона, пироксена, скв. 12511, глуб. 198 м, обр. 25. Анализы выполнены в тресте «Днепрогеология» М. Е. Бабич.

При переходе куммингтонитовых пород в магнетитовые кварциты установлены такие перемещения элементов: привнос железа +3, (36), титана (0,6), кальция (5,6); вынос алюминия (4,2), железа +2 (21), магния (7). Железистый метасоматоз куммингтонитовых пород сопровождается также привносом железа, но в значительно меньшем количестве: содержание общего железа в них составляет 29,7, а в магнетитовых кварцитах — 33,9% (табл. 15).

Таким образом, метасоматические преобразования амфиболовых пород сопровождались привносом железа и повышением роли кислорода к концу процесса.

3. Зона перехода пироксенитов в железистые кварциты. Перемещение компонентов при железистом метасоматозе пироксенитов, залегающих в виде останца среди железистых кварцитов, показано в табл. 15. Этот процесс сопровождается выносом практически всех петрогенных компонентов и привносом большого количества железа. Общее железо увеличивается до 37,7% по сравнению с 5% в исходной породе. При переходе железистых кварцитов в магнетитовую руду происходит дополнительный привнос железа; в этом случае выносится в большом количестве только кремний.

Таблица 15

Компонент	Вес. %		Колич. катионов в стандартной ячейке		Элемент	Привнос — вынос		Относительная разница, %		
	Пироксенит	Магнетитовый железистый кварцит	Руда	1		1—2	2—3			
SiO ₂	48,0	41,9	17,4	145,4	65	-5,4	-80,4	55		
Al ₂ O ₃	3,11	1,33	0,12	11,0	0,5	-5,8	-10,5	53,0		
Fe ₂ O ₃	1,53	51,72	56,37	3,3	159,0	+126,7	+155,7	380,0		
FeO	5,05	2,02	23,37	13	73	-7,4	+60	4720		
TiO ₂	0,16	0,03	0,03	0,4	—	-0,4	-0,4	461		
CaO	21,40	0,4	0,20	70	1,4	-68,6	-69	100		
MgO	14,02	1,08	0,50	63	5,4	-57,6	-58	98		
MnO	0,08	0,01	0,09	0,2	—	-0,2	-0,2	91		
SO ₃	0,048	0,026	0,243	—	0,2	-0,2	-0,2	100		
P ₂ O ₅	0,11	0,051	0,037	—	0,4	-0,3	-0,3	60		
K ₂ O	0,35	—	0,10	0,10	1,3	-1,3	-1,3	—		
Na ₂ O	0,27	0,16	—	1,46	0,8	-3,4	-3,4	51		
H ₂ O ⁻	—	—	—	12	3,4	-20,2	-19,8	100		
CO ₂	5,78	0,61	0,67	23	3,2	—	—	90		
Сумма . . .	100,39	99,43	—	—	—	—	—	—		
Cr ₂ O ₃	0,08	0,04	—	—	—	—	—	—		
СоO	—	0,008	—	—	—	—	—	—		
Объемный вес	3,04	3,50	3,74	—	—	—	—	—		
Fe _{общ}	5,0	37,77	57,62	—	—	—	—	—		

Приложение. 1 — мономинеральная крупнозернистая куммингтонитовая порода (пироксенит), карбонатизированная, амфиболизированная, гранитизированная (остаточные линзы среди железистых кварцитов), скв. 12876, глуб. 397 м, обр. 48; 2 — гематит-магнетитовый кварцит с реликтами спилактов, скв. 12876, глуб. 382 м, обр. 42; 3 — существенно магнетитовая порода (рудка), скв. 12876, глуб. 339 м, обр. 31. Анализы выполнены в тресте «Днепрогеология» А. В. Хазинман, Е. С. Плазарой.

Петрографическое изучение свидетельствует об интенсивном выщелачивании кварца и замещении его магнетитом. Изменение содержания общего железа выражается в следующих количествах: пироксенит 5, железистый кварцит 37,77, магнетитовая руда 57,62%.

4. Зона перехода гранат-биотитового сланца в магнетитовый кварцит с реликтами биотита и граната. Изменение состава гранат-биотитового сланца при окварцевании, магнетизацию выражается в привносе кремния, железа, титана и выносе щелочных земель, щелочей и фосфора (табл. 16).

Изменения в сланце обусловлены поступлением сильно железистых растворов. При метасоматозе растворы обогащаются щелочными землями и щелочами. Вычисленное перемещение компонентов подтверждается и минералогическими преобразованиями в сланце: биотит и гранат разлагаются с выделением кварца. Образование последнего способствует также дополнительный привнос кремния. Двухвалентное железо, содержащееся в биотите и частично гранате, переходит в магнетит, а значительный привнос Fe^{3+} растворами обуславливает массовое выделение магнетита. При метасоматозе не происходит полного удаления из породы Na, K, Mg, Ca, так как в железистых кварцитах всегда видны остатки выщелоченных силикатных минералов: граната, биотита.

ГЕНЕЗИС МАГНЕТИТОВЫХ И ГЕМАТИТ-МАГНЕТИТОВЫХ КВАРЦИТОВ

Рассмотренные здесь минеральные преобразования рудовмещающих метаультрабазитов, особенности метасоматической зональности и расчет баланса привноса и выноса вещества свидетельствуют о проявлении следующих этапов гидротермального метасоматизма исходных пород (табл. 17).

Первый этап — натрово-железистый метасоматоз пироксенитов с образованием мономинеральных амфиболовых метасоматитов (роговообманковых и грюнеритовых пород). Метасоматическое замещение пироксена амфиболами протекало с привносом железа до 12% в условиях недостатка кислорода. Развитие роговой обманки сопровождалось также привносом натрия и алюминия.

Более поздние тектонические напряжения и дифференция выразились в появлении среди амфиболовых пород существенно биотитовых и гранат-биотитовых тонкосланцеватых пород, связанных с калиевым метасоматозом.

Второй этап характеризуется повышением кислотности растворов, что вызывает выщелачивание пироксена, амфиболов, биотита с выделением кварца. Освобожденное железо отлагалось здесь же в виде магнетита. При замещении кварцем крупных зерен амфибала реликты его сохраняют свою ориентировку и угасают одновременно, что указывает на спокойную обстановку метасоматоза, без катаклаза.

Выделение основной массы магнетита происходило в конечную стадию второго этапа с существенным привносом железа, путем метасоматического замещения темноцветных минералов и кварца. Гематит кристаллизовался, по-видимому, в эту же стадию, но позже магнетита. Железо при образовании магнетита и гематита могло мигрировать в виде бикарбонатов, хлоридов, комплексных соединений со щелочами и другими компонентами, следы воздействия которых обнаруживаются

Таблица 16

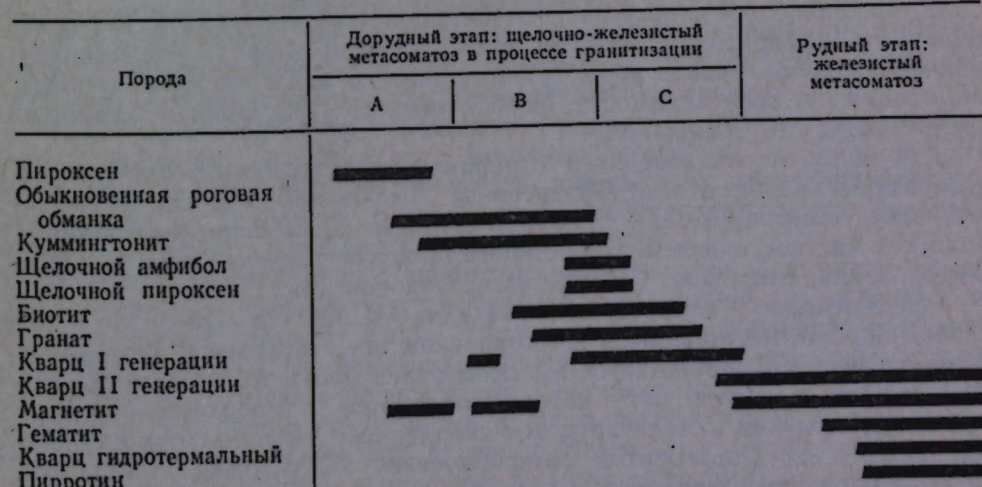
Изменение состава гранат-биотитового сланца в зоне развития магнетитовых кварцитов на Петровском месторождении

Компонент	Вес. %		Колич. катионов в стандартной ячейке		Элемент	Привнос — вынос			
	Сланец	Кварцит	1	2		1—2	Абсолютная разница в ионах		
			1	2		1—2	1	2	
SiO_2	56,83	61,09	164	181	Si	+17	0	10,4	
Al_2O_3	4,53	3,58	15	12	Al	-3	0	20	
Fe_2O_3	3,71	12,90	8	29	Fe^{3+}	+21	0	362,5	
FeO	16,00	17,43	39	43	Fe^{2+}	+4	0	10,2	
TiO_2	0,29	0,46	0,7	1	Ti	+0,3	0	43	
CaO	9,19	1,72	29	5	Ca	-24	0	362,5	
MgO	5,78	1,44	25	6	Mg	-19	0	76	
MnO	0,03	0,003	—	—	Mn	—	1	—	
SO_3	0,02	0,07	—	—	S	—	—	—	
P_2O_5	0,25	0,18	0,5	0,3	P	-0,2	0	40	
K_2O	0,46	0,30	1,6	0,5	K	-1,1	0	70	
Na_2O	0,62	0,36	3,5	0,9	Na	-2,6	0	74	
H_2O^+	0,10	0,07	14	11	OH	-3	0	21,4	
H_2O^-	0,68	0,46	14	11	C	-4,2	0	75	
CO_2	1,45	0,35	5,6	1,4					
Сумма	99,94	100,41							
NiO	0,018	0,018							
CoO	0,003	0,008							
Cr_2O_3	0,014	0,003							
Объемный вес	2,93	3,0							
Fe _{общ}	15,02	22,57							

Приложение. 1 — существенно гранат-биотитовый сланец, окварцованный, магнетитизированный, скв. 12513, глуб. 273, обр. 50; 2 — магнетитовый кварцит, полосчатый с реликтами биотита и граната, скв. 12513, глуб. 273,1 м, обр. 50. Анализы выполнены в тресте «Днепрогеология» М. В. Бабич.

Таблица 17

Этапы метасоматоза и рудной минерализации ультрабазитов западной полосы Правобережного района (Кривбасс)



во вмещающих породах. Связь магнетитового оруденения со щелочным метасоматозом установлена И. И. Танатаром (1940).

Карбонатизация проявилась в заключительную стадию рудообразования и выразилась в формировании метасоматических строений сдерживающих карбонатных пород.

Полосчатость в железистых кварцитах вторична и наследует сланцеватость исходных метаультрабазитов, так как метасоматические процессы замещения кварцем и магнетитом, ориентированные по сланцеватости темноцветных минералов, распространялись вдоль ослабленных рассланцованных зон.

Толща железистых кварцитов по текстурно-структурным и динамическим особенностям минеральных агрегатов резко неоднородна. Линзы пироксенитов имеют массивно-зернистое строение со следами окварцевания и магнетитизации. Амфиболовые полоски и линзы обладают четкой кристаллизационной сланцеватостью, несут следы давления, катаклаза и являются ранними минералами по отношению к кварцу и магнетиту. Кварцевые и амфибол-рудные полоски — это новообразованные участки с массивной зернистой текстурой, где темноцветные минералы выступают как реликты. В кварце и магнетите стрессовые структуры отсутствуют.

Образование железистых кварцитов и наблюданную метасоматическую зональность в процессе двух этапов гидротермального метасоматоза в принципе можно объяснить, исходя из гипотезы восходящих гранитизирующих растворов П. Термье, развитой Д. С. Коржинским (1962) в результате магматического замещения меланократовых пород архейского субстрата под воздействием «сквозьмагматических» растворов.

Рудовмещающие метаультрабазиты Петровского месторождения, залегающие в виде «останцев» среди мигматит-гранитов, испытывали процессы гранитизации. Амфиболизация и последующий калиевый метасоматоз, широко проявившийся в архейских ультрабазитах, отражают начальные стадии гранитизации. Меланократовые гнейсы, амфиболиты, мигматиты, гранитоиды и белые кварциты к западу от Кременчугско-Криворожской подвижной зоны с «впаянными» в них останцами метаультрабазитов соответствуют промежуточным и завершающим стадиям гранитизации.

К завершающей и постгранитизационной стадиям относится формирование диафторитов за счет метаультрабазитов в зонах рассланцевания во внешнем фронте зоны гранитизации. В этих же зонах и в эти же стадии, по всей видимости, формировались и железистые кварциты Петровского месторождения.

Как видно из приведенного материала, гидротермально-метасоматическое преобразование ультрабазитов на Петровском и других аналогичных ему месторождениях западной полосы Правобережного района является частым звеном в ходе общего процесса гранитизации (Князев, Федоровская, Еременко, 1972; Князев, Федоровская, 1976).

Гранитизация и гидротермальный метасоматоз ультрабазитов и базитов, широко проявившиеся в Украинском щите в архее и протерозое, должны были сопровождаться выносом очень большого количества железа, магния, кальция, часть которых мигрировала в верхние зоны земной коры, положив начало крупным скоплениям железных руд и сопровождающих их диафторитов (амфиболовые, биотитовые, тальковые, тальк-карбонатные, хлоритовые и другие сланцы).

В целом процесс гранитизации во внутреннем ее фронте ведет к расщеплению и удалению рудных компонентов, а во внешнем — к их накоплению в зонах преимущественной циркуляции. При гранитизации исходные ультрабазиты и базиты постепенно и последовательно замещаются амфибол-биотит-полевошпат-кварцевой минеральными ассоциациями с выносом сильных оснований (кальция, магния, железа). Эти компоненты отлагаются в зонах диафтореза в заключительную стадию гранитизации.

Преимущественное отложение магнетита и гематита именно в железистых кварцитах, а не в других породах, обычно с некоторым отставанием во времени от кварца, возможно, обусловлено влиянием на осаждение железа пьезоэлектрических токов, возникавших в кварце под воздействием стресса в период рудообразования. Этим же можно объяснить частое нахождение других рудных минералов и золота в жильном кварце. Пьезоэлектроактивен, по-видимому, в большей степени кварц, кристаллизовавшийся непосредственно перед отложением рудных минералов.

Значение естественных электрических токов в эндогенном рудообразовании рассмотрено на примере сульфидных месторождений (Князев, Сейфуллин, 1966; Карасев и др., 1969; Князев и др., 1969).

Выводы

1. Магнетитовые и магнетит-гематитовые железистые кварциты Петровского месторождения локализованы в зонах рассланцевания среди архейских гранитизированных ультрабазитов и метаультрабазитов. Контакты между ними нерезкие.

2. Вмещающие ультрабазиты подразделены на две группы: 1) ультрафербазиты ($M/F=3-4$); 2) железистые перidotиты ($M/F=0,2-1,7$) — аналоги каменных метеоритов. В позднем архее — раннем протерозое они подвергались процессам гранитизации, регressiveного метаморфизма и рудного метасоматоза в последовательности исходные ультрабазиты → амфиболизация → локальный патровый метасоматоз → биотитизация → фельдшпатизация → окварцевание → магнетитизация → локальная сульфидная минерализация.

3. В железистых кварцитах и в приконтактовых с ними зонах широко и отчетливо развиты коррозионно-метасоматические структуры: замещение кварцем и магнетитом темноцветных минералов.

4. Полосчатые текстуры железистых кварцитов являются вторичными, наследующими сланцеватость исходных пород.

5. Состав темноцветных минералов, вмещающих метаультрабазитов и железистых кварцитов идентичен. Им свойственны также сходные элементы-примеси (cobальт, никель, титан, хром).

6. В составе железистых кварцитов выделено две ассоциации минералов: пироксен-амфибол-биотитовая (более ранняя, реликтовая) и кварцево-гематит-магнетитовая (более поздняя, новообразованная).

7. Подсчет баланса вещества при формировании метасоматической зональности в процессе превращения метаультрабазитов в железистые кварциты показывает интенсивный привнос железа и в незначительном количестве — кремнезема. Все другие петрогенные компоненты (магний, кальций, калий, натрий) в процессе рудного метасоматоза выносились.

Таким образом, приведенный фактический материал свидетельствует о метасоматическом генезисе железистых кварцитов Петровского месторождения. Это классический пример эндогенного формирования железистых кварцитов за счет метаультрабазитов.

ЛИТЕРАТУРА

- Бетехтин А. Г. О текстурах и структурах руд.—Проблемы советской геологии, 1934, т. IV, № 9.
- Бетехтин А. Г., Генкин А. Д., Филимонова А. А., Шадлин Т. Н. Текстуры и структуры руд. М., Госгеолтехиздат, 1958.
- Боголепов В. Г. Пересчет химических анализов горных пород при изучении метасоматических процессов.—Изв. АН СССР, сер. геол., 1962, № 1.
- Заваринский А. Н. Изверженные горные породы. М., Изд-во АН СССР, 1956.
- Заваринский А. Н., Кваша А. Г. Метеориты СССР. М., Изд-во АН СССР, 1952.
- Карасев А. П., Киязев Г. И., Красников В. И., Сейфуллин Р. С. Влияние электрофизических свойств сульфидов и электрохимических явлений на процессы гидротермального рудообразования.—Геология и геофизика, 1969, № 11.
- Киязев Г. И., Сейфуллин Р. С. К проблеме гидротермального сульфидного рудообразования.—Геология и геофизика, 1966, № 6.
- Киязев Г. И., Решитко В. А., Федоровская Л. И. О генезисе железистых кварцитов.—Изв. АН СССР, сер. геол., 1969, № 12.
- Киязев Г. И., Федоровская Л. И., Еременко М. А. Тектонометасоматические факторы образования железистых кварцитов Среднего Приднепровья.—Метасоматизм и рудообразование. Краткие тезисы к конференции. М., 1972 (ВСЕГЕИ).
- Киязев Г. И., Федоровская Л. И. Процессы формирования докембрийских кварцево-магнетитовых метасоматитов Правобережного района Кривбасса.—Труды Первого Всесоюзного совещания «Металлогения докембра», вып. 2. Ленинград, 1976.
- Коржинский Д. С. Проблемы физико-химической теории петрологических процессов.—Изв. АН СССР, сер. геол., 1962, № 1.
- Коробко Н. И., Мороз Н. И., Хитрон Б. Е. Геологическая позиция и промышленное значение Петровского месторождения железистых кварцитов.—Геологический ж. АН УССР, 1971, вып. 5.
- Нематов А. Определение орто- и парапород метаморфической серии методом треугольной диаграммы.—Узбекский геологический ж., 1969, № 4.
- Половинкина Ю. Ир. Структуры и текстуры изверженных и метаморфических пород, ч. II, т. I. М., «Недра», 1966.
- Половинкина Ю. Ир., Розина Б. Б. Железистые кварциты Караскпая.—Материалы ВСЕГЕИ, нов. сер., 1956, вып. 8.
- Семененко Н. П. Метаморфизм подвижных зон. Киев, «Наукова думка», 1966.
- Соболев Н. Д. К петрохимии ультраосновных горных пород.—Геохимия, 1959, № 3.
- Танатар И. И. Петрографическая и геохимическая характеристика пород Кривого Рога в связи с вопросом их корреляции.—Уч. зап. Днепропетровского ун-та, 1940, т. XVII, вып. 1.
- Федоровская Л. И. Петрографические особенности железистых кварцитов Петровского месторождения.—Проблема метаморфогенного рудообразования. Киев, «Наукова думка», 1969.
- Четвериков С. Д. Руководство к петрохимическим пересчетам. М., Гостехголиздат, 1956.

М. Н. ДЭВИ

О МЕТАСОМАТИЧЕСКОМ ПРОИСХОЖДЕНИИ
ЖЕЛЕЗИСТЫХ КВАРЦИТОВ
ЧАРСКОЙ ГРУППЫ МЕСТОРОЖДЕНИЙ

Чарская группа месторождений железистых кварцитов расположена на севере Читинской области в юго-восточной части Чарской глыбы и включает два основных участка: Сулуматский и Нижнесакуканский, а также несколько более мелких. По данным исследователей этого района, железистые кварциты входят в состав метаморфической толщи, которую одни геологи относят к чарской серии нижнего архея (Салоп, 1964; Щербакова, 1973), а другие — к борсалинской серии верхнего архея (Миронюк, 1967). Железистые кварциты входят в состав давачанской свиты чарской серии; рудоносные горизонты приурочены к крыльям (главным образом к восточному крылу) Дербагелянского антиклиниория и к синклиналям более высокого порядка в его центральной части (В. И. Колесников, В. С. Шурыгина, устное сообщение). Одни авторы рассматривали железистые кварциты как первично-осадочные образования (Щербакова, 1973), другие — как продукт перерождения ультраосновных пород (Шахов, 1967, 1969).

Метаморфические породы Чарской серии в сильнейшей степени изменены и замещены плагиогранито-гнейсами куандинского комплекса (PR_1), и по левобережью р. Чары от устья Нижнего Сакуана на юге до устья р. Торы на севере первые слагают среди вторых лишь сравнительно небольшие островки, занимая не более 10—15% общей площади. Железистые кварциты (называемые иами также магнетит-силикат-кварцевыми сланцами) залегают как среди пород метаморфической серии, так и среди плагиогранито-гнейсов; значительно реже — среди измененных ультраосновных и основных пород.

Железистые кварциты образуют тела пластовой, реже линзовидной формы. Рудоносные зоны, включающие первые десятки кулисообразно расположенных пластов и линз, вытянуты в субмеридиональном направлении и имеют протяженность от 10 до 25 км, а с перерывами прослеживаются на Сулуматском участке более чем на 60 км. Мощность таких рудоносных зон составляет от 10 до 400 м и в южной части Сулуматского участка достигает 1000 м, а мощность отдельных пластов и линз железистых кварцитов — от первых сантиметров до 40—50 м, изредка до 100 м. Коэффициент рудоносности колеблется от 0,05 до 0,8 и в среднем близок к 0,5. Обычно он уменьшается с увеличением общей мощности рудоносных зон.

Пласти железистых кварцитов залегают моноклинально, преобладают крутые углы падения. Реже пласти и линзы смяты в синкли-

иальные складки, ось которых обычно круто падает на север. Амплитуда структур составляет от десятков до первых сотен метров; наблюдаются мелкая складчатость и плойчатость.

Наиболее типичные железистые кварциты Чарской группы состоят из примерно равных количеств магнетита, кварца и силикатов. Нередко количество магнетита понижается до 10 или повышается до 50 и даже до 80%, количество силикатов изменяется от 5 до 70% и кварца — от 20 до 70%. Изредка встречаются и бескварцевые разности.

Редко в породе встречается железная слюдка в количестве до 10—12%; мартит наблюдается часто, но его количество, как правило, не превышает 1—2%, в единичных случаях степень мартитизации магнетита повышается до 50—75%.

Из силикатов обычно встречается обыкновенная роговая обманка; с ней ассоциирует куммингтонит, широко распространены гиперстен и гранат (в основном в Нижнесакуканском и в южной части Сулуматского участков). Реже встречаются моноклинный пироксен, актинолит, антофиллит, биотит, хлорит, эпидот. Образование последних трех минералов всегда связано с наложенным низкотемпературным изменением породы.

В небольших количествах (обычно доли и до 1—2%) встречаются апатит, пирит, пирротин и лимонит, который развивается в основном по сульфидам, реже выполняет мелкие прожилки. Редко наблюдаются сфалерит, халькопирит, турмалин, сфен, кальцит, доломит, мусковит, циркон, ортит, арсенопирит.

В единичных знаках встречены в анилифах и протолочках рутил, галенит, валлерит (?), мончейт (?).

Железистые кварциты макроскопически представляют собой темно-серые, почти черные, мелко-, реже тонкозернистые породы с полосчатой, гнейсовидной, реже вкрапленной массивной текстурой.

Наиболее характерна ясная полосчатая текстура, где полоски, обогащенные магнетитом до 60—80, реже до 90%, чередуются с полосками, сложенными преимущественно кварцем. Магнетита в последних от 3 до 10%. Силикаты в одних случаях сосредоточены в слойках вместе с магнетитом, в других — вместе с кварцем, иногда равномерно распределены по породе. Наибольшее количество силикатов наблюдается в массивных или близких к ним разностях пород.

Ширина слойков 2—4 мм, но встречаются разности с большей (до 6—8 мм) или меньшей (до 1—2 мм) их шириной. Размер зерен минералов 0,2—0,6 мм, в тонкозернистых разностях он достигает сотых долей миллиметра и на отдельных участках — 1—2 мм.

Зерна магнетита имеют удлиненную форму. Отношение их наибольшего и наименьшего размеров чаще всего колеблется от 1,5 до 3. Отдельные зерна обнаруживают признаки идиоморфизма. Изредка наблюдается типичная или слабо выраженная сидеронитовая структура. В обедненных магнетитом слойках он обычно более мелкозернистый, здесь чаще встречаются идиоморфные зерна. В центральной части более крупных зерен пироксенов, амфиболов и граната наблюдается мелкая (до 0,01—0,02 мм) эмульсионная вкрапленность округлых зерен магнетита.

Породы метаморфической серии представлены биотитовыми и амфибол-биотитовыми мезолитовыми плагиогнейсами, иногда с силлиманитом, ставролитом, кордиеритом, и связанными с ними постепенными переходами биотит-кварцевыми, амфибол-биотит-кварцевыми, гранат-

биотит-кварцевыми сланцами с переменным количеством плагиоглаза, иногда с силлиманином, ставролитом, кордиеритом, изредка с гиперстеном. В породах метаморфической серии залегают согласные тела амфиболитов, имеющие форму пластов или тонких линз. Нередко наблюдаются небольшие массивы перidotитов, пироксенитов и развивающихся по ним серпентинитов и ахимономинеральных амфиболовых пород иногда с небольшим количеством биотита, талька и магнетита. Ультрабазиты и замещающие их породы образуют тела, имеющие в плане форму толстых линз с тупыми ограничениями по простирианию. С ультрабазитами пространственно, по-видимому, и генетически связаны сравнительно мало распространенные тела эвлизитов и близких к ним пород переменного состава.

Железистые кварциты залегают среди гнейсов и сланцев метаморфической серии и реже в контакте с ультрабазитами главным образом в северной и средней частях Сулуматского участка. Замещающие породы рудной зоны почти повсеместно, хотя и с различной интенсивностью, подвергнуты милонитизации, катаклизу и последующему бласкезу, на больших участках они превращены в типичные бластомилониты.

Макроскопически такие разности напоминают тонкозернистые кварциты, часто с крупными порфиробластами новообразованного амфибола. В шлифах под микроскопом можно видеть, что минералогический состав основной ткани породы отвечает лейкократовому плагиогнейсу. В более крупных реликтовых зернышках плагиоклаза № 22—30 видны многочисленные пересекающиеся зонки дробления. Небольшие линзы таких бластомилонитов, иногда будинированные, встречаются и внутри пластов железистых кварцитов обычно вблизи их контактов (рис. 1).

Железистые кварциты не несут при этом никаких следов милонитизации и, следовательно, образовались позднее, чем вмещающие их породы. Бластомилониты вблизи контактов с железистыми кварцитами часто пронизаны сетью прожилков магнетит-силикат-кварцевого, силикат-кварцевого и силикатного состава. Эти прожилки отходят от контактов с железистыми кварцитами и имеют близкий с ними минералогический состав. Редко наблюдаются более мощные (до нескольких дециметров) зоны типичных полосчатых железистых кварцитов, которые развиваются по брекчированым бластомилонитам (рис. 2).

Подобные взаимоотношения железистых кварцитов и бластомилонитов отмечались М. Т. Козловым (1969) на Кольском полуострове.

В южной части Сулуматского и на Нижнесакуканском участках плагиогнейсы и развивающиеся по ним бластомилониты в основном замещены раннепротерозойскими плагиогранито-гнейсами куандинского комплекса. Частичному замещению подвергаются и железистые кварциты, но последние проявляют к этому процессу значительно большую устойчивость, чем вмещающие породы, образуют реститы.

На контакте и вблизи контакта железистых кварцитов и плагиогранито-гнейсов нередко развиваются пластообразные тела кварцевых, слюдисто-кварцевых, гранат-кварцевых, гранат-слюдисто-кварцевых и слюдисто-амфибол-кварцевых метасоматитов. Иногда в них встречаются силлиманит, ставролит и кордиерит. Некоторые разновидности этих пород по составу и по облику трудно отличить от соответствующих разновидностей сланцев метаморфической серии, единственное четкий критерий отличия — их возрастные отношения с куандинскими плагиогранито-гнейсами, которые замещают сланцы метаморфической серии, но сами замещаются соответствующими метасоматитами.



Рис. 1. Реликты бластомионитов, образовавшихся по лейкократовым плагиогнейсам среди железистых кварцитов. Последние не милонитизированы. $\times 20$.



Рис. 2. Пласт полосчатых железистых кварцитов, метасоматически развивающийся по зоне брекчирования в лейкократовых бластомионитах. $\times 20$.

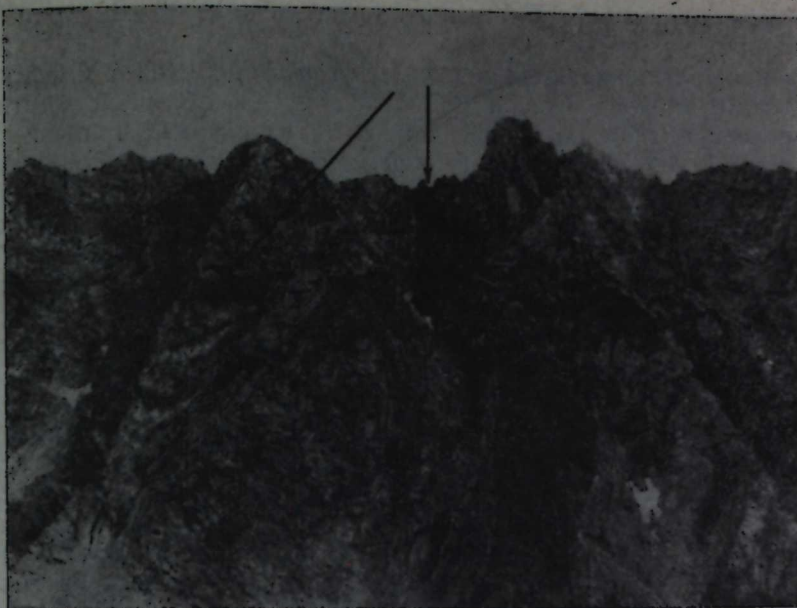


Рис. 3. Пластообразные и линзовидные тела железистых кварцитов (показаны стрелками) секут полосчатость плагиогранитизированных гнейсов. Вблизи левого края снимка — диабазовая дайка.

Наиболее широко представлены в различной степени окварцованные разновидности плагиогранито-гнейсов, образующие непрерывный ряд постепенных переходов к кварцевым метасоматитам с биотитом, реже с мусковитом и с силлиманитом в южной части Сулуматского участка в районе ключа Березовый. Полностью и неполностью замещенные породы в результате будинирования местами приобрели конгломератовидный облик.

Во всех разновидностях метасоматитов и в плагиогранито-гнейсах вблизи рудных зон в Сулуматском участке наблюдается турмалин, количество его в отдельных образцах достигает 10%.

В южной части Нижнесакуканского участка в гигантском обнажении, высотой до 500 м, видно секущее положение пластообразного тела железистых кварцитов к полосчатости плагиогранитизированных гнейсов (рис. 3).

От главной рудной зоны в породы лежачего бока отходит несколько апофиз. Вмещающие плагиогранитизированные гнейсы вблизи контактов с железистыми кварцитами интенсивно окваркованы, местами замещены гранат-кварцевыми метасоматитами. Вместе с тем в железистых кварцитах проявлена слабая мигматизация. По-видимому, плагиогранитизация имела место после образования железистых кварцитов, но последние подверглись ультраметаморфизму в меньшей степени, чем вмещающие гнейсы. Происхождение железистых кварцитов, образующих секущее тело, естественно, не может быть первично осадочным.

По всему окружающему району в плагиогранито-гнейсах наблюдаются многочисленные реликты амфиболитов. Их наименее измененные процессами ультраметаморфизма разности состоят из примерно рав-

ных количеств роговой обманки и плагиоклаза № 35—42 при отсутствии кварца.

Хорошо прослеживаются переходы от амфиболитов к биотит-амфиболовым меланократовым, а от последних — к обычным биотитовым мезолитовым плагиогранито-гнейсам. В одних случаях процесс плагиогранитизации развивается более или менее равномерно по всей массе породы, в других ему предшествует мигматизация. По субпараллельным прожилкам развивается лейкократовая неосома, одновременно палеосома подвергается раскислению, номер плагиоклаза снижается до 18—30, уменьшается количество темноцветных минералов, амфиболов в большей степени замещается биотитом, появляется кварц, и его количество плавно увеличивается от менее к более измененным разностям. В наиболее сохранившихся амфиболитах наблюдаются реликты офитовой, габбро-офильтовой и порфиро-офильтовой структур, что говорит о происхождении амфиболитов за счет основных пород типа диабазов, габбро-диабазов и диабазовых порфиритов. Принимая во внимание значительную крупность зерен минералов в этих реликтах (1—2,5 мм), вряд ли можно предполагать экструзивное происхождение указанных пород. Резкое различие в составе амфиболитов и замещающих их плагиогранито-гнейсов указывает на то, что формирование последних в данном случае не было изохимическим процессом. При замещении амфиболитов плагиогранито-гнейсами высвобождались большие количества железа и магния, что делает вполне правомерным предположение о формировании железистых кварцитов Чарской группы в результате процесса базификации (Судовиков, 1956; Коржинский, 1970; Жданов и Малкова, 1973; Қазицин, Ланда, 1975).

Вынесенные при замещении амфиболитов и менее распространенных ультраосновных пород железо и магний переотлагались в ослабленных участках, которыми в первую очередь оказывались долгоживущие разломы, сопровождаемые зонами бластомилонитов:

Чаще наблюдается развитие метасоматических железистых кварцитов по лейкократовым бластомилонитам, образовавшимся за счет плагиогнейсов и сланцев, реже — по милонитизированным и катаклизированным ультрабазитам.

Последовательность основных этапов формирования пород представляется в следующем виде:

- 1) первично осадочные, вулканогенные (по-видимому, в основном силловые) и интрузивные породы архея;
 - 2) формирование плагиогнейсов, амфиболитов и других пород в результате регионального метаморфизма и сравнительно слабо проявившегося ультраметаморфизма I (AR_1 ?);
 - 3) милонитизация и бластез I;
 - 4) окварцевание I, образование метасоматических железистых кварцитов и мощная плагиогранитизация (PR_1 ?);
 - 5) милонитизация и бластез II;
 - 6) окварцевание II, образование турмалина и позднего силлиманита;
 - 7) образование пегматоидов, микроклинизация;
 - 8) локальный диафторез вдоль зон тектонических нарушений, сохранивших свою подвижность.

Наиболее сложный вопрос: все ли железистые кварциты Чарского района имеют метасоматическое происхождение? Эти породы имеют сходный облик, минеральный и химический состав (таблица) на уча-

Химический состав железистых кварцитов Чарской группы месторождений, вес. %								
Компонент	11102	11112	11117	11123	11136	11139	11142	11148
SiO ₂	44,90	51,64	59,20	47,80	43,62	42,40	44,10	46,78
TiO ₂	0,17	0,10	0,17	0,17	0,20	0,37	0,30	0,30
Al ₂ O ₃	3,91	1,30	1,30	2,97	1,47	1,53	3,01	3,18
Fe ₂ O ₃	25,82	25,04	19,96	23,13	28,84	28,63	25,26	24,84
FeO	15,80	15,80	15,80	20,10	19,31	21,54	22,98	20,64
MnO	0,15	0,23	0,19	0,20	0,18	0,13	0,22	0,15
MgO	3,95	3,35	1,77	3,35	3,40	2,69	1,77	2,05
CaO	3,29	1,64	0,82	2,05	1,82	1,43	1,98	1,54
Na ₂ O	1,45	0,15	0,15	0,20	0,20	0,30	0,20	0,30
K ₂ O	0,30	0,20	0,10	0,20	0,35	0,40	0,30	0,25
P ₂ O ₅	0,19	0,11	0,09	0,10	0,16	0,18	0,18	0,12
S	0,017	0,022	0,022	0,03	0,04	0,07	0,07	0,05
ZrO ₂	0,003	<0,003	<0,003	<0,003	<0,003	<0,003	<0,003	<0,003
ΣTPR	0,004	0,004	0,004	0,006	0,006	0,002	0,004	0,024
Cr ₂ O ₃	0,0017	0,0077	0,0031	0,0027	0,0016	0,0012	<0,001	0,0039
V ₂ O ₅	<0,01	<0,01	<0,01	<0,01	<0,01	<0,01	<0,01	<0,01
П. п. п.	0,02	He обн.						
Сумма . . .	99,95	99,55	100,27	99,55	99,60	100,30	100,30	100,15

стках, где явно видны признаки их метасоматического происхождения и там, где таких признаков нет.

Следует подчеркнуть, что следы метасоматического происхождения проявлены на контактах именно главного рудного тела в северной части Сулуматского участка, а в зоне бластомилонитов I лежит более двух третей длины рудной зоны этого участка.

Таким образом, наиболее вероятно, что первично осадочные или вулканогенно-осадочные железистые кварциты в Чарской группе месторождений отсутствуют.

ЛИТЕРАТУРА

- Жданов В. В., Малкова Т. И. Происхождение железистых кварцитов зон баз. фикации. Л., «Недра», 1973.
- Казицын Ю. В., Ланда Э. А. Об историко-геологическом направлении в учении о метасоматизме.—Метасоматизм и рудообразование. М., «Недра», 1975.
- Козлов М. Т. Метасоматические железистые кварциты Кольского полуострова.—Проблемы образования железистых пород докембрия. Киев, «Наукова думка», 1969.
- Коржинский Д. С. Проблемы метасоматических процессов.—Проблемы метасоматизма. М., «Недра», 1970.
- Миронюк Е. П. Новые данные по стратиграфии докембрая северо-западной части хр. Станового.—Докембр восточных районов СССР. Л., «Недра», 1967.
- Салоп Л. И. Геология Байкальской горной области.—Стратиграфия, т. 1. М., «Недра», 1964.
- Судовников Н. Г. Железо-магнезиально-кальциевый метасоматоз в архее Алданского щита и некоторые вопросы «основного фронта».—Изв. АН СССР, сер. геол., 1956, № 1.
- Шахов Г. П. Магнетитовые руды Чарской глыбы, их генезис и структурная позиция.—Вопросы геологии Прибайкалья и Забайкалья, вып. 2(4). Чита, 1967.
- Шахов Г. П. Магнетитовые руды хр. Кодар, их вещественный состав, генезис и структурное положение.—Изв. вузов, Геология и разведка, 1969, № 6.
- Щербакова И. П. Литологические и петрологические особенности железистых пород чарской серии архея в бассейне рек Сакуан и Калар (Олекмо-Витимская горная страна).—Литология и осадочная геология докембрая. М., «Недра», 1973.

В. Б. БОЛТЫРОВ, В. М. БИРЮКОВ, В. Л. ПОЛЯКОВ

ЖЕЛЕЗОНОСНЫЕ МЕТАСОМАТИТЫ ВОСТОЧНОГО СКЛОНА УРАЛА

Под железоносными метасоматитами понимаются горные породы, обогащенные в результате гипогенено-метасоматического замещения железом в форме рудных минералов (магнетита, ильменита, гематита и др.), содержание которых в среднем составляет 15—20%, а в промышленных скоплениях — 60—70%. Петрологическая особенность железоносных метасоматитов заключается в том, что их формирование сопряжено с процессами гранитизации (фельдшпатизации), сопровождающими региональный метаморфизм антиклинальных зон как на прогрессивном, так и на регressive этапах. Гранитизация первого из них имеет площадной характер и обусловлена привносом кремнезема, натрия, меньше калия и выносом магния, железа и кальция. Вынос оснований происходит преимущественно из плагиогнейсов и мигматитов субстрата, а их переотложение — в переслаивающихся с ними основных метаморфитах и мраморах, в результате чего по амфиболитам и амфиболитам содержащим гнейсам развиваются роговообманковые и биотит-роговообманковые метасоматиты, а по мраморам — кварц-диопсид-карбонатные, кварц-диопсид-плагиоклазовые и диопсид-плагиоклазовые породы, нередко содержащие скаполит. По минеральному составу эти породы близки к скарнам, но отличаются от них не столько отсутствием характерных «скарновых» минералов, в том числе и рудных (магнетита, гематита и других), сколько площадным распространением, неоднородностью проявления и тесным переслаиванием с гранитизированными породами, что позволяет их отнести к железо-магнезиальным метасоматитам, или базификатам. Базификаты образуют преимущественно линзовидные прослои, согласные с ориентировкой линейно-плоскостных неоднородностей субстрата и имеют мощности до десятков и даже сотен метров при протяженности до нескольких километров.

Собственно железоносные метасоматиты образуются на регressiveм этапе, когда железо, выносимое из пород субстрата в результате локальной гранитизации (фельдшпатизации), связывается в магнетите, титаномагнетите и гематите. Например, некоторые массивы гранитоидов в участках порфиробластической микроклинизации пронизаны густой сетью тонких прожилков роговообманково-магнетитового состава, что обуславливает наличие над этими массивами положительных магнитных аномалий. Наиболее интенсивно порфиробластез магнетита проявляется в тех участках метаморфических комплексов, где базификация регressive этапа накладывается на базификаты прогressiveго этапа. В подобных случаях концентрация магнетита может до-

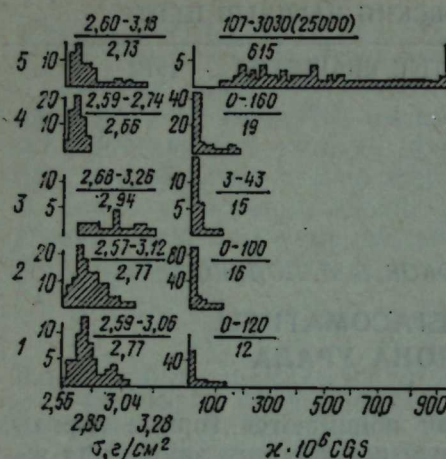


Рис. 1. Плотность и магнитная восприимчивость кристаллических сланцев.
Гнейсы и амфиболиты комплекса основания (1), кристаллических сланцев обрамления (2), продуктов региональной базификации (3), плагиогранито-гнейсов (4), локальной базификации (5).

стичь размеров небольших месторождений (например, в пределах мурзинско-адуйского метаморфического комплекса).

Базификаты прогрессивного и регрессивного этапов существенно отличаются друг от друга физическими свойствами и магнитной восприимчивостью (рис. 1).

Образование железоносных метасоматитов регрессивного этапа проходит отчетливо стадийно. Так, на Милысайском рудопроявлении, расположенном в восточной части одноименного массива гранито-гнейсов талдыкского метаморфического комплекса в Мугоджахах, выделяется пять стадий метасоматического минералообразования: дорудная — микроклинизация, предрудная — «скарнирование» и окварцевание, рудная — альбитизация и образование магнетита, позднерудная — окварцевание и образование гематита и послерудная — образование хлорита и кальцита.

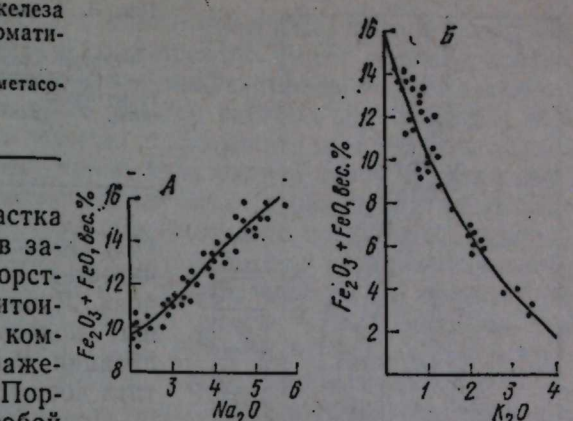
Порфиробластическая микроклинизация, развивающаяся во всех породах субстрата — гранито-гнейсах, биотитовых и биотит-амфиболовых гнейсах, аплито-гнейсах и амфиболитах, сопровождается образованием граната, обогащенного спессартиновым компонентом, эпидота и цоизита. Магнетит, присутствующий в метаморфических породах в виде мелких октаэдрических кристаллов размером до 0,5—1,0 мм, на предрудной стадии обрастают гранатом, замещаясь им, а также роговой обманкой и биотитом. В дорудную и предрудную стадии наблюдаются следующие изменения химического и минерального состава аплито-гнейсов субстрата: содержание Na_2O снижается от 4,1 до 1,75, а K_2O , наоборот, увеличивается от 1,36 до 5,5; содержание кварца увеличивается от 20—25 до 40—45, микроклина от 0 до 30, плагиоклаза, соответственно, уменьшается от 42,8 до 10, граната увеличивается от 0 до 5, а магнетита падает от 3—5 до 0,5 вес. % и меньше.

На рудной стадии микроклин замещается альбитом, биотит и гранат — мусковитом, а известковисто-магнезиально-железистая роговая обманка — натрийсодержащим амфиболом с освобождением из темно-цветных минералов избыточного железа и титана и образованием магнетита и титаномагнетита. Магнетит образует порфиробластические зерна октаэдрической формы размером до 3,5—5,5 мм и более и гнеездообразные скопления и линзочки ксеноморфных зерен, не подчиненные общей полосчатости пород.

Различная роль микроклинизации и альбитизации в обогащении базификатов железом отражается в противоположных корреляционных связях между суммарным железом и окислами калия и натрия (рис. 2).

В позднерудную стадию развивается кварц и наблюдается замещение магнетита тонкопластинчатым гематитом.

Рис. 2. Соотношение суммарного железа и щелочей в железоносных метасоматитах (масштаб 1:10000).
А — натриевый, Б — калиевый этапы метасоматоза.



На рудопроявлении участка Скальный, расположенному в западной части Адамовского горсто-антеклиниория среди порфириондов сингеосинклинального комплекса, дорудная стадия выражена плагиофельдшпатизацией. Порфирионды представляют собой зеленовато-серые породы со сланцеватой текстурой. Структура пород под микроскопом порфировая, реликтовая, диабазовая или обломочная. Порфиробласти альбита нередко сплющены в «очки», обтекаемые чешуйчатыми минералами, или катаклизированы. Основная ткань порфириондов представлена тонкозернисточешуйчатым агрегатом, альбита, хлорита, кварца, эпидота, актинолита, лейкоксена, магнетита или пирита. При наложении плагиофельдшпатизации усиливается неоднородность состава и строения ткани. Плагиофельдшпатизация начинается с развития отдельных порфиробластов кислого плагиоклаза (олигоклаз, реже кислый андезин), замещающего как «очковые» порфиробласти альбита, так и зернистый кварц-альбитовый агрегат основной ткани. С усилением порфиробластиза в основной ткани порфириондов начинается перекристаллизация, приводящая в конечном итоге и к минеральным преобразованиям: по актинолиту и хлориту начинает развиваться сине-зеленая роговая обманка, а при привносе калия — биотит. Структурно-текстурные и минеральные преобразования, сопровождающие плагиофельдшпатизацию, хорошо различимы визуально, и конечные продукты этих изменений в зависимости от содержания кварца, роговой обманки и биотита раньше диагностировались как «габбронды» (олигоклаз-андезин, роговая обманка, эпидот, цоизит), «диориты» (олигоклаз, хлорит, эпидот, актинолит), «плагиограниты» (олигоклаз, кварц, биотит, хлорит, эпидот). При плагиофельдшпатизации рудные минералы, в частности магнетит, содержащиеся в порфириондах в виде акцессориев, как правило, разрушаются.

Предрудная стадия характеризуется образованием «скарноидов», сложенных в основном гранатом, эпидотом и цоизитом. Гранат-циозитовая ассоциация в виде мелкозернистого агрегата развивается преимущественно вдоль сланцеватости порфириондов, замещая все породообразующие минералы, в том числе и ранее образовавшиеся олигоклаз, биотит и сине-зеленую роговую обманку, вплоть до образования мономинеральных полос гранатитов и эпидозитов.

Рудная и позднерудная стадии характеризуются образованием кварц-магнетит-гематитовой ассоциации. Наблюдения над взаимоотношениями магнетита и гематита показывают, что последний образуется несколько позже магнетита, но так же, как и магнетит, в тесном срастании с кварцем, что и позволило выделить две стадии: рудную и позднерудную. Руды сложены тонко- и реже мелкозернистым магнетитом и гематитом, обычно неяснополосчатые или линзовидно-полосча-



Рис. 3. Схема геологического строения Шабровского участка.
1 — серциит-кварцевые сланцы; 2 — хлоритовые сланцы;
3 — железоносные метасоматиты; 4 — метасоматические гранитоиды; 5 — плагиофельдшпатизация; 6 — серпентиниты; 7 — тальк-карбонатные породы; 8 — элементы залегания.

тые. Полосчатость руд согласна с полосчатостью гранат-циозитовых «скарноидов». Лишь изредка наблюдаются секущие полосчатость участки перекристаллизации, в которых размер зерен магнетита достигает 0,5—0,1 мм.

Приведем краткую характеристику Шабровских рудопроявлений, сформировавшихся в несколько иной геологической обстановке, чем железопроявления Милысайское и Скальное. Шабровские рудопроявления расположены в пределах одноименной грабен-синклинали, имеющей северо-западное простирание и заключенной между Монетниковско-Седельниковским и Сысертьским горст-антеклиниориями. Вмещающими породами являются кремнистые, углисто-кремнистые, филлитовые, слюдисто-кварцевые сланцы, микрокварциты с прослойками мраморизованных известняков и мраморов, относимые нами к догоесинклинальному комплексу. Уровень регионального метаморфизма не поднимается выше филлитовой ступени фации зеленых сланцев. В районе рудопроявлений широко развиты основные и ультраосновные тела, залегающие согласно с вмещающими парасланцами и известняками и в результате наложенных метаморфогенно-метасоматических явлений превращенные в серпентиниты, тальк-магнезитовые, тальк-хлоритовые, хлорит-магнезитовые, хлоритовые породы и габбро-амфиболиты. Здесь же расположено известное Шабровское месторождение тальк-магнезитового камня.

Схема геологического строения одного из участков Шабровских рудопроявлений приведена на рис. 3. Железоносные метасоматиты на этом участке образуют небольшие линзовидные тела мощностью 25—30 м и протяженностью до 300 м. На других участках размер железорудных тел достигает мощности 50—70 м при протяженности до 1,5 км. Рудоносные тела сложены тонко- и мелкозернистым кварцем (50—90%), магнетитом и гематитом (мартитом) — 10—50% и единичными чешуйками серциита. Для рудных тел характерна массивная или тонкополосчатая текстура. Полосчатость обусловлена чередованием рудных инерудных прослоев, обычно маломощных (от долей миллиметров до 0,5 см), не выдержанных по простиранию и часто выклинивающихся. Под микроскопом отчетливо видно, что кварц в рудных прослоях замещается магнетитом (размер зерен до 0,1 мм), по которому в свою очередь развивается гематит (мартит). Мелкие зерна магнетита или обрастают гематитом с краев, или последний развивается в магнетите по тонким трещинкам. В крупных зернах мартита можно наблюдать также остатки незамещенных зерен магнетита.

Рудоносные тела непосредственно залегают среди кварцитов или серциит-кварцевых сланцев, содержащих 80—98% кварца, 2—3% сер-

цита, примесь тонкораспыленного графита, магнетита, гематита, рутила и пирита. Железоносные метасоматиты нередко имеют с вмещающими породами постепенные контакты. Вмещающие породы имеют полосчатую текстуру, обусловленную чередованием светлых прослойков существенно кварцевого состава и темных прослойков, содержащих тонкораспыленный графит. В светлых прослойках размер зерен кварца обычно больше, чем в темных прослойках, в связи с развитием здесь вторичного метасоматического кварца, замещающего слюдистый минерал и способствующего отгонке углеродистого вещества в темные прослойки. Перераспределению подвергается и рудное вещество, в связи с чем в графитсодержащих прослойках можно видеть незначительную (не более 2%) концентрацию очень мелких (0,01—0,001 мм) зерен магнетита и более крупных (0,02—0,1 мм), но редких зерен гематита.

Кварциты и серциит-кварцевые сланцы, вмещающие железоносные метасоматиты, переслаиваются с магнетитсодержащими хлоритовыми и хлорит-кварцевыми сланцами. Магнетит в этих породах развивается как в виде мелких ксеноморфных зерен размером до 0,1—0,5 мм, так и в виде крупных (до 1,5 см) октаэдрических кристаллов.

Перечисленные выше породы и рудоносные метасоматиты располагаются по периферии узко вытянутого тела гранитоидов (см. рис. 3). Структурно-текстурная и минеральная неоднородности, полосчатость и признаки замещения в контактах с вмещающими породами свидетельствуют о метасоматической природе этих гранитоидов, развивающихся по кварцитам в результате плагиофельдшпатизации. Повышение геоизотерм в связи с наложением среднетемпературного метасоматического процесса на породы низкой ступени регионального метаморфизма привело к образованию в последних и в формирующихся по ним метасоматитах мелкочешуйчатого графита, граната и сине-зеленой роговой обманки. Вынос при плагиофельдшпатизации из магнетитсодержащих кварцитов и серциит-кварцевых сланцев железа и кремнезема привел к их перераспределению и осаждению в окружающих породах в виде железоносных метасоматитов.

Изучение железоносных метасоматитов восточного склона Урала только начато, но уже первые публикации¹ свидетельствуют о широкой распространенности их и потенциальной перспективности. Несмотря на то, что железоносные метасоматиты локализуются в породах, различных по возрасту, составу и уровню регионального метаморфизма структурно-стратиграфических комплексов, объединяет их то, что все они формируются сопряженно с процессами щелочного метасоматоза, фельдшпатизации (гранитизации), и первостепенную роль при их формировании играл режим кислотности — щелочности метасоматизирующих растворов.

¹ Г. А. Глушкова. Геология железистых кварцитов сысертьско-ильменогорского гнейсового комплекса. — «Геология метаморфических комплексов Урала». Труды СГИ, 1976, вып. 127; Г. А. Глушкова, Г. А. Кейльман. Роль метаморфизма в формировании железистых кварцитов гнейсовых комплексов Урала. — «Метаморфогенное рудообразование». М., «Наука», 1977.

Ю. Д. ПАНКОВ, В. Б. СОКОЛОВ

**ПРИРОДА МЕТАУЛЬТРАБАЗИТОВ
ТАРАТАШСКОГО МИГМАТИТОВОГО КОМПЛЕКСА
И ИХ СВЯЗЬ С ЖЕЛЕЗИСТЫМИ КВАРЦИТАМИ**

Особенностью многих месторождений железистых кварцитов, относимых к различным генетическим типам, является тесная связь их с пироксенитами и другими бесполевошпатовыми ультраосновными породами (Судовиков, 1964; Князев и др., 1969; Жданов, Малкова, 1974; Панков и др., 1974). Определение генезиса бесполевошпатовых ультраосновных пород имеет важное значение, так как в зависимости от него часто истолковывается и генезис самих железистых кварцитов.

В качестве примера можно привести эвлизыты: бесполевошпатовые высокожелезистые фаялит-гранат-пироксеновые образования, которые многими исследователями рассматриваются как метаморфизованные хемогенные железисто-кремнистые осадки (Судовиков, 1964). Само наличие эвлизытов в ассоциации с железистыми кварцитами часто является основанием для вывода о хемогенно-осадочной природе последних.

Другим характерным примером тесной связи железистых кварцитов с ультраосновными породами являются метасоматические пироксениты Кольского полуострова, генетически связываемые в одном метасоматическом процессе с формированием железистых кварцитов (Жданов, Малкова, 1974).

Тараташский мигматитовый комплекс Урала — также один из районов, где наблюдается тесная пространственная связь железистых (магнетитовых) кварцитов и бесполевошпатовых ультраосновных пород. Последние представлены здесь пироксенитами, бесполевошпатовыми амфиболитами, tremolit-актинолитовыми породами, серпентинитами и высокожелезистыми эвлизитоподобными породами. Все они вместе или порознь образуют небольшие (до $0,5 \times 1,5$ км) реликтовые тела среди мигматитов или слагают их палеосому. Общее количество ультраосновных пород в субстрате мигматитов составляет около 15%. Ниже приводится характеристика ультраосновных пород тараташского комплекса.

Пироксениты. Почти все они представлены ортопироксенитами. Редко встречаются двупироксеновые пироксениты, в которых клинопироксен (салит) играет обычно второстепенную роль, поэтому в дальнейшем эти породы будут рассматриваться вместе с ортопироксенитами. И, наконец, совсем редки в экзоконтактовых частях гранитных жил малоносные зоны клинопироксенитов, которые нами не рассматриваются.

Среди ортопироксенитов по железистости пород выделяются магнезиально-железистая (феррогиперстениты и гиперстениты) и железисто-

магнезиальная (бронзититы) группы пород. В дальнейшем для краткости феррогиперстениты и гиперстениты мы будем называть гиперстенитами. Эти последние представлены очень характерными анхимономинеральными крупно- и гигантозернистыми массивными скарноподобными породами. Ортопироксен — обычно гиперстен с железистостью 40—50%. Реже встречаются менее железистые ($F_{общ}$ до 30%) гиперстены и совсем редко — феррогиперстены с железистостью до 63% (табл. 1). Ни граната, ни оливина в парагенезисе с указанными гиперстенитами не установлено. Очень редко в гиперстенитах встречаются разности, содержащие клинопироксен, близкий к салиту (см. табл. 1). Из вторичных минералов в более железистых гиперстенитах развит обычно куммингтонит, а в более магнезиальных — роговая обманка (табл. 2, № 9, 10) и актинолит. Отличительной петрохимической особенностью гиперстенитов является бедность их хромом, никелем и кобальтом (табл. 2). Геологическое положение гиперстенитов вполне определено: они всегда приурочены к контактам тел магнетитовых кварцитов и в удалении от них не встречаются.

В группе бронзититов железистость химически проанализированных ортопироксенов колеблется около 20 (см. табл. 1). Однако, судя по железистости ($F_{общ}=13-15$) пород (табл. 2), среди железисто-магнезиальных ортопироксенитов встречаются разности, близкие к энстатитам. Текстура пород почти всегда массивная. Размеры зерен пироксена около 1—2 см. Кроме бронзита и редко встречающегося салита, в бронзититах часто присутствует магнезиальный оливин (+2V=80—85°), соответствующий по составу форстериту. Количество его местами достигает 10—15%. Оливин образует мелкие (0,2—0,3 мм) округлые зерна, концентрирующиеся между зернами бронзита. Аксессорные минералы — мелкие зерна зеленой шпинели, магнетита и хромита. Очень характерным вторичным минералом бронзититов является роговая обманка, развивающаяся по бронзиту. По составу она отвечает парагаситу с железистостью 17—20% (см. табл. 1). При интенсивном развитии парагасита (30—50%), происходящем с привносом кальция, глиноzemа и, по-видимому, титана, химический состав амфиболизированных бронзититов приближается к составу пикритов. Это дает основание некоторым исследователям рассматривать амфиболизированные бронзиты как метапикриты. Петрохимически бронзититы резко отличаются от гиперстенитов высокими содержаниями хрома, никеля и кобальта (табл. 2), близкими к содержанию этих элементов в альпинотипных ультрабазитах.

Бронзититы часто, как и гиперстениты, тесно ассоциируют с магнетитовыми кварцитами, при этом они всегда развиты на большем удалении от магнетитовых кварцитов, чем гиперстениты. Это хорошо видно на примере Ушатского рудопроявления (см. рис. 1 в ст. Ю. Д. Панкова и Г. М. Барабашиной в настоящем сборнике), где линзы магнетитовых кварцитов залегают в центральной части сплошного тела ортопироксенитов, горизонтальная мощность которого 140 м. Большая часть этого пироксенитового тела сложена магнезиальными бронзититами с железистостью 13—15% и лишь на границе с магнетитовыми кварцитами установлена кайма магнезиально-железистых ортопироксенитов ($F_{общ}$ до 63%) мощностью до 1 м, иногда обогащенных магнетитом.

Как было показано ранее (Панков и др., 1974), такое зональное распределение ортопироксенитов по железистости связано с интенсивным железисто-кремнистым метасоматозом, сопряженным с плагиогранити-

Химические составы железо-магнезиальных силикатов из

№ п.п.	SiO ₂	TiO ₂	Al ₂ O ₃	Fe ₂ O ₃	FeO	MnO	MgO	CaO	Na ₂ O
1	46,66	0,04	1,08	2,01	45,58	0,19	3,58	0,36	—
2	47,90	0,07	1,17	1,54	44,04	0,12	4,64	0,39	—
3	49,08	0,06	0,91	1,43	35,21	0,25	11,80	0,62	0,11
4	50,96	0,12	0,98	1,36	25,86	0,67	18,95	0,84	—
5	52,03	—	1,54	1,92	22,69	0,61	20,79	0,54	—
6	52,92	0,05	2,98	1,57	12,03	0,29	28,70	0,49	0,09
7	54,57	—	2,24	1,98	10,91	0,36	29,83	0,26	—
8	50,78	0,32	2,34	2,39	10,23	0,34	12,95	19,26	0,60
9	41,64	0,50	16,10	5,82	12,50	0,15	10,10	9,69	1,96
10	44,30	1,50	9,47	4,57	11,24	0,25	13,32	10,97	1,44
11	45,40	0,54	12,06	2,82	4,96	0,13	17,39	11,80	1,85
12	46,64	0,59	11,12	2,36	5,31	0,15	17,46	11,75	1,50
13	52,72	0,61	4,14	1,13	6,57	0,15	17,60	13,13	0,59
14	43,92	0,85	13,38	1,61	4,82	0,15	16,95	11,98	2,04
15	30,76	Следы	0,60	3,09	63,34	0,06	1,75	Не обн.	—
16	30,39	Следы	0,50	2,75	64,05	0,06	1,67	Не обн.	—
17	36,78	0,02	20,32	1,23	37,65	0,20	1,33	2,94	0,04
18	37,27	0,05	21,16	1,50	34,31	0,50	1,69	3,70	—

Примечание. 1, 2 — эвлиты из эвлитовых пироксенитов с гранатом и фаялитом; 3 — ферроиз гиперстенита; 6, 7 — бронзиты из бронзититов с салитом, амфиболизированных; 8 — салит из железистого; 10 — из гиперстенита амфиболизированного; 11 — из амфиболита бесполевошпатового литеевой породы по пироксениту; 14 — актинолит из бронзитита актинолитизированного; 15, 16 — сенитов с гранатом и фаялитом.

зацией и накладывающегося по зонам деформаций на плагиогранитизированные гранулитовые метаморфиты, прежде всего на маложелезистые ортопироксениты (бронзититы и энстатиты), локализованные обычно вдоль этих же зон деформаций. В результате железисто-крем-

Таблица 1
химические составы ультраосновных пород тараташского комплекса, вес. %

K ₂ O	NiO	CoO	Cr ₂ O ₃	H ₂ O+	Сумма	F общ	Ng	Nр
—	—	—	—	—	99,77	87,0	1,784	1,754
0,05	0,02	<0,005	<0,005	0,22	99,87	84,1	1,764	1,751
—	—	—	—	—	99,77	63,4	1,772	1,724
—	—	—	—	—	100,12	39,7	1,738	1,708
<0,05	0,06	0,006	0,10	—	99,28	20,8	1,688	1,693
—	—	—	—	—	100,15	19,3	1,686	1,676
0,35	—	—	—	—	99,56	34,9	1,722	1,694
0,22	0,02	0,005	0,02	1,98	100,70	49,6	1,685	1,657
0,82	0,10	0,005	0,13	2,20	100,31	39,3	1,682	1,655
0,41	—	—	—	2,06	99,42	19,5	1,666	1,638
0,33	—	—	—	2,38	99,59	19,2	1,662	1,635
0,40	0,04	0,005	0,13	1,00	98,22	19,5	1,649	1,619
0,40	0,10	0,005	0,80	1,30	98,31	17,2	1,669	1,646
—	—	—	—	—	99,60	95,5	1,859	1,810
—	—	—	—	—	99,42	95,7	1,855	1,813
0,04	0,01	0,005	0,006	0,23	100,80	94,0	1,810	—
—	—	—	—	—	100,13	92,0	1,811	—

гиперстен из гиперстенита железистого; 4 — гиперстен из гиперстенита с салитом; 5 — гиперстен гиперстенита с салитом; роговые обманки; 9 — из амфиболита бесполевошпатового магнезиально-железисто-магнезиального; 12 — из бронзитита амфиболизированного; 13 — актинолит из актинолитизированного; 17, 18 — гранаты из эвлитовых пироксенитов с фаялитом и гранатом; 17, 18 — гранаты из эвлитовых пирок-

нистого метасоматоза происходит формирование метасоматической зональности со следующими зонами (от центра к периферии): 1) пироксен-магнетитовые кварциты; 2) магнетитовые гиперстениты; 3) гиперстениты без магнетита; 4) бронзититы и энстатиты.

Химический состав ультраосновных пород

№ п.п.	SiO ₂	TiO ₂	Al ₂ O ₃	Fe ₂ O ₃	FeO	MnO	MgO	CaO	Na ₂ O
1	43,24	0,22	1,94	7,73	39,88	0,19	4,20	1,05	0,08
2	49,90	0,19	5,39	10,80	26,50	0,04	3,52	1,49	1,16
3	49,20	0,16	2,04	2,54	30,73	0,40	12,92	1,00	0,17
4	53,15	0,06	2,00	2,85	21,22	0,18	17,61	1,23	0,24
5	53,80	0,34	2,16	1,40	17,94	0,13	16,78	2,59	0,10
6	47,90	0,33	6,10	3,40	9,80	0,11	24,00	4,22	0,54
7	43,38	0,38	7,31	10,84	1,57	0,12	25,36	3,42	0,18
8	46,73	0,40	6,33	6,40	6,45	0,15	23,21	3,85	0,43
9	50,38	0,28	4,26	4,13	6,04	0,25	20,49	9,73	0,32
10	43,22	1,08	13,73	3,98	12,09	0,29	11,40	8,58	1,05
11	44,30	0,47	13,00	2,00	10,50	0,21	12,10	10,60	1,46
12	46,99	0,38	6,49	3,84	6,88	0,07	25,74	2,40	0,26
13	41,60	0,27	4,29	6,25	4,31	0,11	28,80	4,31	0,64
14	50,28	0,41	5,59	3,61	6,48	0,13	19,80	8,68	0,40
15	46,76	0,49	8,00	2,58	7,05	0,12	22,40	5,60	0,52
16	42,26	0,33	3,69	7,17	5,25	0,20	29,20	3,64	0,12
17	39,70	0,03	0,20	5,22	1,04	0,04	39,60	0,30	0,20

Примечание. 1, 2 — эвлитовые пироксениты с гранатом; 3—5 — железистые гиперстениты биотитизированные; 8, 9 — бронзититы серпентинизированные; 10, 11 — амфиболит бесполевошпатовый железисто-магнезиальный серпентинизированный; 14, 15 — апопироксени

тараташского комплекса, вес. %

K ₂ O	P ₂ O ₅	NiO	CoO	Cr ₂ D ₄	П. п. п.	SO ₂	CO ₂	Сумма	F общ
0,11	0,17	0,025	<0,001	0,06	0,77	0,05	Не обн.	99,66	86,2
0,98	0,07	0,006	<0,001	0,012	0,50	—	Не обн.	100,56	85,2
0,27	0,13	0,03	<0,002	<0,01	—	—	0,22	99,60	58,9
0,20	0,27	<0,02	<0,001	<0,01	0,50	0,1	0,2	99,51	43,1
0,42	0,08	<0,02	<0,001	<0,01	3,30	1,17	0,2	99,04	38,9
0,20	0,06	0,12	0,014	0,35	1,98	—	—	99,02	23,1
3,04	0,29	0,13	0,015	0,39	3,96	—	—	100,30	20,0
0,29	0,06	0,18	0,011	0,32	5,20	0,1	0,2	100,0	15,1
0,10	0,05	0,11	0,002	0,26	3,34	0,1	0,2	99,74	13,8
1,53	0,06	0,038	0,006	0,05	1,03	—	0,22	100,41	43,55
1,37	0,11	0,024	0,012	0,04	2,90	—	0,11	99,21	36,30
0,10	0,06	0,10	0,01	0,44	5,30	—	—	99,06	18,4
0,17	0,03	0,18	0,014	0,38	7,97	—	Не обн.	99,87	16,2
0,15	0,05	0,15	0,008	0,28	3,93	—	Не обн.	99,94	18,7
0,15	0,06	0,12	0,009	0,32	5,55	—	Не обн.	99,72	17,1
0,04	0,02	0,21	0,012	0,32	7,30	0,05	0,55	100,31	14,0
0,10	0,01	0,29	0,01	0,085	12,74	0,30	99,87	4,6	

ты и гиперстениты; 6 — бронзит слабо амфиболизированный; 7 — бронзит слабо амфиболизированный бесполевошпатовый апопироксенитовый магнезиально-железистый; 12, 13 — амфиболит бесполевошпатовая tremolit-актинолитовая порода; 16, 17 — серпентинит апопироксенитовый.

Каждая более центральная зона замещает смежную внешнюю. В указанной зональности происходит уменьшение железистости ортопироксенов от центральных зон к периферическим и увеличение в этом же направлении содержаний хрома, никеля, кобальта в зонах метасоматической колонки. Таким образом, гиперстениты тараташского комплекса, слагающие одну из зон метасоматической колонки,— типичные метасоматические образования, и они не могут рассматриваться как хемогенные железисто-кремнистые осадки.

Наряду с бронзититами, ассоциирующими с пироксен-магнетитовыми кварцитами, иногда магнезиальные бронзититы устанавливаются среди мигматитов вне всякой связи с телами магнетитовых кварцитов.

Амфиболиты бесполевошпатовые. Это массивные, реже с неясной плоскостной ориентировкой средне- или мелкозернистые породы. Среди них по железистости и особенностям минерального состава, так же как среди пироксенитов, выделяются магнезиально-железистая и железисто-магнезиальная группы. Амфиболиты первой группы сложены гастигситом, железистость которого обычно колеблется от 39 до 53% (см. табл. 2), редко встречаются более железистые ($F_{общ}$ до 63%) роговые обманки. Важно отметить, что в амфиболитах этой группы часто встречаются реликтовые участки гиперстенита или отдельные крупные зерна гиперстена ($Ng=1,712-1,724$; $Np=1,698-1,710$), свидетельствующие о развитии бесполевошпатовых амфиболитов по гиперстенитам. По степени амфибилизации от амфибилизованных гиперстенитов до бесполевошпатовых амфиболитов наблюдаются постепенные переходы. Особо следует подчеркнуть, что наряду с гиперстенитами интенсивной амфибилизации иногда подвергаются рудные магнетитовые гиперстениты. Конечным продуктом этого процесса являются магнетитовые бесполевошпатовые амфиболиты.

Так же как для гиперстенитов, для бесполевошпатовых амфиболитов этой группы характерны низкие содержания хрома, никеля, кобальта (рис. 2). Все сказанное не оставляет сомнений в том, что магнезиально-железистые бесполевошпатовые амфиболиты в подавляющей своей массе образуются при амфибилизации магнезиально-железистых ортопироксенитов¹. Это подтверждается и геохимическим положением рассматриваемых бесполевошпатовых амфиболитов. Они почти всегда развиты вблизи магнетитовых кварцитов.

Железисто-магнезиальные бесполевошпатовые амфиболиты сложены светло-зеленой (в шлифах) роговой обманкой с железистостью 17—20% (см. табл. 1), относящейся к магнезиально-железистому паргаситу ($Mg=1,652-1,653$; $Np=1,636-1,642$; $+2V=80-86^\circ$). В амфиболитах часто отмечаются реликтовые участки бронзитита, а также реликты крупных кристаллов ортопироксена, который, по оптическим данным ($Mg=1,681-1,690$; $Np=1,668-1,677$; $-2V=78-86^\circ$), соответствует бронзиту и энстатит-бронзиту. Часто встречается оливин, близкий по составу к гиалосидериту ($Ng=1,772$; $Np=1,748$; $+2V=81-85^\circ$). Редко устанавливается антофиллит ($-2V=65-68^\circ$). Из акцессорных минералов типична зеленая шпинель. Очень характерная осо-

бенность наиболее магнезиальных пород группы, надежно отличающая их от более железистых,— интенсивно проявленная лизардитизация амфиболитов, приводящая иногда к образованию лизардитовых серпентинитов. Петрохимически (см. табл. 1, № 12, 13) по содержаниям магния, железа, хрома, никеля и кобальта бесполевошпатовые амфиболиты этой группы близки к бронзититам. Приведенные данные говорят о том, что железисто-магнезиальные амфиболиты этой группы развиваются за счет бронзититов.

В отличие от магнезиально-железистых, железисто-магнезиальные бесполевошпатовые амфиболиты развиты как на месторождениях магнетитовых кварцитов, так и вне связи с ними. Важно отметить, что в первом случае они всегда устанавливаются на большем расстоянии от магнетитовых кварцитов, чем магнезиально-железистые. Наиболее полный разрез, где наблюдается такая закономерность, установлен в карьере месторождения Радостного на горизонте 470 м. Здесь к югу от магнетитовых кварцитов развиты магнезиально-железистые бесполевошпатовые амфиболиты, на контакте с кварцитами обогащенные магнетитом. Еще дальше к югу залегают железо-магнезиальные бесполевошпатовые амфиболиты. Наиболее магнезиальные разности этих последних, расположенные в конце разреза, часто интенсивно серпентинизированы и местами превращены в лизардитовые серпентиниты. Во всех типах амфиболитов и в серпентинитах отмечаются реликты ортопироксена и отдельных крупных зерен ортопироксена.

Тремолит-актинолитовые породы развиты на многих месторождениях тараташского комплекса, но особенно широко на его севере (Тахтинское, Куватальское и другие месторождения).

Они представляют собой массивные мелкозернистые образования, состоящие главным образом из актинолита с подчиненным развитием тремолита. Иногда присутствует хромит (до 2,0%). Актинолит представлен обычно маложелезистой ($F_{общ} 17,2-19,5\%$) разновидностью (см. табл. 1); оптические данные: $Ng=1,641-1,669$; $Np=1,609-1,646$; $-2V=77-88^\circ$. Местами в породах наблюдаются реликтовые участки крупнозернистых бронзититов и отдельные кристаллы магнезиальных ортопироксенов. Актинолит отчетливо замещает ортопироксен. Установлены также случаи развития тремолита и актинолита по магнетитовым бронзититам с образованием магнетитовых тремолит-актинолитовых пород. По всей вероятности, тремолит-актинолитовые породы развиваются преимущественно по ортопироксенитам с невысокой железистостью. Это подтверждается петрохимической близостью тремолит-актинолитовых пород с бронзититами и, в частности, высокими содержаниями в них магния, хрома, никеля, кобальта и низкими концентрациями железа (см. табл. 2, № 14, 15). Апобронзититовые тремолит-актинолитовые породы установлены также вне связи с месторождениями магнетитовых кварцитов, где они слагают палеосому мигматитов.

Серпентиниты образуют маломощные (от долей метра до первых десятков метров) тела среди бронзититов, особенно магнезиальных. Часто они наблюдаются также среди наиболее магнезиальных апобронзититовых бесполевошпатовых амфиболитов. Реликты таких амфиболитов и бронзититов, а также их минералов постоянно наблюдаются в серпентинитах. Серпентин (главным образом лизардит, реже антигорит) интенсивно замещает ортопироксен и оливин с образованием пельчатых лизардитовых серпентинитов. Установлены случаи образо-

¹ Кроме апопироксенитовых бесполевошпатовых амфиболитов в районе отмечаются мелкие обособления магнезиально-железистых бесполевошпатовых амфиболитов, образовавшихся при базификации в связи с процессами гранитизации, не имеющие, по-видимому, широкого распространения.

вания магнетитовых серпентинитов по магнетитовым бронзититам повышенной магнезиальности.

Для реликтовых минералов серпентинитов определены следующие константы:

	2V	cNg
Оливин	-84,86	16-20
Ортопироксен	-84, -85, +85	-
Амфибол	+84,86	-

По этим данным, оливин соответствует форстериту, ортопироксен-магнезиальному бронзиту и энстатиту, а амфибол — паргаситу. Микроскопическое изучение серпентинитов показывает, что исходными породами для них, наряду с магнезиальными бронзититами, являлись еще менее железистые пироксениты, по-видимому, относящиеся к энстатитам. Эти последние из-за легкой подверженности диафторическим изменениям в чистом виде в тараташском комплексе встречены не были. Вывод о том, что исходными породами для серпентинитов, наряду с магнезиальными бронзититами, были также и энстатиты, подтверждается химическим составом серпентинитов (см. табл. 1, № 16, 17), а также низкими значениями железистости этих пород, колеблющейся от 4,6 до 14 %. В пределах месторождений серпентиниты обычно развиты на большем удалении от тел магнетитовых кварцитов, чем все описанные ранее метаультрабазиты. Вдали от месторождений они обнаруживаются в составе палеосомы мигматитов.

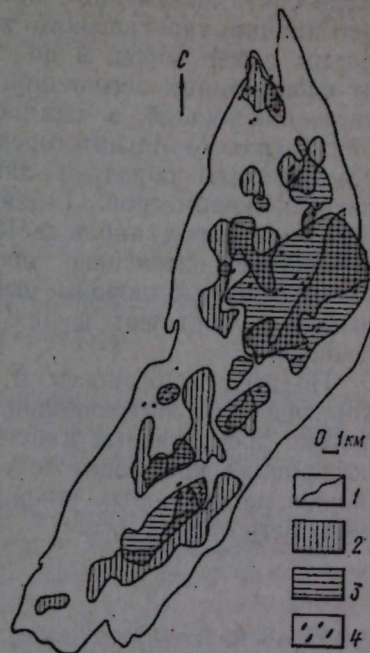
Из приведенного описания бесполевошпатовых амфиболов, треполит-актинолитовых пород и серпентинитов видно, что все эти породы образуются по пироксенитам, главным образом — по ортопироксенитам соответствующего по железистости состава. Описанные апопироксениевые диафториты по своей железистости зонально располагаются около тел магнетитовых кварцитов, отражая тем самым более раннюю окolorудную зональность, существовавшую в пироксенитах.

Эвлизитоподобные породы. В заключение анализа метаультрабазитов тараташского комплекса следует сказать об эвлизитоподобных породах. Эти образования развиты здесь очень локально и всегда связаны с безрудным окварцеванием, накладывающимся обычно на руды и окорудные гиперстениты. При этом образуются маломощные (до 20 см) зоны безрудных метасоматических кварцитов, обогащенные высокожелезистым ($F_{общ}$ до 96) гранатом и иногда также очень железистыми орто- и клинопироксенами. Железистость ортопироксена в кварцитах 83—86, а клинопироксена — 79,6 %. На границе с такими кварцитами в гиперстенитах, в том числе и в магнетитовых, происходит резкое повышение железистости ортопироксена (см. табл. 1) с образованием максимально железистых эвлизитовых пироксенитов (см. табл. 2), которые часто обогащены (до 30—40 %) мелкими (до 1 мм) зернами даялита (см. табл. 1) и высокожелезистого граната (см. табл. 1). В результате около метасоматических гранат-пироксеновых кварцитов образуются реакционные зоны метасоматических эвлизитоподобных пород, которые так же, как и гиперстениты, не имеют ничего общего с апоосадочными эвлизитами.

Таким образом, изучение истории минералообразования в метаультрабазитах тараташского комплекса показывает, что исходными образованиями для всех типов рассмотренных метаультрабазитов явились маложелезистые ортопироксениты, по составу близкие к магне-

Гравимагнитная схема тараташского комплекса.

1 — граница комплекса по геологическим данным, 2 — локальные положительные гравиметровые аномалии Δg с радиусом осреднения 1 км, 3 — контуры положительных аэромагнитных аномалий ΔT по изолиниям 5,5 м ϑ , снятые с плана изодинам ΔT ($h=500$ м), 4 — месторождения и рудо-проявления магнетитовых руд.



зиальным бронзититам и энстатититам и представляющие собой ультраосновные гранулитовые метаморфиты. Впоследствии в связи с кремнисто-железистым метасоматозом и образованием магнетитовых руд часть исходных маложелезистых пироксенитов была перекристаллизована с образованием окорудных более железистых пироксенитов — железистых бронзититов, гиперстенитов и феррогиперстенитов. Несколько позже, по-видимому в тесной связи с тем же процессом, произошло образование эвлизитоподобных пород. В начальную стадию более поздней кали-натриевой гранитизации, накладывающейся на руды, устанавливается интенсивный высокотемпературный диафторез пироксенитов с образованием бесполевошпатовых амфиболов различной железистости. И, наконец, в заключительный этап минералообразования в метаультрабазитах наблюдаются низкотемпературные диафторические изменения, приводящие к образованию треполит-актинолитовых пород и серпентинитов.

На геологической карте тараташского комплекса хорошо видно, что метаультрабазиты среди мигматитов развиты не по всей площади комплекса, а сконцентрированы преимущественно в нескольких зонах северо-восточного простирания. Наиболее крупная зона прослеживается от месторождения Куватал на северо-востоке до месторождения Радостное на юго-западе. Именно к этим зонам, обогащенным метаультрабазитами, и приурочены почти все месторождения и рудопроявления магнетитовых кварцитов комплекса. Особенно наглядно тесная связь высокоплотных (метаультрабазиты) и высокомагнитных (магнетитовые руды) образований выявляется при сравнении гравиметровых и магнитных карт (см. рисунок). Из сравнения (см. рисунок) видно, что зонам, насыщенным метаультрабазитами, соответствуют цепочки вытянутых локальных гравиметровых аномалий, сопряженных с магнитными аномалиями, интенсивность которых увеличивается пропорционально радиусу палеток, применяемых при трансформации, что свидетельствует об увеличении количества плотных пород (метаультрабазитов) в рассматриваемых зонах на глубину.

Кроме магнезиальных пироксенитов, первичный субстрат мигматитов представлен двупироксен-плагиоклазовыми кристаллическими сланцами основного состава, метагабброидами и графитовыми кварцитами, т. е. породами в совокупности представляющими собой метаморфизованную офиолитовую ассоциацию (Панков, 1977). С этим выводом хорошо увязывается магнезиальный характер ультраосновных гранулитовых метаморфитов, наиболее сохранивших свой исходный состав.

Если снять наложенный метаморфизм и гранитизацию, то офиолитовая ассоциация тараташского комплекса и по химическому составу входящих в нее пород, и по строению не будет существенно отличаться от офиолитовых ассоциаций более молодых слабо метаморфизованных эвгеосинклиналей, в частности от палеозойской офиолитовой ассоциации Тагильско-Магнитогорского прогиба Урала. Внутри этой последней ультрабазиты образуют линейные зоны, простирающиеся на многие десятки километров. Такая же картина в распространении ультраосновных пород наблюдается и в тараташском комплексе. Только вследствие интенсивно проявленных мигматизации и гранитизации ультраосновные породы выполняют пространство этих зон не непрерывно, а образуют в них реликтовые участки среди мигматитов и гнейсов.

По всей вероятности, в тараташском комплексе мы имеем дело с дорифейскими эвгеосинклинальными отложениями и связанными с ними зонами прорузыевых мантийных ультрабазитов, которые позднее контролировали кремнисто-железистый метасоматоз, приведший к образованию магнетитовых кварцитов и околоврудной метасоматической зональности вблизи них.

ЛИТЕРАТУРА

- Жданов В. В., Малкова Т. П. Железорудные месторождения зон региональной близификации. Л., «Недра», 1974.
Киязев Г. И., Решитко В. А., Федоровская Л. И. О генезисе железистых кварцитов.—Изв. АН СССР, сер. геол., 1969, № 126.
Панков Ю. Д. Сравнительная характеристика геологического развития палеозойского Ильменогорского и протерозойского тараташского мигматитовых комплексов.—Тезисы докладов III Всесоюзного симпозиума по метаморфизму, ч. 1. Свердловск, 1977.
Панков Ю. Д., Петров В. И., Гогулан А. М., Керасилов В. А. О формировании магнетитовых кварцитов Тараташского комплекса на Южном Урале.—Проблема метаморфогенного рудообразования. Тезисы докладов II Межведомственного научного совещания. Киев, «Наукова думка», 1974.
Судовиков Н. Г. Региональный метаморфизм и некоторые проблемы петрологии. Л., Изд-во ЛГУ, 1964.

В. Н. ЛУКОШКОВ

ЖЕЛЕЗО-МАРГАНЦЕВЫЕ МЕТАСОМАТИТЫ ВОСТОЧНОГО СКЛОНА УРАЛА

В сланцевом обрамлении гнейсово-мигматитовых комплексов восточного склона Урала нередко в сходной геологической обстановке отмечаются образования типа железистых кварцитов, гондитов и родонитов (рис. 1).

Для некоторых рудных тел железистых кварцитов характерна приуроченность к тектоническому контакту между кварцитовыми сланцами и серпентинитами, для других и, вероятно, для большинства — к зоне контакта химически неоднородных пород, как правило, осложненному тектоникой. Так, на Северо-Шабровском рудопроявлении серия рудных тел железистых кварцитов прослеживается по простианию на 4 км вдоль контакта между слюдистыми кварцитовыми сланцами и мелкозернистыми амфиболитами. Здесь же по результатам магнитометрической съемки фиксируется тектоническая зона (рис. 2).

На Сидоркинском рудопроявлении серия рудных тел железистых кварцитов также прослеживается по простианию на 4 км вдоль тектонической зоны (фиксируется тектонической брекчией) между слюдистыми сланцами и зеленокаменно измененными эфузивами. Здесь в коренных обнажениях отчетливо наблюдается связь железистых кварцитов с измененными эфузивами через переходные разности пород.

На Черемшанском рудопроявлении маломощное тело железистых кварцитов приурочено к тектоническому контакту между зеленокаменно измененными эфузивами с одной стороны и серицит-кварцевыми сланцами — с другой.

Аналогичная геологическая обстановка наблюдается и на рудопроявлениях гондитов. Так, на Нижне- и Верхнесалдинском рудопроявлении тела гондитов и железистых гондитов приурочены к зоне контакта зеленых амфибол-эпидотовых, слюдисто-эпидотовых и слюдисто-кварцитовых сланцев предположительно верхнедокембрийского возраста (рис. 3). На Западно-Иткульском рудопроявлении тело гондитов и железистых гондитов длиной до 400 м приурочено к тектонической зоне между графитистыми кварцитовыми и зелеными (хлорит-актинолит-эпидотовыми и другими) сланцами; то же самое наблюдается и на Генеральском рудопроявлении.

Несколько иная геологическая обстановка отмечается на месторождениях родонитов. На Кургановском и Малоседельниковском месторождениях тела родонитов (здесь имеется в виду разнообразный комплекс пород, слагающий рудные тела этих месторождений) приурочены к узкому клину кварцитовых сланцев, зажатому между серпентинитами. Особенно отчетливо это видно на Кургановском месторождении (рис. 4).



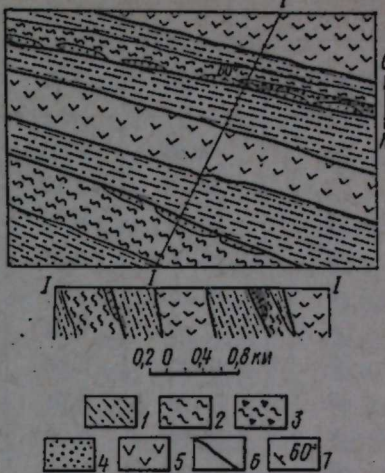
112

В составе данного ряда пород (железистые кварциты — гондиты — родониты) наибольшей простотой характеризуются первые. Во всех трех основных разновидностях железистых кварцитов — магнетитовых (мартиловых), магнетит-гематитовых и железно-слюдковых, кроме кварца и магнетита, спорадически и, как правило, в малых количествах отмечаются серицит, мусковит, хлорит; эпидот и альбит встречаются чаще в переходных к вмещающим породам разностях. Примечательно для них наличие граната (от единичных зерен до первых процентов) в большинстве своем марганцовистого, что подтверждается химическими анализами. Железистые кварциты с гранатом Уст-Шайтанского, Мокрогорского, Сидоркинского и Черемшанского рудопроявленияй содержат повышенное количество окиси марганца в сравнении с безгранатовыми их разностями (табл. 1, № 1—3, 14—16, 18). Гранат из железистых образований Северо-Шабровского рудопроявления спессартин-альмандиновый, а Сидоркинского — альмандин-гроссуляр-спессартиновый (табл. 2, № 1—2).

Сложный состав имеют гондиты. Наряду с кварцем, нередко криптокристаллическим и тончайшим (сотые и тысячные доли миллиметра), марганцовистым гранатом (табл. 3), составляющим их основную массу, в них в переменных количествах присутствуют эпидот, мусковит, биотит, хлорит, амфибол, карбонат, альбит, апатит, окислы и гидроокислы марганца. Для всех без исключения рудопроявлений от Салдинских на севере до Темирского на юге характерно наличие железистых разностей (железистые гондиты), с содержанием железистых рудных минералов от 10 до 60% (см. табл. 3).

Рис. 2. Схема геологического строения Северо- и Южно-Шабровского рудопроявлений.

1 — слюдистые кварцитовые сланцы, 2 — мелкозернистые амфиболовиты, 3 — магнетит-хлоритовые сланцы, 4 — железистые кварциты, 5 — серпентиниты, 6 — тектонические нарушения, 7 — элементы залегания.



Эти минералы представлены незамещающими друг друга магнетитом и (или) гематитом (рис. 5, 6). Обычен для всех рудопроявлений порфиробластический магнетит как для железистых, так и для нежелезистых разностей гондитов. Часто в железистых гондитах наблюдается полосчатость, обусловленная чередованием рудных и рудно-гранатовых прослойков с кварц-гранатовыми. В них, как правило, содержится повышенное количество окиси марганца (см. табл. 3, № 13—15, 18—21). Гранат гондитов сложного состава, но повсеместно существенно марганцовистый (см. табл. 2, № 3, 6, 7). Альмандиновый состав граната из слюдисто-кварцевых сланцев Западно-Иткульского рудопроявления свидетельствует о принадлежности их к вмещающим породам (см. табл. 2, № 5).

Не менее сложный состав имеют образования родонитовых месторождений. Обычно их слагают пятнистоокрашенные породы, характеризующиеся переменными содержаниями кварца, родонита, спессартина, эпидота, бустамита, тефроита, родахрозита, tremолита, актинолита, кальцита, окислов и гидроокислов марганца. Для них содержания окиси марганца постоянно высокие (табл. 4). Гранат существенно спессартинового ряда (см. табл. 2, № 8) развит в них повсеместно. Следовательно, в образовании данной группы пород уже основную роль играл марганец в силикатной и окисной формах.

Таким образом, охарактеризованные три группы пород являются следствием железо-марганцевого процесса, приводящего к образованию генетически связанных рядов. В зависимости от роли железа и марганца в нем, железистые кварциты и родониты оказываются здесь крайними членами этого ряда, а гондиты — промежуточными.

Для суждения о генезисе железо-марганцевых образований восточного склона Урала следует учесть следующие данные. Линзовидной и неправильной формы рудные тела их залегают в толщах различного возраста, более того, как правило, они приурочены к тектонически ос-

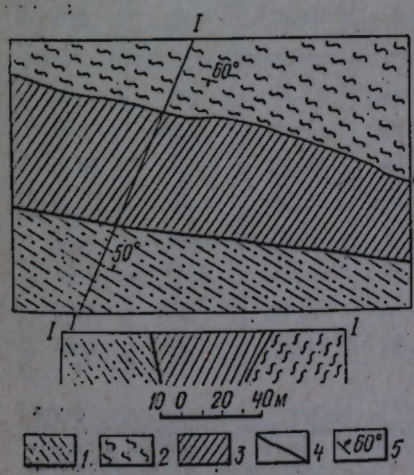


Рис. 3. Схема геологического строения Нижнесалдинского рудопроявления.

1 — слюдисто (мусковит)-кварцитовые сланцы графитистые, 2 — согласное пересланение эпидот-кварцевых и биотит-амфибол-эпидот-кварцевых сланцев, 3 — гондиты, 4 — тектонические нарушения, 5 — элементы залегания.

113

Таблица 1

железистых кварцитов, вес. %

	CaO	Na ₂ O	K ₂ O	P ₂ O ₅	SO ₃	H ₂ O	П. п. п.	Сумма
1	0,22	0,17	0,15	0,08	0,01	0,13	—	100,39
2	0,17	0,10	0,10	0,20	0,02	0,22	—	100,46
3	0,22	0,10	0,16	0,12	0,01	0,18	—	100,50
4	0,05	0,23	0,05	0,05	0,02	0,34	0,59	99,89
5	0,05	0,13	0,05	0,02	0,02	0,30	0,32	99,85
6	0,11	0,13	0,05	0,03	0,01	0,04	0,20	99,62
7	0,33	0,22	0,05	0,15	0,01	0,36	1,18	100,41
8	0,24	0,13	0,05	0,09	0,02	0,49	0,54	100,09
9	0,32	0,02	0,02	0,10	—	—	—	99,12
10	0,12	0,25	0,08	—	—	1,26	1,15	100,71
11	0,17	0,25	0,10	0,14	0,02	0,21	—	100,37
12	0,34	0,15	0,10	0,10	0,01	0,05	—	100,44
13	0,90	0,62	0,18	0,20	0,01	0,45	0,03	100,00
14	7,62	5,64	0,46	0,31	0,03	0,24	4,89	100,40
15	7,28	4,00	0,24	0,12	0,01	0,24	3,92	100,05
16	8,18	4,70	0,74	0,25	0,01	0,90	5,43	99,98
17	5,21	3,10	0,20	0,26	0,01	0,24	2,51	99,69
18	1,29	0,13	0,66	0,13	0,02	0,44	3,87	99,79

Примечание. Усть-Шайтанское рудопроявление: 1 — магнетитовый кварцит с единичными кварцами, 3 — магнетитовый кварцит с порфиробластами граната. Шабровское рудо-гематитовый кварцит, 7 — магнетитовая руда. Южно-Шабровское рудопроявление: 8 — магнетитовый кварцит, 10 — гематитовый кварцит, 12 — гематитовый кварцит с порфиробластами магнетита, 13 — магнетитовый гранат-кварцевого состава с турмалином, 15 — аналог № 14+ гематит и эпидот, 16 — аналог № 14. Г. А. Глушковой. Черемшанская рудопроявление: 18 — железистый (магнетит-гематитовый) гранат-эпидот-

порфиробластами граната. Мокрогорское рудопроявление: 2 — магнетит-гематитовый кварцит проявление; 4, 5 — железистый кварцит. Северо-Шабровское рудопроявление: 6 — магнетитовый мартитовый кварцит, 10 — мартитовая руда. Сидоркинское рудопроявление: 11 — магнетит-кварцит, 14 — переходная к имеющим зеленым сланцам порода хлорит-мусковит-карбонат-магнетит-17 — переходная порода хлорит-гематит-магнетит-эпидот-кварцевого состава с крупными «очками» хлорит-кварцевый сланец. В таблице использованы химические анализы, предоставленные нам

Таблица 2

кварцитов, гондитов и родонитов, вес. %

	K ₂ O	Na ₂ O	H ₂ O	Сумма	Пироп	Альмандин	Гросуляр	Андрадит	Спес-карти
1	—	—	—	100,40	4,00	49,70	4,60	5,20	36,40
2	0,13	0,05	1,02	99,75	6,90	25,80	31,40	3,10	32,70
3	—	—	0,56	100,44	5,59	43,98	15,72	10,23	24,47
4	—	—	—	100,48	3,44	16,68	0,58	18,98	60,32
5	0,10	1,00	0,50	100,09	2,40	70,80	11,90	—	14,90
6	—	—	1,22	9,70	3,00	26,50	26,40	—	44,10
7	0,13	0,05	0,20	99,59	6,10	41,40	3,00	5,60	43,90
8	—	—	—	10,49	1,40	22,20	12,60	9,20	54,60

Примечание. 1 — Северо-Шабровское рудопроявление: кварцит с биотитом и гранатом; 3 — Нижне-Салдинское рудопроявление: гондит; Верхне-Салдинское рудопроявление: гондит с хлоритом и магнетитом; 7 — Вязовское рудопроявление: гондит с магнетитом и пиролом. Использованы химические анализы, предоставленные нам Г. А. Глушковой, В. А. Грачевым,

2 — Сидоркинское рудопроявление: переходная порода хлорит-гематит-гранат-эпидот-кварцевого гондита; 5 — Западно-Иткульское рудопроявление: хлорит-гранат-мусковитовый кварцитовый сланец. Эпидот; 8 — Баженовское (Гагарское, Черемшанская) месторождение: родонит с гранатом. В таблице К. А. Власовым, Е. И. Кутуковой.

Таблица 3

Химический состав							
№ п. п.	SiO ₂	TiO ₂	Al ₂ O ₃	Fe ₂ O ₃	FeO	MnO	MgO
1	81,24	0,20	4,06	9,26	Не обн.	1,94	0,60
2	61,74	0,18	9,61	17,00	Не обн.	2,70	2,00
3	62,74	0,26	9,94	16,00	Не обн.	3,42	0,80
4	50,64	0,45	7,12	19,97	10,41	3,03	0,60
5	73,92	0,35	6,13	6,00	2,87	4,40	1,02
6	75,12	0,35	4,39	12,64	Не обн.	3,82	0,60
7	74,18	0,24	5,54	12,80	Не обн.	2,42	0,80
8	41,92	0,30	9,70	31,28	Не обн.	11,30	0,50
9	78,14	0,14	3,23	5,20	Не обн.	0,39	0,18
10	87,12	0,16	3,68	4,88	Не обн.	1,06	0,60
11	77,30	0,21	4,35	12,60	Не обн.	3,56	0,40
12	51,44	0,19	22,64	16,96	5,03	1,84	0,30
13	43,86	0,28	10,28	36,00	Не обн.	5,66	2,00
14	36,42	0,30	7,51	43,40	Не обн.	8,70	0,40
15	27,24	0,70	8,18	37,73	Не обн.	21,20	1,52
16	75,16	0,15	5,45	5,69	6,77	2,30	1,45
17	68,56	0,15	4,80	19,60	Не обн.	1,99	2,02
18	59,76	0,19	5,82	26,20	Не обн.	5,46	0,80
19	48,62	0,47	10,35	28,00	Не обн.	6,24	2,42
20	34,02	0,24	11,99	41,30	Не обн.	7,66	1,85
21	31,86	0,29	5,82	47,10	Не обн.	9,86	1,75

Примечание. Нижне-Салдинское рудопроявление: 1 — амфибол-эпидот-гранатовый кварц с эпидотом и магнетитом, 3 — гондит с амфиболом, эпидотом, магнетитом и карбонатом, 4 — магнетит с эпидотом, 6 — магнетитовый гондит, 7 — гондит с магнетитом, эпидотом и «очками» 9 — слюдистый (серцинат-хлоритовый) магнетит-гранатовый микрокварцит с апатитом, 10 — слюдисто-гематитовый гондит, 12 — слюдистый магнетит-гранатовый кварцит, 13 — железистый (магнетито-хлоритовый) гондит, 16 — магнетит-хлоритовый гондит с пиролюзитом (анализ Г. А. Глушковой). Генеральское рудопроявление: 16 — магнетит-хлоритовый гондит с пиролюзитом (анализ Г. А. Глушковой). Темирское рудопроявление: 19 — железистый гондит, 20 — железистый гондит. Баженовское рудопроявление: 21 — магнетит-гематитовый гондит.

Гондиты, вес. %

CaO	Na ₂ O	K ₂ O	P ₂ O ₅	SO ₃	H ₂ O	П. п. п.	Сумма
2,13	0,45	0,15	0,20	0,04	0,15	—	100,42
5,26	0,16	0,05	0,40	0,03	0,47	—	99,60
5,77	0,13	0,08	0,35	0,02	0,23	—	99,74
3,76	0,17	0,12	—	—	1,85	2,11	100,23
3,42	0,09	0,12	—	—	0,81	0,46	99,59
2,58	0,07	0,08	0,33	0,01	0,23	—	100,22
2,35	1,50	0,10	0,14	0,01	0,11	0,09	100,28
3,24	0,64	0,08	0,33	0,01	0,31	—	99,70
7,62	0,10	0,16	5,08	0,01	0,08	0,03	100,36
1,23	0,28	0,63	0,25	0,01	0,14	0,29	100,33
1,23	0,09	0,10	0,27	0,03	0,19	—	100,33
0,45	0,09	0,19	—	—	0,49	—	99,62
1,34	0,07	Сл.	0,041	0,02	0,25	0,11	100,28
2,24	0,09	0,08	0,69	0,01	0,32	—	100,16
1,76	0,23	0,04	0,10	0,02	1,32	1,10	101,14
1,34	0,08	0,14	0,14	0,01	0,36	0,23	99,71
0,90	0,06	0,10	0,12	0,02	0,25	1,52	100,09
2,24	0,06	0,12	0,17	0,01	0,28	-0,73	101,11
2,46	0,07	0,12	0,28	0,01	0,25	0,65	99,94
2,20	0,08	0,92	0,47	0,01	0,25	0,20	101,19
3,00	0,24	0,10	0,83	0,02	0,13	0,21	101,21

Примечание. Нижне-Салдинское рудопроявление: 1 — амфибол-эпидот-гранатовый кварц с эпидотом и магнетитом, 3 — гондит с амфиболом, эпидотом, магнетитом и карбонатом, 4 — магнетит с эпидотом, 6 — магнетитовый гондит, 7 — гондит с магнетитом, эпидотом и «очками» 9 — слюдистый (серцинат-хлоритовый) магнетит-гранатовый микрокварцит с апатитом, 10 — слюдисто-гематитовый гондит, 12 — слюдистый магнетит-гранатовый кварцит, 13 — железистый (магнетито-хлоритовый) гондит, 16 — магнетит-хлоритовый гондит с пиролюзитом (анализ Г. А. Глушковой). Генеральское рудопроявление: 16 — магнетит-хлоритовый гондит с пиролюзитом (анализ Г. А. Глушковой). Темирское рудопроявление: 19 — железистый гондит, 20 — железистый гондит. Баженовское рудопроявление: 21 — магнетит-гематитовый гондит.

Химический состав пород

№ п. п.	SiO ₂	TiO ₂	Al ₂ O ₃	Fe ₂ O ₃	FeO	MnO	MgO
1	43,95	0,10	5,26	5,04	Не обн.	41,03	0,16
2	46,12	0,18	2,74	8,40	Не обн.	38,43	0,12
3	70,92	0,34	6,94	8,60	Не обн.	10,21	0,48
4	73,32	0,26	5,43	8,08	Не обн.	12,62	0,24
5	66,92	0,48	6,71	9,68	Не обн.	14,32	1,05
6	43,16	1,51	10,58	13,68	Не обн.	30,48	0,89
7	41,16	0,13	4,10	3,65	Не обн.	36,04	0,46
8	47,04	0,04	1,80	3,25	0,81	39,50	0,42

Примечание. Кургановское месторождение: 1 — родонит с гранатом; 2 — родонит с карбонатом и гранатом; Мало-Седельниковское месторождение: 4 — кварцит с гранатом и актинолитом; 5 — родонит с гранатом и актинолитом; Черемшансское месторождение, 7—8 — родониты (анализ А. В. Голдобина).

из родонитовых месторождений, вес. %

CaO	Na ₂ O	K ₂ O	P ₂ O ₅	SO ₃	H ₂ O	П. п. п.	Сумма
3,05	0,14	0,18	0,03	0,02	0,34	0,37	99,67
3,19	0,07	0,16	0,16	0,02	0,38	-0,58	99,97
1,79	0,07	0,20	0,08	0,04	0,22	-0,59	99,89
0,67	0,06	0,12	0,04	0,01	0,17	-0,90	101,02
0,84	0,12	0,15	0,20	0,01	0,24	-0,91	100,72
1,12	0,07	0,12	0,03	0,01	0,19	-0,94	101,84
3,71	0,24	0,12	0,07	—	1,06	1,82	96,56
3,77	0,20	0,08	0,06	—	0,64	0,99	100,60

Примечание. Кургановское месторождение: 1 — родонит с гранатом, гранатом и актинолитом, гранатом, гранатом и эпидотом; 3 — родонит с карбонатом, гранатом и актинолитом, гранатом и карбонатом; 6 — родонит с гранатом, карбонатом и эпидотом; Баженовское (Гагарское).

Таблица 4

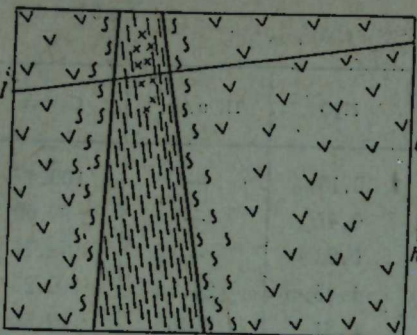
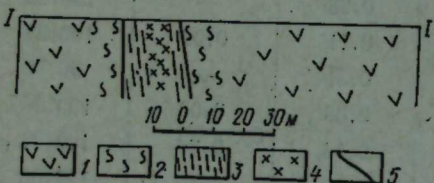


Рис. 4. Схема геологического строения Кургановского месторождения родонитов.
1 — серпентиниты, 2 — тальковые и тальк-карбонатные породы, 3 — серцит-кварцитовые сланцы, нередко графитистые, 4 — комплекс пород рудного тела, 5 — тектонические нарушения.



В некоторых случаях, например на Сидоркинском рудопроявлении, наблюдается метасоматическое замещение приконтактовых частей вмещающих пород. Здесь между железистыми кварцитами и зелеными сланцами развита зона переходных пород мощностью до 7 м, представленных окварцованными и оруденелыми (гематит, магнетит, марганцовистый гранат) зелеными сланцами.

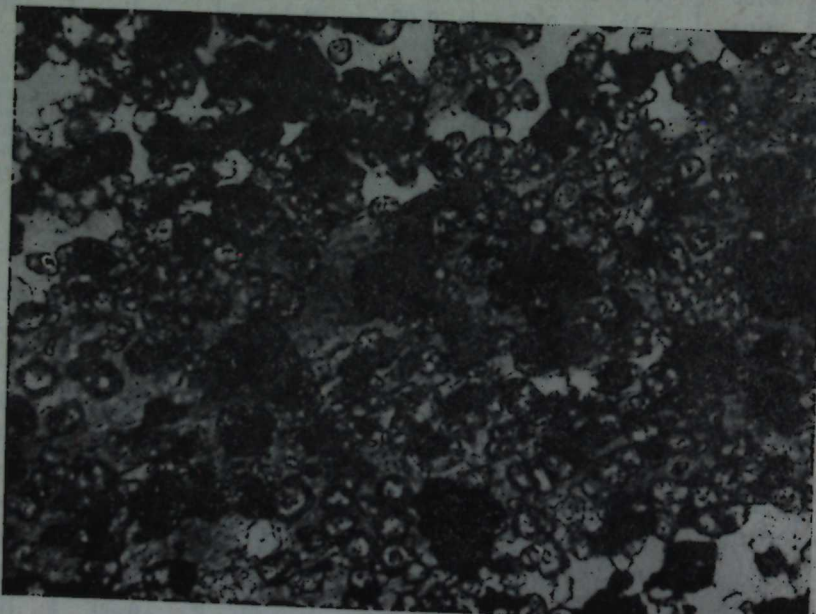


Рис. 5. Магнетитовый гондит Западно-Иткульского рудопроявления. $\times 220$, ник. П. Черное — магнетит, светлое — кварц; рельефные зерна — гранат; серое — хлорит.

ю лабленным зонам в контакте пород разного состава (химически неоднородных). Поэтому стратиграфический фактор, вероятно, не имеет значения в их образовании. Кроме того, нигде не наблюдается переслаивания рудных и вмещающих пород. Последние к тому же резко отличаются от железо-марганцевых образований альмандиновым типом гранатов и составом рудных минералов, представленных ильменитом, лейкоксеном, рутилом, гидроокислами железа, пиритом и магнетитом.



Рис. 6. Гематитовый гондит Западно-Иткульского рудопроявления. $\times 220$, ник. П. Черное — гематит; светлое и серое — кварц; рельефные зерна — гранат; удлиненные — мусковит, хлорит.

На основании сказанного, железо-марганцевые образования восточного склона Урала мы рассматриваем как железо-кремниевые (железистые кварциты), марганцево-железо-кремниевые (гондиты и железистые гондиты) и марганцево-кремниевые (комплекс пород родонитовых месторождений) метасоматиты.

Вместе с тем в этих породах, особенно в железистых кварцитах и гондитах, широкое развитие имеют порфиробластовые структуры. Их создают магнетит, ромбоэдры карбоната, альбит, гранат второй генерации, амфиболы, хлорит и мусковит. Все эти минералы, за исключением первых двух, содержат обильные включения основной массы породы, а порфиробласти амфиболов, хлорита и мусковита нередко ориентированы диагонально к полосчатости породы. Порфиробласти магнетита в железистых разностях этих пород прерывают гематитовые прослойки и заключены в зону крупнозернистого чистого (без других минералов) кварца.

Данные свидетельствуют о том, что эти минералы имеют по отношению к основной массе породы более позднее происхождение.

Таким образом, железо-марганцевые породы восточного склона Урала являются гетерогенными метасоматическими образованиями, нарашивающие минеральные ассоциации, которых наложены более поздние.

СОДЕРЖАНИЕ

Предисловие	
В. М. Нечеухин, Ю. Д. Панков. Формации метасоматических железистых кварцитов	3
Д. А. Михайлов. О происхождении железистых кварцитов докембрия	4
Г. А. Глушкина, Г. А. Кейльман. О генезисе железистых кварцитов Урала	11
Ю. Д. Панков, Г. М. Барабашкина. Закономерности формирования и размещения месторождений магнетитовых руд тараташского мигматитового комплекса	24
В. Н. Гусельников. Геология, скарнирование и метасоматоз железистых кварцитов Тросиянского месторождения КМА	34
Г. И. Князев, Л. И. Федоровская. Минералого-геохимические особенности железистых кварцитов Петровского месторождения (Кривбасс)	45
М. Н. Дэви. О метасоматическом происхождении железистых кварцитов Чарской группы месторождений	61
В. Б. Болтыров, В. М. Бирюков, В. Л. Поляков. Железоносные метасоматиты восточного склона Урала	89
Ю. Д. Панков, В. Б. Соколов. Природа метаультрабазитов тараташского комплекса и их связь с железистыми кварцитами	97
В. Н. Лукошков. Железо-марганцевые метасоматиты восточного склона Урала	102
	111

УДК 553.22:553.31.06

Формации метасоматических железистых кварцитов. Нечеухин В. М., Панков Ю. Д. «Метасоматические железистые кварциты». Свердловск, 1979.

Рассмотрено состояние проблемы генезиса железистых кварцитов. Делается вывод, что наряду с осадочно-вулканогенными формациями этих полезных ископаемых широко развиты формации метасоматические. Для таких формаций характерно замещение железистыми кварцитами имеющих пород различного состава, возраста (архей — девон) и степени метаморфизма (гранулитовая фация — фация зеленых сланцев), а также наличие метасоматической зональности, составной частью которой являются сами железистые кварциты. Имеющиеся данные позволяют говорить, что среди метасоматических железистых кварцитов наиболее распространены две формации, по-видимому, обусловленные процессами кислотного выщелачивания в связи с проявлением разорванных во времени натриевой и кали-натриевой гранитизаций.

Библиогр. 34 назв.

УДК 553.31.06:551.72

О происхождении железистых кварцитов докембра. Михайлов Д. А. «Метасоматические железистые кварциты». Свердловск, 1979.

В статье рассматривается состояние проблемы образования железистых кварцитов докембра. На основе новых материалов выдвигается представление о метаморфогенно-метасоматическом образовании железистых кварцитов докембра с ведущей ролью дифторических преобразований кристаллических толщ, содержащих породы основного состава, расланцованные разновидности которых в результате процессов кислотного выщелачивания замещались кварц-магнетитовыми (гематитовыми) породами с формированием во внешних частях тел скарноподобных метасоматических зон.

Иллюстр. 3. Библиогр. 29 назв.

УДК 553.31.061

О генезисе железистых кварцитов Урала. Глушкина Г. А., Кейльман Г. А. «Метасоматические железистые кварциты». Свердловск, 1979.

Изучение геологической позиции, строения рудных тел, состава руд и других особенностей железистых кварцитов мигматитовых комплексов и их обрамления, составляющих на Урале основную массу месторождений такого типа, показало, что подавляющее большинство этих образований имеет метаморфогенно-метасоматическую природу. Ведущим фактором, контролирующим оруденение, является приуроченность его к зонам высокого градиента уровня метаморфизма и резкого изменения режима щелочности-кислотности, определяющего подвижность компонентов, в том числе и железа.

Иллюстр. 2. Библиогр. 15 назв.

УДК 553.311.06+553.25(470.55)

Закономерности формирования и размещения месторождений магнетитовых руд тараташского мигматитового комплекса. Панков Ю. Д., Барабашкина Г. М. «Метасоматические железистые кварциты». Свердловск, 1979.

В дорифейском тараташском мигматитовом комплексе на Южном Урале, субстрат которого имеет эвгесинклинальную природу, метасоматические железистые кварциты локализованы вдоль серии тектонических нарушений и ассоциируют здесь с более ранними ортопироксенитами. Установлено, что исходные пироксениты имели низкую железистость. При железисто-кремнистом метасоматозе за счет пироксенитов образуется метасоматическая зональность со следующими зонами (от центра к периферии): магнетитовые кварциты, магнетитовые пироксениты, железистые пироксениты, магнезиальные пироксениты. Железистые кварциты развиваются также по плагиомигматитам и в свою очередь подвергаются интенсивной кали-натриевой мигматизации. Это дает основание связывать железистые кварциты с магнетитовыми пироксенитами.

зисто-кремнистый метасоматоз со стадией кислотного выщелачивания при плагиомагматизации.

Табл. 2. Иллюстр. 12. Библиогр. 11 назв.

УДК 553.31:553.22(470.323)

Геология, скарирование и метасоматоз железистых кварцитов Троснянского месторождения КМА. Гусельников В. Н. «Метасоматические железистые кварциты». Свердловск, 1979.

Рассмотрены общие формационные и петрографические особенности железистых кварцитов Курской магнитной аномалии (КМА). По результатам новейших исследований охарактеризована синклинальная структура Троснянского месторождения, осложненная разломами с амплитудой смещения блоков пород в 200—800 м. Рудные толщи отнесены к двум разновозрастным железокремнистым формациям: сильно метаморфизованной железисто-сланцевой (курская серия) и эфузивной железисто-метабазитовой (михайловская серия). По петрографическому составу среди них выделены такониты, джеспилиты, железистые роговники и эвлизы, контрастные по минерально-технологическим свойствам и неодинаковые по генезису. Впервые рассмотрена роль метасоматоза в преобразовании железистых кварцитов Троснянского месторождения. При этом оценены условия формирования метасоматических железистых роговников и скариев за счет джеспилитов. Для сравнения указаны геолого-петрографические особенности ортомагматических железистых роговников и эвлизов Бессединского месторождения КМА (интрузивная железисто-габброидная формация). С учетом изменения баланса вещества и минералогических критериев намечается высокотемпературное скарирование (с привносом компонентов) и регressiveный метасоматоз (с выносом главных породообразующих компонентов). Возникновение этих метасоматических процессов связывается с циркуляцией постмагматических растворов щелочного и кислого типов в контактовой зоне крупной интрузии габбро-долеритов.

Табл. 2. Иллюстр. 6. Библиогр. 21 назв.

УДК 553.31:539.2(477)

Минералого-генетические особенности железистых кварцитов Петровского месторождения (Кривбасс). Князев Г. И., Федоровская Л. И. «Метасоматические железистые кварциты». Свердловск, 1979.

Условия залегания, минеральные ассоциации, взаимоотношения рудных инерудных минералов, петрохимические и геохимические особенности свидетельствуют о метасоматическом генезисе железистых кварцитов Петровского месторождения. Они формировались в зонах рассланцевания в результате щелочно-железистого метасоматоза по ультрабазитам (пиroxенитам, железистым вебстеритам, железистым верлитам и др.) и продуктам их регressiveного метаморфизма.

Табл. 17. Иллюстр. 6. Библиогр. 21 назв.

УДК 553.31.06:553.22(571.55)

О метасоматическом происхождении железистых кварцитов Чарской группы месторождений. Дэви М. Н. «Метасоматические железистые кварциты». Свердловск, 1979.

Железистые кварциты Чарской глыбы (Читинская область) обнаруживают явные признаки метасоматического происхождения. Они вдоль линейных, часто четковидно расположенных тел, замещают архейские бластомилониты по плагиогнейсам и ультрабазитам. При этом от главных рудных тел в бластомилониты устанавливаются секущие апофизы железистых кварцитов. Образование руд связывается с процессами базификации, сопряженными с интенсивной плагиогранитизацией.

Табл. 1. Иллюстр. 3. Библиогр. 10 назв.

УДК 553.31.06(470.54/55)

Железоносные метасоматиты восточного склона Урала. Болтыров В. Б., Бирюков В. М., Поляков В. Л. «Метасоматические железистые кварциты». Свердловск, 1979.

Описываемые железоносные метасоматиты образуются в результате гипогенно-метасоматического замещения различных по составу пород и содержат в среднем 15—20% магнетита (ильменита, гематита и др.), а в промышленных скоплениях — 60—70%.

Образование железоносных метасоматитов обусловлено процессами базификации, комплементарной Na- и K-этапам гранитизации. Различная роль микроклинизации и альбитизации подчеркивается противоположным характером корреляционных связей щелочей с суммарным железом.

Первостепенную роль при формировании метасоматитов играет режим кислотности-щелочности метасоматизирующих растворов.

Иллюстр. 3. Библиогр. 2 назв.

УДК 552.3/4+553.31(470.55)

Природа метаультрабазитов тараташского комплекса и их связь с железистыми кварцитами. Панков Ю. Д., Соколов В. Б. «Метасоматические железистые кварциты». Свердловск, 1979.

С метасоматическими железистыми кварцитами в тараташском мигматитовом комплексе Южного Урала ассоциируют разнообразные метаультрабазиты, представленные ортопироксенитами, бесплевошпатовыми амфиболитами, серпентинитами, tremolit-актинолитовыми и эвлизитоподобными породами. Железистость их колеблется в очень широких пределах от 4,6 до 86,2.

Показано, что все эти метаультрабазиты образовались при многократных метасоматических и метаморфических преобразованиях маложелезистых ортопироксенитов в следующей последовательности: железистые пироксениты, эвлизитоподобные породы, бесплевошпатовые амфиболиты, серпентиниты, tremolit-актинолитовые породы. Образование железистых пироксенитов и эвлизитоподобных пород обусловлено железисто-кремнистым метасоматозом в связи с формированием железистых кварцитов. Образование остальных метаультрабазитов связано с гранитизацией и низкотемпературным дифторезом.

Все указанные метаультрабазиты вместе с железистыми кварцитами локализованы вдоль протяженных секущих зон, хорошо выделяемых на гравиметровых и магнитных картах.

Табл. 2. Иллюстр. 1. Библиогр. 5 назв.

УДК 553.31/32:553.22(470.54/55)

Железо-марганцевые метасоматиты восточного склона Урала. Лукошков В. Н. «Метасоматические железистые кварциты». Свердловск, 1979.

В работе кратко рассматриваются вопросы геологии железо-марганцевых образований восточного склона Урала, представленных рядом пород: железистые кварциты — гондиты — родониты, а также приводятся данные по их составу и генезису.

Табл. 4. Иллюстр. 6.

**МЕТАСОМАТИЧЕСКИЕ
ЖЕЛЕЗИСТЫЕ
КВАРЦИТЫ**

**Труды Института геологии
и геохимии УНЦ АН СССР,
вып. 142**

**Утверждено к печати
Редакционно-издательским советом
Уральского научного центра АН СССР**

**Редактор Л. А. Урядова
Техн. редактор Н. Р. Рабинович
Художник М. И. Гарипов
Корректоры Л. А. Урядова, В. С. Симакова.**

**РИСО УНЦ № 931-29(79) Сдано в набор 28.12.78.
НС 33752. Подписано к печати 10.12.79. Формат 70×100 $\frac{1}{16}$.
Тираж 700. Усл.-печ. л. 10,1. Уч.-изд. л. 10,4. Бумага типо-
графская № 1. Заказ 60. Цена 1 р. 24 к.**

**РИСО УНЦ АН СССР, Свердловск, ГСП-169,
Первомайская, 91
Типография издательства «Уральский рабочий»,
г. Свердловск, просп. Ленина, 49.**